

784-3  
1978

С Н Е М I C A L S E R I E S



საქართველოს სსრ მეცნიერებათა აკადემიის მაცნე  
ИЗВЕСТИЯ АКАДЕМИИ НАУК ГРУЗИНСКОЙ ССР  
PROCEEDINGS OF THE ACADEMY OF SCIENCES  
OF THE GEORGIAN SSR

(34)

ЭПАПЛЬ  
БЮЛЛЕТЕНЬ  
СЕРИЯ  
ХИМИЧЕСКАЯ

1978 N 1-

თბილისი — ვთმეთ  
ТБИЛИСИ — VOL.

4

საქართველოს სსრ მეცნიერებათა აკადემიის მაცნე  
ИЗВЕСТИЯ АКАДЕМИИ НАУК ГРУЗИНСКОЙ ССР

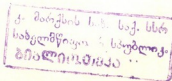


# გიანის სახის СЕРИЯ ХИМИЧЕСКАЯ

ტომი 4, № 1  
Том

გურიანი დაარსდა 1975 წელს  
Журнал основан в 1975 году

გამოვავლენა „მეცნიერება“ თბილისი  
ИЗДАТЕЛЬСТВО „МЕЦНИЕРЕБА“ ТБИЛИСИ 1978



რედაქციის მისამართი:

380060, თბილისი-60, კუტუზოვის ქ. № 19, ოთახი 16.

ტელ. 37-93-82

Адрес редакции:

380060, Тбилиси-60, ул. Кутузова, 19, комната 16.

тел. 37-93-82

Корректор М. Брегвадзе

Сдано в набор 22.12.1977; подписано к печати 17.3.1978; формат бумаги 70×108<sup>1/16</sup>; бумага № 1; печатных л. 8.4; уч.-изд. л. 6.43;  
УЭ 09723; тираж 1250 экз.; заказ 4773

Цена 70 коп.

---

გამოცემლობა „მეცნიერება“, თბილისი, 380060, კუტუზოვის ქ., 19  
Издательство «Мецниереба», Тбилиси, 380060, ул. Кутузова, 19

---

საქ. სსრ მეცნ. აკადემიის სტამბა, თბილისი, 380060, კუტუზოვის ქ., 19  
Типография АН Груз. ССР, Тбилиси 380060, ул. Кутузова, 19

© Известия АН ГССР  
Серия химическая. 1978

### სარჩევაქციის პოლიტიკა

რ. აგლაძე, ა. ავალიანი, თ. ანდრონიკაშვილი (რედაქტორის მოადგილე), ქ. არუ-  
შეძე, ფ. ბროუჩეკ (მწარმელი მდივანი), [ი. გვერდისითელი]. ვ. თავაძე,  
ნ. ლანდია, ლ. მელიკაძე, ნ. ფირცხალავა, მ. ქემერებულიძე, ქ. კუთა-  
თელაძე, გ. ციციშვილი (რედაქტორი), ვ. ცისკარიშვილი, კ. ჭავარიძე (რედაქტო-  
რის მოადგილე).

პასუხისმგებელი მდივანი ვ. უბელაძე

### РЕДАКЦИОННАЯ КОЛЛЕГИЯ

Р. И. Агладзе, А. Ш. Авалиани, Т. Г. Андроникашвили (зам. редактора),  
Х. И. Аршидзе, Ф. И. Броучек (ученый секретарь), [И. М. Гвердцители],  
К. Г. Джапаридзе (зам. редактора), Э. П. Кемертелидзе, К. С. Кутателадзе,  
Н. А. Ландия, Л. Д. Меликадзе, Н. И. Пирцхалава, Ф. Н. Тавадзе, Г. В.  
Цицишвили (редактор), П. Д. Чискаришвили.

Ответственный секретарь В. В. Шубладзе.

### EDITORIAL BOARD

R. I. Agladze, A. Sh. Avaliani, T. G. Andronikashvili (Associate Editor),  
Kh. I. Arshidze, F. I. Brouchek (Scientific Secretary), [I. M. Gverdtsiteli],  
K. G. Japaridze (Associate Editor), E. P. Kemertelidze, K. S. Kutateladze,  
N. A. Landia, L. D. Melikadze, N. I. Pirtskhalava, F. N. Tavadze, G. V.  
Tsitsishvili (Editor), P. D. Tsiskarishvili.

Executive Secretary V. V. Shubladze

ეურნალი გამოდის 3 თვეში ერთხელ  
Журнал выходит раз в 3 месяца

២០៦១៩៦០

არაორგანული და ანალიზური ჰიბრი

ମାତ୍ର ଏହିକଣା ନେ, ଯାଇବାକାରୀଙ୍କ ଦ୍ୱାରା ଗୁରୁତ୍ବପାଦିତ ଅଧିକାରୀଙ୍କ ଦ୍ୱାରା ଆପଣଙ୍କ ପରିଚାଳନା କରାଯାଇଛି।

ଲୁନ ଲୁହ ରେ, କେବଳ ଶ୍ଵାସ ରେ । ସିରିଜୁମିଳି ମେହା ନାତନୀବ୍ୟାପକ ଦେଖିବାରେ ଯେବେଳେ ଏହାର ଅଧିକାରୀ ହେବାରେ ଆପଣଙ୍କ ପରିଚାରକଙ୍କ ପରିଚାରକଙ୍କ ଦେଖିବାରେ ଯେବେଳେ ଏହାର ଅଧିକାରୀ ହେବାରେ ଆପଣଙ୍କ ପରିଚାରକଙ୍କ ପରିଚାରକଙ୍କ

ଶିଳ୍ପୀଙ୍କ ଲୁ, କାଳିକୀର୍ଣ୍ଣ କେ ଏ ତା ନାହିଁ ଓ କେ କେମିତିକିମ୍ବା କାଳିକୀର୍ଣ୍ଣରେ ଦେଖିଲୁ  
କୁଠିବନ୍ଦେଶ୍ଵରରେ ବିଶ୍ୱାସ କାଳିକୀର୍ଣ୍ଣରେ କାଳିକୀର୍ଣ୍ଣରେ କାଳିକୀର୍ଣ୍ଣରେ କାଳିକୀର୍ଣ୍ଣରେ

କେବଳ ପାରିଶ୍ରମ କରିବାକୁ ନାହିଁ ।

ମୁଦ୍ରଣ କାର୍ଯ୍ୟକ୍ରମ ପତ୍ର

სამსონია შ., კამიერი რაზვილი მ., ანდრონიკე შვილი გ., გვერდი წითელი ი. გრიგორძის, ქლორისა და ურსფრის შემცველი ზოგიერთი პოლიტიკოსისა და მოქადაგების სინთეზი

ବ୍ୟାକାରୀଙ୍କ ନେ, ମେଲୁହୋବେ ଲୁ, ବାହାଦୁରୀଙ୍କ ଶେ, ଯାମାଲୁହୋବେ ଲୁ, ମାନିବେ ଲୁ ଓ ମୁଖ୍ୟମନ୍ତ୍ରୀଙ୍କରେ ଉପର୍ଯ୍ୟନ୍ତ ୨-ଇତ୍ତାଂ ଏବଂ ୨-୧୦-ଫଳିତରେ ଲୁଗିଲୁଛାନ୍ତି ମେଲୁହୋବେ ସିନ୍ତର୍ଥୀ

ଓଡ଼ିଆ ଲେଖକ

404E00SM00307

კი ფარისებ პლ., დრაკონი ლ., და ნელი ლ. ვითაურის ქარგელა და შერეც  
ლი მაღლისა და შემცემს გამოიტარება.

amara 506030

କୁଣ୍ଡଳ ପାଇଁ ଏହାର ବ୍ୟାପକ ଉପରେ ଦେଖିଲୁଛି ।

ଦେବି 3.3', 4.4'-ତ୍ରୁଟିରୁଳାମିନିନ୍ଦାଙ୍କୁଣ୍ଡଲେଶ୍ଵର

## СОДЕРЖАНИЕ

### НЕОРГАНИЧЕСКАЯ И АНАЛИТИЧЕСКАЯ ХИМИЯ

Маторина Н. Н., Джинчарадзе Г. Г., Гогичайшвили Б. А. О некоторых условиях сорбции микроэлементов на амфолитах при их определении в минеральных водах . . . . .	7
Ландия М. В., Джабишишвили Н. А. Некоторые свойства кислых ортофосфатов иттрия . . . . .	13
Микадзе Л. Д., Клисенко М. А., Кофанов В. И. Раздельное определение компонентов гербицида карагарда методом газовой хроматографии с использованием термопонного детектора . . . . .	18
Озиашвили Е. Д., Эсакия К. Е., Ахалкалакелова И. А., Агладзе М. Р. О комплекснометрическом определении Eu (III) и Cr (III) в присутствии Ti (IV) и Ta (V) . . . . .	24

### ОРГАНИЧЕСКАЯ ХИМИЯ

Самсония Ш. А., Жамиериашвили М. Г., Андроникашвили Г. Г., Гвердцители И. М. Синтез некоторых серу-, хлор-, и фосфорсодержащих полизифирокарбонатов . . . . .	29
Табашидзе Н. И., Меликадзе Л. Д., Барабадзе Ш. Ш., Цамалашвили Л. Д., Мачабели М. М. Синтез некоторых 9-изо- и 9- 10-динизоалкилпроизводных фенантрена . . . . .	35
Кахниашвили А. И., Джигладзе Л. И. Взаимодействие 1-аллилциклогексанола-1 с фенолами в присутствии фосфорной кислоты . . . . .	42

### ФИЗИЧЕСКАЯ ХИМИЯ

Цицишвили Г. В., Осипова Н. А., Андроникашвили Т. Г., Сабелашишвили Ш. Д. Хроматографические свойства синтетического эрионита, обогащенного катионами щелочно-земельных металлов . . . . .	48
Чихладзе Г. М., Шишиашвили М. Е., Новый стабилизатор для солестойчивых буровых суспензий аскангеля . . . . .	55

### ТЕХНОЛОГИЯ

Джапаридзе П. Н., Дракин Л. А., Данелия Л. А. Обогащение окисных и смешанных марганцевых руд и шламов чиатурского месторождения . . . . .	60
Гвенцадзе Э. П., Бусел П. П. К исследованию нефти месторождений Грузии . . . . .	66
Кекуа М. Г., Бахчиева С. Р., Тавадзе Ф. Н. О свойствах легированного алюминием сплава кремний-германий . . . . .	76
Угулава И. А., Нижарадзе А. Н., Грибовская И. Ф. Содержание микроэлементов и некоторых биологически активных веществ в ягодах черники и в натуральном соке . . . . .	81

### КРАТКИЕ СООБЩЕНИЯ

Цицишвили Г. В., Андроникашвили Т. Г., Лаперашвили Л. Я., Банах О. С. Определение относительной полярности катионообменных форм цеолитов типа Y методом Роршайдера . . . . .	85
Джашишвили Т. К., Смольников Ю. П., Цинцадзе Г. В., Абашидзе Э. И. Координационные соединения хлористого марганца (II) с 4,4'-диаминодифенилметаном и 3,3', 4,4'-тетраминодифениллоксидом . . . . .	89

### ХРОНИКА НЕКРОЛОГ

## CONTENTS

### INORGANIC AND ANALYTICAL CHEMISTRY

Matorina N. N., Jincharadze G. G., Gogichaishvili B. A. On some conditions of sorption of trace elements on amphibolites at their determination in mineral waters . . . . .	12
Landia M. V., Jabishvili N. A Some properties of yttrium acid orthophosphates . . . . .	17
Mikadze L. D., Kisenko M. A., Kofanov V. I. Separate determination of caragard herbicide components using the method of gas chromatography and thermion detector . . . . .	22
Oziashvili E. D., Esakia K. E., Akhalkalakelova I. A., Agladze M. R. On complexometric determination of Eu(III) and Cr(III) in the presence of Ti(IV) and Ta(V) . . . . .	27

### ORGANIC CHEMISTRY

Samsonia Sh. A., Zhamierashvili M. G., Andronikashvili G. G., Gverdtsiteli I. M. Synthesis of some sulphur-, chlorine- and phosphorus containing polyestercarbonates . . . . .	34
Tabashidze N. I., Melikadze L. D., Barabadze Sh. Sh., Tsamalashvili L. D., Machabeli M. M. Synthesis of some 9-iso- and 9,10-diisooalkyl derivatives of phenanthrene . . . . .	40
Kakhniashvili A. I., Jibladze L. I. Interaction between 1-allylcyclohexanol and phenols in the presence of phosphoric acid . . . . .	47

### PHYSICAL CHEMISTRY

Tsitsishvili G. V., Osipova N. A., Andronikashvili T. G., Sabelashvili Sh. D. Chromatographic properties of syntactic erionite enriched with cations alkali earth metals . . . . .	53
Chikhladze G. M., Shishniashvili M. E. New stabilizer for salt resistance boring suspensions of ascangel . . . . .	58

### TECHNOLOGY

Japaridze P. N., Drakin L. A., Danelia L. A. Concentration of oxide and mixed manganese ores and slags of Chaiuri deposit . . . . .	65
Gventsadze E. P., Busel P. P. Studies of oils of Georgian fields . . . . .	74
Kekua M. G., Bakhchieva S. R., Tavadze F. N. On some properties of the alloy silicon-germanium doped with aluminium . . . . .	80
Ugulava I. A., Nizharadze A. N., Gribovskaya I. F. Abundances of trace elements and of some biologically active substances in bilberries and in natural juice prepared from them . . . . .	84

### SHORT COMMUNICATIONS

Tsitsishvili G. V., Andronikashvili T. G., Laperashvili L. Ya., Banakh O. S. Determination of relative polarity of cation exchange forms of type Y zeolites by Rorscneider's method . . . . .	87
Jashiashvili T. K., Smol'nikov Yu. P., Tsintsadze G. V., Abashidze E. I. Coordination compounds of manganese chloride (II) with 4,4'-diaminodiphenylmethane and 3,3', 4,4'-tetraaminodiphenyl oxide . . . . .	91

### CHRONICLE NECROLOGUE

## НЕОРГАНИЧЕСКАЯ И АНАЛИТИЧЕСКАЯ ХИМИЯ

УДК 543.544:543.3

Н. Н. МАТОРИНА, Г. Г. ДЖИНЧАРАДЗЕ, Б. А. ГОГИЧАЛШВИЛИ

### О НЕКОТОРЫХ УСЛОВИЯХ СОРБЦИИ МИКРОЭЛЕМЕНТОВ НА АМФОЛИТАХ ПРИ ИХ ОПРЕДЕЛЕНИИ В МИНЕРАЛЬНЫХ ВОДАХ

Вслед за экспериментальным определением коэффициентов распределения микроэлементов на ионитах различных типов, что позволило выбрать наиболее селективный и в то же время обеспечивающий наибольшую степень концентрирования адсорбент — амфолит АНКБ-2 [1], встал вопрос о других условиях концентрирования никеля, кобальта.

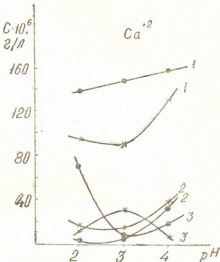
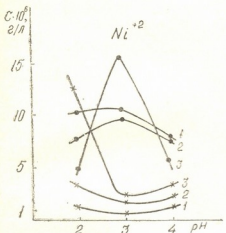


Рис. 1, 2. Зависимость содержания элемента в пробе от pH пропускаемого через сорбент раствора

Примечание: • — амфолит АНКБ-2; × — амфолит АНКБ-10. 1 — вода Цхалтубо; 2 — вода Самтредия; 3 — вода Сухуми, скважина 2.

та, марганца, хрома, цинка и меди из минеральных вод. Исследовалось влияние кислотности проб с целью выбора значения pH, при котором достигается максимальное поглощение микроэлементов из пропускаемой через колонку минеральной воды при минимальном поглощении макрокомпонентов (катионы натрия, кальция, магния). Кроме этого, были экспериментально найдены оптимальные объемы пропускаемой через адсорбент воды для минеральных вод с различной минерализацией.

Кроме винилипиридинового амфолита АНКБ-2 в опытах использовался иминодиацетатный амфолит АНКБ-10.

В качестве объектов исследования были выбраны три пробы минеральных вод — Цхалтубо (минерализация  $M = 0.8 \text{ г/л}$ ), Самтредия



(М 2,8 г/л) и Сухуми, скважина 2 (М 13,9 г/л), имеющие различную минерализацию, принятую соответственно за низкую, среднюю и высокую. В хроматографические колонки помещали 0,2 г адсорбента в HCl-форме. pH каждой пробы воды доводили с помощью соляной кислоты до величин 2, 3 и 4. Затем вода в количестве 15 л/г адсорбента пропускалась через колонки с адсорбентами со скоростью 0,7—1,0 мл/мин.

Таблица 1

Определяемая в минеральной воде концентрация элементов в зависимости от pH пропускаемого через адсорбент раствора

Элемент, значение pH	Содержание элементов · 10 <sup>6</sup> г/л					
	Цхалтубо		Самтредия		Сухуми, скважина 2	
	АНКБ—2	АНКБ—10	АНКБ—2	АНКБ—10	АНКБ—2	АНКБ—10
Cu <sup>2+</sup>						
2	3,36	1,72	1,42	1,49	2,41	3,06
3	4,01	2,32	1,92	1,17	1,25	1,47
4	2,57	1,51	1,17	2,09	1,17	8,36
Zn <sup>2+</sup>						
2	16,30	0,90	21,00	3,15	23,40	4,80
3	12,30	1,60	25,60	1,42	15,90	2,50
4	10,70	0,90	18,20	1,92	17,00	3,80
Cr <sup>3+</sup>						
2	1,0	0,5	2,5	1,2	1,1	2,8
3	0,7	0,6	0,8	0,6	0,5	1,1
4	0,7	0,2	0,2	2,0	0,3	0,5
Mn <sup>2+</sup>						
2	4,30	0	1,00	0	0,50	0
3	4,80	0	1,80	0	0,70	0
4	2,10	0	1,50	0	1,00	0
Na <sup>+</sup>						
2	33,5	7,9	24,2	15,2	85,1	39,1
3	15,1	10,1	22,5	13,3	6,8	15,2
4	20,2	11,7	15,0	29,9	21,1	22,0
Mg <sup>2+</sup>						
2	3,60	18,00	5,49	3,10	2,40	7,80
3	5,60	22,10	12,50	2,20	1,50	7,60
4	6,10	23,20	9,45	10,10	1,25	1,82

Во втором случае минеральная вода с pH, доведенным до 2—3, пропускалась через колонку с АНКБ-2 в количестве 1—25 л/г адсорбента.

Десорбция производилась 15—20 мл 2N хлорной кислоты. Элюат выпаривался, осадок растворялся в дистиллированной воде, раствор переносился в мерную колбу на 25 мл и доводился этой водой до метки.

Определение микроэлементов и макроэлементов проводилось на атомно-абсорбционном пламенном спектрофотометре «Сатурн».

На рис. 1 и 2 и в таблице 1 представлены полученные данные, показывающие при каком значении pH получены наибольшие концентрации микроэлементов и наименьшее количество макроэлементов и какой из адсорбентов предпочтительнее в этом отношении.

Рассмотрение результатов, показывающих, таким образом, зависимость сорбируемости элементов от величины pH, позволяет сделать

вывод, что минерализация воды не играет решающего значения при выборе оптимального значения pH, так как во всех трех водах одинаково одни и те же элементы имеем, в общем, сходную картину. Наиболее часто самые высокие концентрации микроэлементов и низкие концентрации катионов натрия, кальция и магния встречаются при pH, лежащем в области 2—3. Имеются отдельные отклонения от этой закономерности ( $Mn^{2+}$ ,  $Cu^{2+}$ ,  $Na^+$ ,  $Mg^{2+}$ ), но, по-видимому, в целях унификации методики с этим придется смириться. В такой же мере следует, по-видимому, сделать выбор в пользу АНКБ-2, хотя некоторые микроэлементы в ряде случаев эффективнее сорбируются на АНКБ-10 ( $Cu^{2+}$ ,  $Cr^{3+}$ ,  $Ni^{2+}$ ). Выбор АНКБ-2 оправдан, кроме того, и тем, что на АНКБ-10 марганец практически не сорбируется.

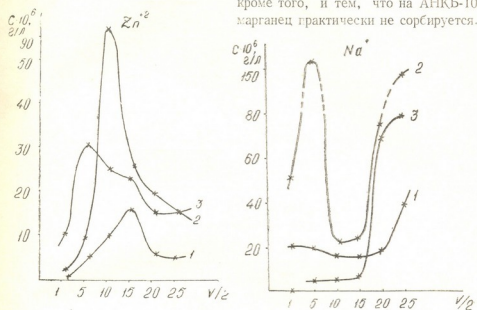


Рис. 3, 4. Зависимость содержания элемента в пробе от объема пропускаемой через сорбент минеральной воды  
1 — вода Чхалтубо; 2 — вода Самтредия; 3 — вода Сухуми, скважина 2;  $V/V_0$  — объем воды (в литрах), пропускаемой через 1 г сорбента до его насыщения

Тот факт, что в большинстве случаев при значениях pH 2—3 создаются наилучшие условия для сорбции микроэлементов из вод с достаточно разным составом и минерализацией, говорит, по-видимому, об особом состоянии используемых амфолитов при данной величине концентрации водородных ионов.

Данные, представленные на рис. 3 и 4 и в таблице 2, дали возможность найти объемы воды, которые следует пропустить через адсорбент, чтобы наиболее полно сорбировать микроэлементы и, соответственно, избавиться от макроэлементов. Выяснилось, что в этом случае минерализация воды играет существенную роль. Величина ее предопределяет меньшую возможную степень концентрирования для воды Сухуми (скв. 2) с  $M=13,9 \text{ g/l}$ , когда целесообразно пропускать через 1 г адсорбента лишь 5 л воды, и наибольшее ее значение — для воды Чхалтубо ( $M=0,8 \text{ g/l}$ ), когда можно извлечь микроэлементы из 15 л воды. Выяснилось, что объем зависит от концентрации макроэлементов в исследуемой воде и при пропускании большего, чем оптимальный, объ-

Таблица 2

Определенная в минеральной воде концентрация элементов в зависимости от объема пропускаемой через адсорбент воды

Элементы	Содержание элементов · 10 <sup>6</sup> г/л																	
	Цхалтубо						Самгради						Сухуми, скважина 2					
	объем, л/т адсорбента						объем, л/т адсорбента						объем, л/т адсорбента					
	1	5	10	15	20	25	1	5	10	15	20	25	1	5	10	15	20	25
Ca <sup>2+</sup>	0	1,50	3,50	4,00	2,10	2,00	2,00	4,00	4,50	1,92	1,50	1,00	1,00	3,40	3,50	2,41	2,20	1,20
Cl <sup>2+</sup>	0	0,20	0,20	1,00	0,70	0,50	1,00	6,30	8,33	2,50	2,00	0,70	0,50	1,30	1,50	1,10	0,80	0,80
Ni <sup>2+</sup>	1,00	2,50	6,20	10,10	2,64	1,50	2,30	6,00	8,50	7,32	6,10	4,00	7,50	16,00	16,20	14,70	10,00	5,70
Mn <sup>2+</sup>	0	2,20	3,10	4,80	3,00	2,50	1,80	2,50	2,76	1,80	0,80	0,70	1,50	2,30	2,10	0,70	0,70	0,50
Ca <sup>2+</sup>	0	0,20	5,22	140,00	9,24	9,60	7,50	2,09	3,25	3,90	39,00	54,50	2,10	2,10	6,00	6,10	31,00	69,50
Mg <sup>2+</sup>	0	6,90	7,90	3,60	137,00	140,10	4,00	3,00	2,87	5,49	25,50	55,10	2,10	2,10	2,20	10,40	10,40	15,60



С учетом окончательного объема элюата — 25 мл и количества адсорбента — 0,2 г, степень концентрирования для названных вод составляет соответственно, 40 и 120. Какого-либо закономерного влияния гидрохимического типа воды и, следовательно, относительного содержания катионов  $\text{Na}^+$ ,  $\text{Ca}^{2+}$  и  $\text{Mg}^{2+}$  (также, как и абсолютного количества каждого из них) заметить не удается, хотя полностью игнорировать этот вопрос нельзя.

Таким образом, на основании полученных экспериментальных результатов можно констатировать, что амфолит АНКБ-2 при pH анализируемого раствора, равном 2–3, и количестве пропускаемой воды, равном 5–15 л на 1 г адсорбента (1–3 л на 0,2 г адсорбента), позволяет с наибольшей полнотой сорбировать микроэлементы  $Cu^{2+}$ ,  $Zn^{2+}$ ,  $Cr^{3+}$ ,  $Ni^{2+}$ ,  $Mn^{2+}$  ( $Co^{2+}$  не был обнаружен ни в одной воде) из минеральных вод и концентрировать их при этом в 40–120 раз.

## Институт физической химии

АНДРІЙ ФІЛІП

НИИ курортологии и физиотерапии

МЗ ГССР

Поступило 29.IX.1975

6. କୁତୁଳିରେ, ୫. ଜୀବନୀରୁପୀ, ୬. ପିଣ୍ଡିରୁପୀ

အစွမ်းဝါဒရွာ၏ ပေါက်လာသေခံခြင်း၊ ပြန်ဖော် နှင့်ပေါင်တု အကျင်းမာရီ  
ပိုမြင်လှုပ်၏ ဖုန်းနှင့် ဘဏ်၊ အသုတေသနများ၏ အကြောင်း

Հ Յ Ւ Յ Ա Յ

მინერალურ წყლებში  $\text{Cu}^{2+}$ ,  $\text{Ni}^{2+}$ ,  $\text{Co}^{2+}$ ,  $\text{Mn}^{2+}$ ,  $\text{Cr}^{3+}$ ,  $\text{Zn}^{2+}$  განსაზღვრის მიზნით ჟერსავლილი იყო ამონიატურებშე AHKB-2 და AHKB-10 გათი სორბციის ზოგიერთი. პირობა. ჟერსავლია იონიტებზე გასატარებელი წყლის pH-ის მნიშვნელობა, რომელიც უზრუნველყოფს მკროელემენტების მაკსიმალურ სორბციას დაუძინებელობას. მაკროელემენტების ( $\text{Na}^{+}$ ,  $\text{Ca}^{2+}$ ,  $\text{Mg}^{2+}$ ) მინიმალურ შთანთქმას. ამ მიზნით იონიტებში ტარდებოდა ბუნებრივი მინერალურ წყლების ნიმუშები, რომელთა pH დაყვანილი იყო მარილშეავათ 2,3 და 4-დღე. ამონიატის რაოდენობა უდრიდა 0,2 გ, გატარებული წყლის რაოდენობა იყო 3 ლ (15 ლ/გ იონიტზე). დესორბცია წარმოებდა 2N ჰლორმეგას საშუალებით. ელუატის საბოლოო რაოდენობა იყო 25 მლ. ელუატებში მიკრო- და მაკროელემენტების განსაზღვრის საფუძველზე დაგენილია pH-ის ოტრიმალური მნიშვნელობა.

სხვადასხვა მინერალიზაციის შექმნე წყლებისათვის შესწოვლითა დამოკიდებულება აღსორებენტში გასატარებელი წყლის მოცულობასა და სორბების სისრულეს შორის.

იმავე პირობებში ონიტებში ტარდებოდა მინერალური წყლების ნიმუშები, რომელთა pH დაუკანილი იყო 2—3-მდე, ხოლო მოცულობა უღრიდა 0,2—5,0 ლ-ს (1—25 ლ/გ ონიტზე). ელექტრებში ელემენტების შემდგომი განსაზღვრის საფუძველზე შეჩრეული იყო ოპტიმალური მოცულობები სხვადასხვა მინერალიზაციის მქონე მინერალური წყლებისათვის.

ცდის შედეგების საფუძველზე შეიძლება გაკეთდეს დასკვნა, რომ ამჟამა-  
ლიტი აНКБ-2, წყლის pH-2—3 მნიშვნელობისა და გასატარებელი 5—15 ლ/გ აღსორებენტზე რაოდენობის დროს, უზრუნველყოფს მიქონელი-  
შენტების სრულ სორბციას და შათ კონცენტრირებას 40—120-ჯერ.

N. N. MATORINA, G. G. JINCHARADZE, B. A. GOGICHAISHVILI

## ON SOME CONDITIONS OF SORPTION OF TRACE ELEMENTS ON AMPHOLYTES AT THEIR DETERMINATION IN MINERAL WATERS

### Summary

Some conditions for sorption of  $\text{Cu}^{2+}$ ,  $\text{Ni}^{2+}$ ,  $\text{Co}^{2+}$ ,  $\text{Mn}^{2+}$ ,  $\text{Cr}^{3+}$ ,  $\text{Zn}^{2+}$  on amphotytes АНКБ-2 and АНКБ-10 were studied to determine these trace elements in mineral waters. The values of pH of water passed through ionites, providing the maximum sorption of trace elements and minimum absorption of macro elements, ( $\text{Na}^+$ ,  $\text{Ca}^{2+}$ ,  $\text{Mg}^{2+}$ ) were found experimentally. Samples of natural mineral waters, with pH equal 2.3 and 4 (the values reached with the use of hydrochloric acid), were passed through ionites. The amount of passed water was 3 l (15 l/g of ionite). Desorption was made with 2N perchloric acid. The final volume of the eluate was 25 ml. The conclusion on the optimum value of pH was made on the basis of determination of trace and macro elements in eluates.

The dependence of the extent of sorption of trace elements on the volume of water passed through absorbent was studied for waters with different mineralization.

Under the same experimental conditions samples of mineral waters with pH 2—3 and volume 0.2—5.0 l (1—25 l/g of ionite) were passed through an amphotyte. The optimum volumes for mineral waters with different mineralization were chosen on the basis of the following determination elements in eluates.

The experimental results permitted to state that amphotyte АНКБ-2 at water pH 2—3 and water volume 5—15 l/g of adsorbent, provides the maximum sorption of trace elements and 40—120 times increases their concentration.

### ლიტერატურა — REFERENCES

1. Маторина Н. Н., Джинчарадзе Г. Г., Гогичайшили Б. А. Сообщения АН ГССР, 78, 2 (1975).

УДК 546.669.185

М. В. ЛАНДИЯ, Н. А. ДЖАБИШВИЛИ

## НЕКОТОРЫЕ СВОЙСТВА КИСЛЫХ ОРТОФОСФАТОВ ИТТРИЯ

При исследовании взаимодействия в системе  $\text{Y}_2\text{O}_3-\text{H}_3\text{PO}_4-\text{H}_2\text{O}$  [1] установлена кристаллизация следующих кислых ортофосфатов:  $\text{YPO}_4 \cdot \text{H}_3\text{PO}_4 \cdot 2\text{H}_2\text{O}$  и  $\text{YPO}_4 \cdot 2\text{H}_3\text{PO}_4 \cdot 2,5\text{H}_2\text{O}$ . Представляло определенный интерес изучить некоторые физико-химические свойства выделенных солей методами термографии, бумажной хроматографии и ИК-спектроскопии.

Соли получали насыщением 65%-ной (для  $\text{YPO}_4 \cdot \text{H}_3\text{PO}_4 \cdot 2\text{H}_2\text{O}$ ) и 85%-ной (для  $\text{YPO}_4 \cdot 2\text{H}_3\text{PO}_4 \cdot 2,5\text{H}_2\text{O}$ ) фосфорной кислоты окисью иттрия. Синтез проводили при 25°C. При этой температуре равновесие достигается в течение 30 дней. Выпавшие осадки фильтровали и промывали спиртом, высушивали на воздухе и анализировали по методу, описанному в [2, 3]. Содержание  $\text{Y}^{3+}$ ,  $\text{PO}_4^{3-}$ ,  $\text{H}_2\text{O}$  и  $\text{H}^+$  в  $\text{YPO}_4 \cdot \text{H}_3\text{PO}_4 \cdot 2\text{H}_2\text{O}$  составляло:  $\text{Y}^{3+}-27,90\%$ ,  $\text{PO}_4^{3-}-59,8\%$ ,  $\text{H}_2\text{O}-11,3\%$ ,  $\text{H}^+-0,9\%$  (по расчету:  $\text{Y}^{3+}-27,9\%$ ,  $\text{PO}_4^{3-}-59,7\%$ ,  $\text{H}_2\text{O}-11,3\%$ ,  $\text{H}^+-0,9\%$ ); для  $\text{YPO}_4 \cdot 2\text{H}_3\text{PO}_4 \cdot 2,5\text{H}_2\text{O}$ :  $\text{Y}^{3+}-20,9\%$ ,  $\text{PO}_4^{3-}-67,0\%$ ,  $\text{H}_2\text{O}-10,5\%$ ,  $\text{H}^+-1,40$  (по расчету:  $\text{Y}^{3+}-20,9\%$ ,  $\text{PO}_4^{3-}-67,1\%$ ,  $\text{H}_2\text{O}-10,6\%$ ,  $\text{H}^+-1,4\%$ ).

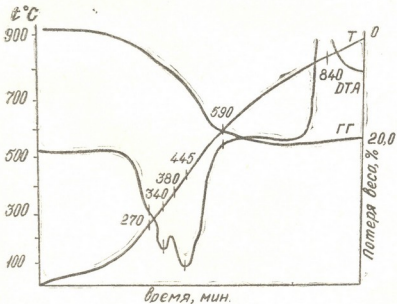


Рис. 1. Термогравиграмма  $\text{YPO}_4 \cdot \text{H}_3\text{PO}_4 \cdot 2\text{H}_2\text{O}$

Кривые нагревания записывали на дериватографе системы Паулек-Эрдей. Нагревание образца производилось в атмосфере воздуха-

в интервале температур 20—1000°C, при скорости нагрева 10°/мин. ИК-спектры поглощения записывали на спектрофотометре UR-20 в области 400—4000 см<sup>-1</sup>. Образцы готовили в виде суспензии в вазелиновом масле. Непрокаленные образцы обрабатывали гидро-

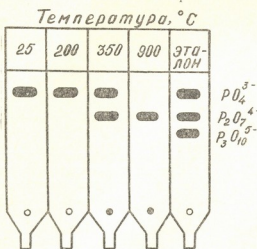


Рис. 2. Хроматограмма  $YPO_4 \cdot H_3PO_4 \cdot 2H_2O$  и продуктов его нагревания

окисью натрия, а прокаленные — фтористым аммонием в течение 3-х суток при 0°C (во избежание гидролиза конденсированных фосфатов), раствор фильтровали, фильтрат нейтрализовали и хроматографировали. Хроматографический анализ образцов проводили на бумаге IV—П (производство ЧССР).

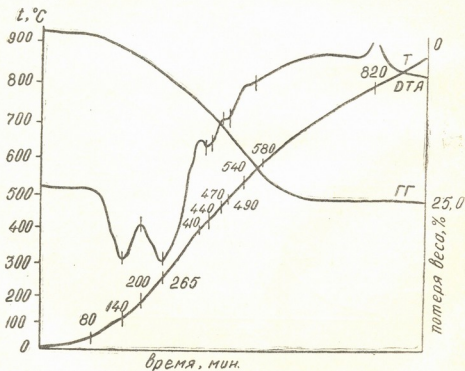


Рис. 3. Термогравиограмма  $YPO_4 \cdot 2H_3PO_4 \cdot 2,5H_2O$

На дериватограмме  $\text{YPO}_4 \cdot \text{H}_3\text{PO}_4 \cdot 2\text{H}_2\text{O}$  (рис. 1) наблюдаются эндоэффекты при  $340^\circ$  и  $445^\circ\text{C}$ . Данные эффекты соответствуют дегидратации соединения и полностью завершаются при температуре  $590^\circ\text{C}$ . Экзотермический эффект при  $820^\circ$  отвечает кристаллизации безводных продуктов.

Методом бумажной хроматографии в продуктах нагревания (рис. 2) обнаружены ортофосфат-ионы ( $200^\circ\text{C}$ ), орто-, пиро-, и полифосфат-ионы с длинной цепью ( $350^\circ\text{C}$ ) и пиро- и полифосфат-ионы с длинной цепью ( $900^\circ\text{C}$ ).

Дегидратация  $\text{YPO}_4 \cdot 2\text{H}_3\text{PO}_4 \cdot 2,5\text{H}_2\text{O}$  (рис. 3) протекает в очень широком интервале температур ( $80$ — $680^\circ\text{C}$ ), чему на термограмме отвечает ряд последовательных эндотермических эффектов ( $80$ — $140^\circ$ ,  $200$ — $265^\circ$  и т. д.). Нагреванию до  $270^\circ$  можно получить безводный рентгеноаморфный  $\text{Y}(\text{H}_2\text{PO}_4)_3$ .

Хроматографическим анализом установлено (рис. 4), что в этом продукте (весьма гигроскопичном на воздухе) присутствуют только ортофосфат-ионы. При дальнейшем нагревании происходит удаление химически связанной воды, сопровождающееся полимеризацией ортофосфат-ионов, и в продуктах, нагретых до  $600^\circ\text{C}$ , методом бумажной хроматографии обнаруживается присутствие орто-, пиро-, три- и более высококонденсированных фосфатов.

Экзотермический эффект при  $820^\circ$  отвечает кристаллизации продукта нагревания. В указанном продукте методом бумажной хроматографии установлено присутствие полифосфат-иона с длинной цепью.

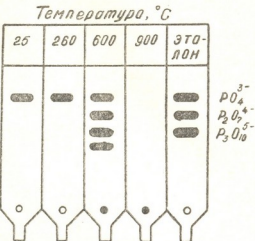


Рис. 4. Хроматограмма  $\text{YPO}_4 \cdot 2\text{H}_3\text{PO}_4 \cdot 2,5\text{H}_2\text{O}$  и продуктов его нагревания

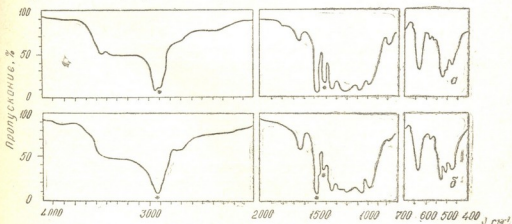


Рис. 5. ИК-спектры поглощения: а— $\text{YPO}_4 \cdot \text{H}_3\text{PO}_4 \cdot 2\text{H}_2\text{O}$ . б— $\text{YPO}_4 \cdot 2\text{H}_3\text{PO}_4 \cdot 2,5\text{H}_2\text{O}$

С целью получения данных о строении кислых фосфатов нами были изучены их ИК-спектры поглощения, которые записывали в области  $400$ — $4000 \text{ cm}^{-1}$  (рис. 5).



Согласно формулам  $\text{YPO}_4 \cdot \text{H}_3\text{PO}_4 \cdot 2\text{H}_2\text{O}$  и  $\text{YPO}_4 \cdot 2\text{H}_3\text{PO}_4 \cdot 2,5\text{H}_2\text{O}$  кислые соединения должны содержать протоны, которые могут связываться либо с ортофосфат-группами, образуя углы  $\text{POH}$ , либо с молекулами воды, образуя ионы гидроксония —  $\text{H}_3\text{O}^+$ , или же одновременно с обеими формами [4].

В спектрах кислых ортофосфатов иттрия (рис. 5) фиксируются все полосы поглощения, появление которых следовало ожидать при нарушении симметрии исходных фосфатных тетраэдров.

Полосы поглощения в области 1200—1400 см<sup>-1</sup> относятся к деформационным колебаниям  $\text{POH}$ -групп.

Спектр поглощения  $\nu(\text{H}_2\text{O})$  в области — 2200—3600 см<sup>-1</sup> указывает на участие молекул воды в образовании водородных связей.

Протоны в данных соединениях не образуют ионов гидроксония, так как полоса деформационных колебаний воды находится в спектре при 1630 см<sup>-1</sup> (в случае образования гидроксония она была бы смешена в высокочастотную область). По-видимому, протоны в данных соединениях связаны в ионы  $\text{HPO}_4^{2-}$  и  $\text{H}_2\text{PO}_4^-$ , образующие с атомами иттрия сложный каркас. Очевидно,  $\text{YPO}_4 \cdot \text{H}_3\text{PO}_4 \cdot 2\text{H}_2\text{O}$  и  $\text{YPO}_4 \cdot 2\text{H}_3\text{PO}_4 \cdot 2,5\text{H}_2\text{O}$  являются кислыми солями, которые можно представить, как монодизамещенный фосфат иттрия —  $\text{Y}(\text{HPO}_4)_2 \cdot 2\text{H}_2\text{O}$  и монозамещенный фосфат иттрия —  $\text{Y}(\text{H}_2\text{PO}_4)_3 \cdot 2,5\text{H}_2\text{O}$ .

Институт физической и органической химии им. П. Г. Меликишвили АН ГССР

Поступило 18.VI.1976

ა. ლამება, ნ. ჯავახიშვილი

ითარებოს მავა თრთოვოსუსამების ზოგიერთი თვისებაზი

რეზიუმე

სისტემა  $\text{Y}_2\text{O}_3 - \text{H}_3\text{PO}_4 - \text{H}_2\text{O}$ -ს შესწავლის შედეგად დადგნილია იტრიუმის ორი მეტა ართოფოსფატის:  $\text{YPO}_4 \cdot \text{H}_3\text{PO}_4 \cdot 2\text{H}_2\text{O}$ -სა და  $\text{YPO}_4 \cdot 2\text{H}_3\text{PO}_4 \cdot 2,5\text{H}_2\text{O}$ -ს წარმოქმნა.

აღნიშნული ნაერთები წარმოიქმნება  $\text{Y}_2\text{O}_3$ -ის განსინო 65% და 85%-იან ფოსფორმეტაზი. სინეზი ტარდება 20°-ზე. ამ ტემპერატურის პირობებში წონაშორობა სისტემაში მყარდებოდა 30 დღის განმავლობაში.

შესწავლილია მიღებული ნაერთების ფიზიკურ-ქიმიური თვისებები. ქიმიური ანალიზის საფუძველზე დადგნილია იტრიუმის მეტა ართოფოსფატების შედეგნილობა.

თერმული ანალიზით დადგნილია, რომ აღნიშნული ნაერთების დეპიდრაცია მიმდინარეობს ფართო ტემპერატურულ ინტერვალში, რომელსაც თერმოგრამაზე შეესაბამება არადენიმე ენდოთერმული ეფექტი. ეგზოთერმული ეფექტები კი გამოქვეულია უწყლო ნაერთების კრისტალიზაციით.

ქალალდზე ქრომატოგრაფიული ანალიზის მეთოდით დადგნილია, რომ იტრიუმის მეტა ართოფოსფატების თერმული დაშლა დაკავშირებულია რთულ გარდაქმნებთან, რომელსაც თან ახლავს პოლიმერიზაცია და გრძელებაჭვიანი ნაერთების წარმოქმნა.

ინტრიქითელი სპექტროსკოპიული ანალიზის საფუძველზე დადგნილია, რომ წარმოქმნილი ნაერთები წარმოადგენენ მონოდინიაცელებულ იტრიუმის მეტა ფოსფატს —  $\text{Y}(\text{HPO}_4)_2 \cdot 2\text{H}_2\text{O}$ -ს და მონონიაცელებულ იტრიუმის მეტა ფოსფატს —  $\text{Y}(\text{H}_2\text{PO}_4)_3 \cdot 2,5\text{H}_2\text{O}$ .

## SOME PROPERTIES OF YTTRIUM ACID ORTHO-PHOSPHATES

## Summary

While studying the system  $\text{Y}_2\text{O}_3 - \text{H}_3\text{PO}_4 - \text{H}_2\text{O}$ , crystallization of two acid ortho-phosphates ( $\text{YPO}_4 \cdot \text{H}_3\text{PO}_4 \cdot 2\text{H}_2\text{O}$  and  $\text{YPO}_4 \cdot 2\text{H}_3\text{PO}_4 \cdot 2,5\text{H}_2\text{O}$ ) was found.

The mentioned compounds were obtained by saturation of 65% (for  $\text{YPO}_4 \cdot \text{H}_3\text{PO}_4 \cdot 2\text{H}_2\text{O}$ ) and 85% (for  $\text{YPO}_4 \cdot 2\text{H}_3\text{PO}_4 \cdot 2,5\text{H}_2\text{O}$ ) phosphoric acid with yttrium oxide.

The obtained compounds were studied using the methods of thermography, paper chromatography and IR-spectroscopy.

The thermal analysis showed that dehydration of yttrium acid ortho-phosphates takes place in a wide temperature range.

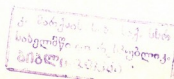
Paper chromatography showed that thermal decomposition of acid ortho-phosphates is accompanied by complex conversions leading to polymerization and formation of compounds with a long chain.

It was established on the basis of IR-spectroscopy data that the formed compounds are yttrium acid ortho-phosphates: monodisubstituted  $\text{Y}(\text{HPO}_4)(\text{H}_2\text{PO}_4) \cdot 2\text{H}_2\text{O}$  and monosubstituted —  $\text{Y}(\text{H}_2\text{PO}_4)_3 \cdot 2,5\text{H}_2\text{O}$ .

## ლიტერატУРА — REFERENCES

1. Тананаев И. В., Давиташвили Е. Г., Джабишили Н. А., Ландия М. В. Ж. неорган. материалы, 9, 2174 (1973).
2. Тананаев И. В., Джабишили Н. А. Ж. неорган. материалы, 5, 1402 (1969).
3. Джабишили Н. А., Давиташвили Е. Г. Сб. Исследования в области химии комплексных и простых соединений некоторых переходных и редких металлов. «Мечниебэ». Тбилиси, 1970.
4. Charman A. C., Thirlwell L. E., Spectrochim. acta, 20, 939 (1964).

15948



УДК 543.544:632.954

Л. Д. МИКАДЗЕ, М. А. КЛИСЕНКО, В. И. КОФАНОВ

**РАЗДЕЛЬНОЕ ОПРЕДЕЛЕНИЕ КОМПОНЕНТОВ ГЕРБИЦИДА  
КАРАГАРДА МЕТОДОМ ГАЗОВОЙ ХРОМАТОГРАФИИ  
С ИСПОЛЬЗОВАНИЕМ ТЕРМОИОННОГО ДЕТЕКТОРА**

Широкое использование симм-триазинов в качестве гербицидов невозможно без систематического контроля за применением препаратов, их накоплением и разложением в почве, продуктах растительного происхождения, в частности, в винограде и виноградном соке. В настоящее время для определения симм-триазинов используются хроматографические методы [1, 2]. Перспективно применение газовой хроматографии с термоионным детектором, обладающим достаточно большой чувствительностью и высокой селективностью к азотсодержащим препаратам. Использование термоионного детектора рекомендовано для определения остатков атразина, симазина, пропазина и прометрина в воде, почве и зерне без очистки экстракта [3]. Представляет интерес изучить условия работы термоионного детектора газового хроматографа «Цвет-106» применительно к определению карагарда в почве, винограде и виноградном соке.

Карагард представляет собой смесь двух препаратов — 2-хлор-4-этиламино-6-терт-бутиламино-симм-триазина, называемого в дальнейшем хлоркарагардом и 2-метокси-4-этиламино-6-тертбутиламино-симм-триазина (в дальнейшем метоксикарагард). Каждый из препаратов входит в состав смеси в количестве 25%.

Извлечение препаратов из почвы, винограда и сока проводится следующим образом. Навеску 100 г воздушно-сухой, просеянной через сито (3 мм) почвы, увлажняют 10—15 мл дистиллированной воды, заливают хлороформом и через 10—15 часов отделяют органический экстракт через слой безводного сульфата натрия. В случае интенсивно окрашенного хлороформного экстракта его дополнительно очищают пропусканием через колонку с активированным углем и окисью алюминия. Хлороформ упаривают досуха в концентраторе с использованием ротационного вакуумного испарителя или на водяной бане до объема 1—2 мл с выдуванием остатка растворителя струей воздуха из компрессора.

Очистка экстракта и виноградного сока производится аналогично. Для экстракции берут 25 мл виноградного сока и используют в качестве экстрагента хлороформ.

Для выделения карагарда из винограда навеску 25 г измельченной зеленой мякоти заливают 50 мл н-гексана и через 10—15 часов отфильтровывают. Органический слой встряхивают в делительной воронке с равным объемом дегидрормальной соляной кислоты. Препараты переходят в водную фазу. Экстракцию раствором соляной кислоты из гексанового экстракта повторяют еще дважды. Объединенный водный экстракт подщелачивают несколькими каплями 50% раствора едкого



натра до pH 10—12 (по универсальному индикатору) и экстрагируют препаратом хлороформом трижды по 20—30 мл. Объединенный органический экстракт сушат безводным сульфатом натрия и упаривают в концентраторе досуха. К очищенной пробе в концентраторе прибавляют 2 мл гексана, тщательно смывают содержимое со стенок и вводят аликовую часть экстракта в хроматограф.

Таблица 1

Миграция карагарда по почвенному профилю

Тип почвы	слой почвы, см	Оснащенное количество карагарда, мг/кг	
		Хлоркарагард	Метоксикарагард
Каштановая	0—10	88,5	118,9
" — "	10—20	2,67	36,1
" — "	20—30	0,16	0,12
" — "	30—40	—	—
Перигионо-карбонатная	0—10	96,5	96,5
" — "	10—20	33,6	33,6
" — "	20—30	0,5	0,3
" — "	30—40	—	—

Разделение хлоркарагарда и метоксикарагарда удалось осуществить только с использованием 2-х метровой стеклянной колонки, содержащей полярный нитрилсиликоновый каучук Хе-60, нанесенный в количестве 5% на силанизированный хроматон N—AW с размером частиц 0,20—0,25 мм. На колонках с метилсиликоновым каучуком SE-30 время удерживания хлоркарагарда и метоксикарагарда совпадает. На рисунке 1 приведена хроматограмма разделения смеси азотсодержащих препаратов. Как видно из рисунка, метоксикарагард хорошо отделяется от большинства применяемых и перспективных триазиновых гербицидов.

Известно, что чувствительность термоионного детектора зависит от фонового тока, вводимой дозы и ряда других факторов [4]. Однако в связи с недостаточной разработкой приемов выведения термоионного детектора на режим работы с максимальной чувствительностью мы обращали особое внимание на режим эксплуатации детектора. Для воспроизводимой работы детектора применен следующий прием зажигания пламени и выдерживания рабочего режима. Устанавливают необходимые расходы на блоках газового хроматографа «Цвет-106»: азот—20 мл/мин, водород—15 мл/мин, воздух—24 л/час. Точные расходы водорода и воздуха устанавливают дросселями тонкой регулировки блока БПГ-38 при установке регулятором давления РД значения давления, равного 1 ати. Включают термостат колонок, блок питания детекторов, измеритель малых токов ИМТ и регистратор. Клавишу «Компенсация» блока ИМТ отключают и устанавливают шкалу  $100 \times 10^{-12}$  (100 пикоампер). Увеличивают давление водорода регулятором давления блока БПГ-48 до 1,5 ати и, выждав 1—2 минуты, нажимают на 5 секунды кнопку зажигания; появление пламени выражается в отбросе стрелки регистратора вправо. Выждав 1—2 минуты для форсированного выхода таблетки на режим, необходимо уменьшить расход водорода рукояткой регулятора давления. Стрелка регистратора при этом смещается влево. Устанавливают необходимое для работы значение

фонового тока. Оно обычно составляет 60—80 пикоампер. Сигнал детектора является линейной функцией значения фонового тока  $J_{\Phi}$ . Однако сильное увеличение  $J_{\Phi}$  (свыше 200 па) приводит к значительной

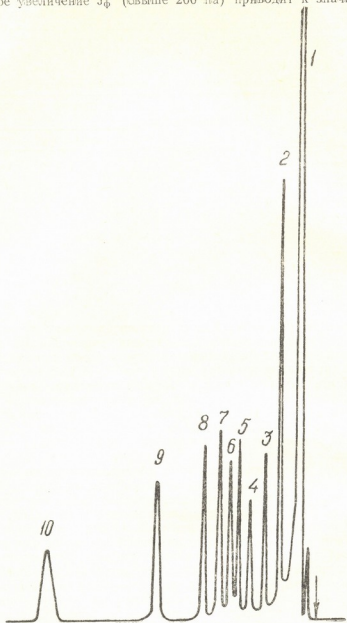


Рис. 1. Разделение азотосодержащих препаратов на 2-х метровой колонке с нитрилсиликоновым каучуком ХЕ-60. 1 — метанол, 2 — азобензол, 3 — дифениламин, 4 — метокси-карагард, 5 — пропазин, 6 — хлоркарагард, 7 — симазин, 8 — семерон, 9 — газаран, 10 — игран

му увеличению уровню шума и вызывает необходимость перехода на менее чувствительные шкалы. Линейный диапазон — пропорциональное введеному количеству препарата возрастание сигнала детектора — для

хлоркаратарда и метоксикарагарда — находится в пределах от 0,5 нг до 5—10 мкг, т. е. простирается на 3—4 порядка.

Установив выбранное значение фонового тока, включают клавишу «компенсация» и устанавливают стрелку регистратора на необходимое начальное положение. При изменении положения нуля при дальнейшей работе корректируют с возвращением на нуль производят не рукойкой «компенсация», а регулятором давления водорода, добиваясь возвращения к прежнему значению фонового тока. В силу таких особенностей работы детектора, периодически производят проверку чувствительности. Для этого после серии из 4—5 анализов вводят в хроматограф 2—3 раза различные объемы  $v$  (мкл) стандартного раствора с концентрацией С мкг/мл. Измеряют высоты пиков Н (мм) и рассчитывают калибровочный коэффициент К (мм/нг).

$$K = \frac{1}{n} \left( \frac{H_1}{v_1 c} + \frac{H_2}{v_2 c} + \frac{H_3}{v_3 c} + \cdots + \frac{H_n}{v_n c} \right).$$

Расчет результатов анализа производят по формуле:

$$X = \frac{H \cdot V}{K \cdot v \cdot m}.$$

Здесь X — содержание пестицида в пробе, мг/кг или мг/л; V — объем гексанового экстракта, мл; v — объем аликовой части, введенный в хроматограф, мкл; m — масса или объем анализируемой пробы, г или мл.

Калибровочный коэффициент и пробы измерялись при одной и той же шкале усилителя малых токов, равной в наших условиях  $5 \cdot 10^{-12}$ . Если же полученные пики «зашкаливают», то можно уменьшить шкалу до  $100 \cdot 10^{-12}$  и  $200 \cdot 10^{-12}$  А. В этом случае в расчетную формулу для X (мг/кг) необходимо ввести масштабный коэффициент 2 или 4.

Чувствительность метода составляет 0,01 мг/кг для почвы и 0,5 мг/зг для зеленой массы винограда и виноградного сока. Процент определения  $90 \pm 5\%$  при доверительной вероятности  $\alpha = 0,95$ .

Разработанным методом было изучено поглощение хлоркаратарда и метоксикарагарда образца почвы по высоте.

Опыт был проведен в колонках, заполненных воздушно-сухой почвой [5]. Для изучения влияния фильтрационных вод на перемещение карагарда по почвенному профилю было имитировано дождевание. После окончания опыта был произведен анализ образцов почвы по высоте колонки. Полученные результаты приведены в таблице. Результаты свидетельствуют о том, что компоненты карагарда не проникают глубже 20 см в лабораторных условиях.

Грузинский институт защиты растений,

ВНИИГИНТОКС

Институт колloidной химии и  
химии воды АН УССР

Поступило 26.X.1976

Л. 805200, З. 37016050, З. 37026030

არგვილი ერავნული უნივერსიტეტი მთავრობის განხაზოვანი გაზევის  
მრავალობრივი მეთოდით თარიღით დამტკიცირების გამოყენების

რეზოუტი

გაზური ქრომატოგრაფის მეთოდით შესწავლითი სიმ-ტრიაზების  
გვერდის წარმომადგენელი ჰერბიციდ-კარაგარდის განსაზღვრის პირობები ნია-



დაგში, ვაზის ფოთოლსა, ყურძენსა და ყურძნის წვენში. ჰერბიციდი კარაგარდი კურტიკალი და შეღვება ორი კომპონენტისაგან. 2-ქლორ-4-ეთოლამინ-6-ტეტრობული თილამინ სიმ-ტრიაზინისა და 2-მეთოქსი-4-ეთოლამინ-6-ტეტრობულილამინ სიმ-ტრიაზინისაგან.

წარმოდგენილია კარაგარდის შემადგენელი კომპონენტების გაზური ქრომატოგრაფიის მეთოდით განსაზღვრის პირობები თერმოიონური დეტექტორის გამოყენებით. კარაგარდის ნიადაგიდან, ყურძნიდან, ყურძნის წვენიდან და ფიტლიდან იდენტიფიციაციის შემდეგ ჰექსანინი სსნარი შეჰყავთ ქრომატოგრაფ „ცვეტ-106“-ში, რომლის 2-მეტრიანი მინის მილ შეიცავს ნიტრილსილიკონის კაუჩუკ Xe-60, დატანებულს 5%-ის რაოდენობით სილანიზირებულ ქრომატონ N-AW-ზე, რომლის მარცვლების სიდიდე 0,20—0,25 მმ-ია. ამ პირობებში მილშეულია კარაგარდის დაყოფა შემადგენელ კომპონენტებად — ქლორკარაგარდად და მეთოქსიკარაგარდად. მეთოლსილიკონის კაუჩუკ SE-30-იან სვეტზე გამოსულის დრო ქლორკარაგარდისათვის და მეთოქსიკარაგარდისათვის ერთნაირია. განსაკუთრებული მნიშვნელობა ენიჭება მუშაობის რეაქტორის, ტექნიკას და დეტექტორის ექსპლოატაციას.

L. D. MIKADZE, M. A. KLISENKO, V. I. KOFANOV

## SEPARATE DETERMINATION OF CARAGARD HERBICIDE COMPONENTS USING THE METHOD OF GAS CHROMATOGRAPHY AND THERMOION DETECTOR

### Summary

New caragard herbicide a representative of simm-triazines, perspective for vineyards and citrus plantations, consists of two components: 2-chloro-4-ethylamino-6-tertbutylamino simm-triazine and 2-methoxy-4-ethylamino-6-tertbutylamino simm-triazine.

The conditions for determination of the caragard components were studied using the method of gas chromatography and thermoion detector. After identification and purification hexane solution of the sample is put into a chromatograph "Tsvet-106" with thermoion detector, using a two meter long glass column, containing nitrile silicon rubber Xe-60, put in the amount of 5% on silanized chromafion N-AW with the particle size of 0,20—0,25 mm.

The retention times for chlorocaragard and that for methoxycaragard coincide in columns with methyl silicon rubber SE-30. A special attention is concentrated on the descriptions of the technique and maintenance of the detector.

The linear range (an increase of the detector signal proportional to the introduced amount of the preparation) is for chlorine caragard and methoxy caragard within 0,2—0,5 µg to 5—10 µg, i. e. is spread for 3—4 orders of the magnitude.

ՀԱՅՈՒԹՅԱՆ — ԼԻТЕՐԱՏՈՒՐԱ — REFERENCES



1. Караканян Л. Л., Головкин Г. В. Сб. Газовая хроматография пестицидов. Таллин, 156—158 (1972).
  2. Khanap S. U., Ryukayasha R. Journal of Agricultural and Food Chemistry 23р, 311—314 (1975).
  3. K. C. Tindie, Gerkle C. U., Aue W. A. Journal of the A. O. A. C. 51, 682—688 (1968).
  4. Пихл В. О., Ильмова К. А. Сб. Газовая хроматография пестицидов. Таллин, 37—43 (1972).
  5. Попович Н. А. Сб. Гигиена применения, токсикология пестицидов и клиника отравления, вып. 9, 49—57 (1971).
-

УДК 543.062

Е. Д. ОЗИАШВИЛИ, К. Е. ЭСАКИЯ, И. А. АХАЛКАЛАКЕЛОВА, М. Р. АГЛАДЗЕ

### О КОМПЛЕКСОНОМЕТРИЧЕСКОМ ОПРЕДЕЛЕНИИ Eu(III) И Cr(III) В ПРИСУТСТВИИ Ti(IV) И Ta(V)

При анализе двойных боридов: бор-европий-тантал, бор-европий-титан, бор-хром-титан, бор-хром-тантал — возникает задача определения Cr(III) и Eu(III) в присутствии Ti(IV) и Ta(V). Обычно комплексонометрическому титрованию этих элементов предшествует отделение титана и тантала, что усложняет анализ и увеличивает его время [1, 2].

Данные литературы по комплексонометрическому определению Eu(III) и Cr(III) в присутствии Ta(V) и Ti(IV) ограничены [3].

По вопросу влияния  $H_3BO_3$  на комплексонометрическое титрование Eu(III) и Cr(III) сведений в литературе не имеется, кроме указания [5], что на определение некоторых элементов неблагоприятно влияет присутствие большого количества борной кислоты.

С целью выяснения возможности комплексонометрического титрования Eu(III) и Cr(III) в присутствии Ti(IV) и Ta(V) нами был проведен анализ ряда смесей, содержащих Ta-Cr-B, Cr-Ti-B, Eu-Ta-B, Eu-Ti-B в различных соотношениях. Исходные растворы Ta(V), Ti(IV) и Eu(III) готовили путем сплавления окислов указанных элементов

Таблица 1  
Результаты определения европия в присутствии тантала  
в модельных смесях

Взято Eu, мг	Добавлено, мг		Среднее найденное количество Eu, мг	Относительная ошибка, %
	Ta	$H_3BO_3$		
0,85	1,00	5	0,80	-5,88
0,85	3,00	10	0,80	-5,88
0,85	9,10	10	0,78	-8,24
2,13	2,25	15	2,05	-3,75
4,26	2,25	15	4,26	0,00
4,28	4,55	20	4,26	-0,47
4,28	6,83	20	4,26	-0,47
4,28	9,10	27	4,20	-1,87
6,60	9,10	27	8,75	+1,74
8,60	11,23	27		

(марки х. ч.) с тридцатикратным количеством персульфата калия, выщелачивания плава 5 мл концентрированной  $H_2SO_4$  и доведения раствора до 100 мл дистиллированной водой. Исходный раствор Cr(III) готовили растворением  $CrCl_3$  (марки х. ч.) в 100 мл дистиллированной воды при доведении pH раствора до 2 соляной кислотой.

При определении Eu составляли модельные смеси с различным содержанием Eu(III), борной кислоты и Ta(V) или Ti(IV), разбавляли раствор до 100 мл дистиллированной водой, добавляли определенный объем 0,01 н раствора комплексона III, эриохром черный Т (индикатор), аммиачный буферный раствор (рН 10) до появления голубого цвета, и титровали смесь 0,01 н раствором ZnCl<sub>2</sub> до спреневой окраски [4].

Таблица 2  
Результаты определения европия в присутствии титана  
в модельных смесях

Взято европия, мг	Добавлено, мг		Среднее найденное количество европия, мг	Относительная ошибка, %
	Титана	H <sub>3</sub> BO <sub>3</sub>		
8,47	0,66	5	8,48	+0,12
8,47	0,99	10	8,51	+0,47
8,47	1,32	10	8,44	-0,35
8,47	1,65	15	8,49	+0,24
8,47	1,98	15	8,44	-0,35
8,47	2,31	20	8,46	+0,12
8,47	2,64	20	8,41	-0,35
8,47	2,97	27	8,14	-0,39
8,47	3,30	27	7,99	-0,57

Результаты определения Eu в модельных смесях приведены в табл. 1 и 2. Как видно, комплексонометрическим титрованием можно определить с удовлетворительной точностью 0,85 мг Eu(III) в присутствии 9,1 мг Ta(V). Титровать 8,47 мг Eu(III) можно лишь в присутствии не более 3,3 мг Ti(IV), так как возможно выпадение в осадок гидроокиси титана, что затрудняет наблюдение перехода окраски при титровании. Определению 6,6 мг Eu не мешает присутствие 27 мг H<sub>3</sub>BO<sub>3</sub>.

Таблица 3  
Результаты определения хрома в присутствии титана  
в модельных смесях

Взято Cr, мг	Добавлено, мг		Среднее найденное количество Cr, мг	Относительная ошибка, %
	Ti	H <sub>3</sub> BO <sub>3</sub>		
2,16	1,15	5	2,10	-2,78
2,16	2,30	10	2,10	-2,78
2,16	3,45	10	2,15	-0,46
2,16	4,60	15	2,15	-0,46
3,24	4,60	15	3,24	0,00
4,32	4,60	20	4,35	+0,69
6,5	4,60	20	6,45	+0,70

При определении Cr(III) в модельных смесях в анализируемый раствор необходимо добавить винную кислоту, так как в ходе анализа возможно выпадение осадка гидроокиси тантала или титана. Предварительные опыты показали, что для удержания 10 мг Ti(IV) или Ta(V) в растворе достаточно 10 мл 10% винной кислоты, которая не мешает дальнейшему определению Cr(III).

Для комплексонометрического определения Cr составляли смеси с различным содержанием Cr(III), борной кислоты, Ta(V) или Ti(IV), добавляли винную кислоту, pH раствора доводили до 3,2 с добавлением

0,35 н. NaOH, прибавляли 10—15 мл (в зависимости от количества хрома) 0,025 н раствора комплексона III, раствор кипятили в течение 10 мин, по охлаждении добавляли 5—6 капель 0,5% раствора ксилено-

Таблица 4  
Результаты определения хрома в присутствии тантала  
в модельных смесях

Взято Cr, мг	Добавлено, мг		Среднее найденное количество Cr, мг	Относительная ошибка, %
	Ta,	H <sub>3</sub> BO <sub>3</sub>		
0,81	4,00	5	0,80	-1,23
1,08	3,45	5	1,04	-3,70
1,08	4,90	10	1,04	-3,70
1,64	4,00	10	1,08	-2,44
2,44	4,00	15	2,24	-8,20
3,24	4,00	15	3,12	-3,70
3,24	9,20	20	3,10	-4,32
6,5	9,20	20	6,55	+0,70

лового оранжевого (индикатора) и титровали 0,025 н раствором Bi(NO<sub>3</sub>)<sub>3</sub>. Результаты приведены в табл. 3 и 4.

Таблица 5  
Результаты определения хрома в пробах двойных боридов  
Ti—Cr—В и шихтах для их получения

Наименование и номера проб	Найденное содержание хрома $\bar{x}$ , %	Стандартное отклонение, %
<b>Б о р и д ы</b>		
Ti—Cr—В № 1	19,75	0,94
Ti—Cr—В № 2	18,64	0,32
Ti—Cr—В № 3	15,47	0,76
<b>Ш и х т ы</b>		
Ta—Cr—В № 1	9,49	0,67
Ta—Cr—В № 2	11,57	0,96
Ta—Cr—В № 3	11,11	0,50

Из данных таблиц видно, что комплексонометрическим методом Cr(III) в присутствии Ta(V) и Ti(IV) определяется с удовлетвори-

Таблица 6  
Результаты определения европита в присутствии тантала в пробах  
двойных боридов Eu—Ta—В и шихтах для их получения

Наименование и номера проб	Найденное содержание Eu, $\bar{x}$ , %	Стандартное отклонение, %
<b>Б о р и д ы</b>		
Eu—Ta—В № 1	35,47	0,314
Eu—Ta—В № 2	34,79	0,205
<b>Ш и х т ы</b>		
Eu—Ta—В № 1	4,97	0,040
Eu—Ta—В № 2	6,27	0,037
Eu—Ta—В № 3	3,72	0,026

тельной точностью. Определению 6,5 мг Cr(III) не мешает присутствие 20 мг  $H_3BO_3$ .

Результаты наших исследований позволили разработать методики определения Eu(III) и Cr(III) в двойных боридах Eu-Ta-B, Ti-Cr-B, Ta-Cr-Bi в шихтах для их получения, согласно которым навеска пробы 0,1 г переводится в раствор сплавлением с персульфатом калия, а Eu(III) и Cr(III) определяются указанным выше методом.

Результаты приведены в табл. 5 и 6.

Как видно из данных таблиц, среднее стандартное отклонение определения Eu равно 0,25% (при  $n=3$ ), а хрома — 0,70% (при  $n=5$ ).

Институт стабильных изотопов,

г. Тбилиси

Поступило 10.XII.1975

Д. ОЗИАШВИЛИ, ქ. ესაკია, ი. ახალქალაქილოვა, მ. აგლაძე

**Eu (III) და Cr (III) კომპლექსომეტრიული განსაზღვრა Ti (IV) და Ta (V) თანაობისას**

### რეზუმე

ნაჩვენებია, რომ კომპლექსონომეტრული მეთოდით შეიძლება განსაზღვროს Eu (III) ტანტალის ან ტიტანის თანაობისას შემდეგი შეფარდებით:  $Ta:Eu = 10:1$ ,  $Eu:Ti = 3:1$ , ასევე Cr(III) შეიძლება განსაზღვროს Ti (IV) ან Ta (V) თანაობისას.

ეკრობიუმის განსასაზღვრელად არჩეულია ცკცომპლექსონომეტრული ტიტრა თუთის ქლორიდის ხსნარით ერიოქრომშავი T-ს თანაობისას  $pH = 10$  დროს. ქრომის განსასაზღვრებელი არჩეულია უკუტიტრაციის შეთვით  $Bi(NO_3)_3$ -ის ხსნარით ქსილენოლის ორანჟის თანაობისას.

E. D. OZIASHVILI, K. E. ESAKIA, I. A. AKHALKALAKHOVA, M. R. AGLADZE

### ON COMPLEXONOMETRIC DETERMINATION OF Eu(III) AND Cr(III) IN THE PRESENCE OF Ti(IV) AND Ta(V)

#### Summary

It is shown that complexonometric method can be used for Eu(III) determination in the presence of Ta(V) or Ti(IV) at the ratio  $Ta:Eu = 10:1$ ,  $Eu:Ti = 3:1$  and also Cr(III) can be determined in the presence of Ti (IV) or Ta(V) and the determination is not interfered with the presence of tartaric acid added to the solution to prevent deposits of hydroxides of Ta(V) or Ti(IV).

Eu(III) is determined by the reverse complexonometric titration with the  $ZnCl_2$  solution at  $pH = 10$  in the presence of eriochrome black T. To determine Cr(III) the reverse complexonometric titration is chosen by the  $Bi(NO_3)_3$  solution in the presence of xylanol orange.

1. Анализ минерального сырья (под редакцией Ю. Н. Кипович и Ю. В. Морачевского), Л., Госхимиздат, 1956.
  2. Willing D. H., Talanta, 2, 355 (1959).
  3. Шарцебах Г., Флашка Г. Комплексно-метрическое титрование, Изд. «Химия», М., 1970.
  4. Живописцев В. П., Калмыкова И. С. Сборник научных трудов Пермского политехнического института, 52, 21 (1969).
  5. Васильева М. Г. Диссертация. СФТИ, Сухуми (1965).
-

## ОРГАНИЧЕСКАЯ ХИМИЯ

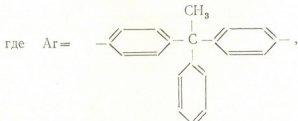
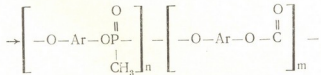
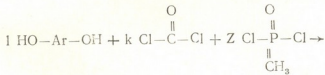
УДК 541.64.678.674

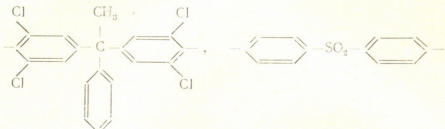
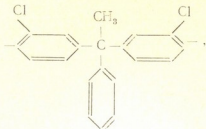
Ш. А. САМСОНИЯ, М. Г. ЖАМИЕРАШВИЛИ, Г. Г. АНДРОНИКАШВИЛИ,  
[И. М. ГВЕРДШТЕЛИ]

### СИНТЕЗ НЕКОТОРЫХ СЕРУ-, ХЛОР- И ФОСФОРСОДЕРЖАЩИХ ПОЛИЭФИРОКАРБОНАТОВ

О синтезе поликарбонатов, содержащих в основной цепи макромолекулы атомы серы и фосфора, было сообщено в работах [1–3]. Показано, что введение атомов серы вызывает повышение термостойкости поликарбоната, но растворимость полимера ухудшается. Также известно [2, 3], что фосфорсодержащие полизифирокарбонаты обладают хорошей растворимостью. Нам представлялось интересным синтезировать поликарбонаты, содержащие одновременно атомы фосфора и серы в основной цепи макромолекулы. С этой целью получены поликарбонаты на основе фосгена, дихлорангидрида метилфосфиновой кислоты (ДХМФК) и 4,4-диоксидифенилсульфона (ДФС).

Фосфорсодержащие полимеры наряду со стойкостью к химическим реагентам, хорошей адгезией к стеклу, бумаге, коже и др. обладают негорючностью [4]. Негорючостью обладают также и полимеры, содержащие атомы хлора. В связи с этим, нами синтезированы поликарбонаты на основе фосгена, ДХМФК и следующих бисфенолов: 1,1-ди(4-оксифенил)фенилэтана (I), 1,1-ди(4-окси,3-хлорфенил)фенилэтана (II) и 1,1-ди(4-окси,3,5-дихлорфенил)фенилэтана (III). Схема реакции:





Применяемые бисфенолы I, II, III и ДФК очищали по методике [5]. ДХМФК очищали перегонкой в вакууме при 54—56° и остаточном давлении 4 мм рт. ст. [4]. Методика проведения поликонденсации аналогична описанной ранее для полиэфирокарбонатов [6]. Вязкость

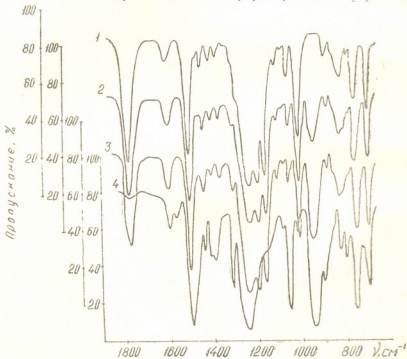


Рис. 1. ИК-спектры сополимеров на основе фосгена, ДХМФК и 1,1-ди(4-окси, 3-хлорфенил)фенилэтана. Содержание фосгена в смеси дихлорангидридов, мол. %: 1—100, 2—80, 3—60, 4—0

определяли в диметилформамиде при 20° для растворов с концентрацией 0,5 г/100 мл. Для повышения степени монодисперсности полимеры экстрагировали в течение 4 часов метанолом. Термомеханические кри-

ые сняты на приборе Цейтлина. Прилагаемая нагрузка 100 г. ИК-спектры образцов снимали на спектрометре UR-20. Рентгенограммы получены на аппарате УРС-55а с использованием Си-излучения.

Во всех опытах отношение дифенола к смеси дихлорангидридов в случае бисфенолов I, II было равномолярным, а в случае бисфенола III и ДФК — 1:1,1; концентрация дифенола ~ 0,37 мол/л; соотношение водно-щелочной и органической фаз 1:1; в качестве растворителя применяли метиленхлорид; реакцию проводили в присутствии катализатора (триэтиламин), взятого в количестве 1—2% от веса бисфенола.

Таблица 1

Свойства и состав полиэфирокарбонатов на основе 1,1-ди (4-оксифенил) фенилэтана

Мольное соотношение фосген: ДХМФК	$\eta$ пр. дл/г для пересажденного	Выход полимера, %		T <sub>пл.</sub> в капилляре, °C
		непересажденного	пересажденного	
100:0	1,4	96	43	200—215
90:10	1,0	95	40	180—186
80:20	0,8	96	61	180—188
60:40	0,4	98	37	150—162
0:100	—	—	—	—

При указанных условиях были проведены опыты при мольных соотношениях фосген: ДХМФК, равных 100:0, 90:10, 80:20, 60:40, 0:100. Результаты приведены в таблицах 1—4. Введение остатков ДХМФК

Таблица 2

Свойства и состав полиэфирокарбонатов на основе 1,1-ди (4-окси-3-хлорфенил) фенилэтана

Мольное соотношение фосген: ДХМФК	$\eta$ пр. дл/г для пересажденного	Выход полимера, %		T <sub>пл.</sub> в капилляре, °C	T <sub>т.</sub> , °C
		непересажденного	пересажденного		
100:0	0,6	93	50	184—204	180
90:10	0,52	90	63	163—183	160
80:20	0,3	91	62	153—163	130
60:40	0,28	88	73	138—147	120
0:100	0,18	84	65	134—145	120

в цепь макромолекулы поликарбоната выше 40% в исходной смеси хлорангидридов сильно повышает ее растворимость (при экстракции метанолом переходит в раствор). Поэтому нам не удалось выделить и описать некоторые полимеры и сополимеры.

ИК-спектроскопическое исследование пленок смешанных полиэфиров показало, что получены сополимеры разного состава. На рис. 1 приведены ИК-спектры сополимеров, полученных на основе бисфенола II. В спектрах обнаруживаются интенсивные полосы поглощения в области 1760 и 940  $\text{cm}^{-1}$ , которые обусловлены валентными колебаниями



ями С=О и Р—О—С группы [7] соответственно. Из рисунка видно, что с увеличением содержания фосгена в исходной смеси хлорангидрида фосгена и фенола II наблюдалась увеличение интенсивности полос при  $1760\text{ cm}^{-1}$  и соответствующее уменьшение интенсивности полос поглощения при  $940\text{ cm}^{-1}$ . Аналогичные результаты получены и для полизирокарбонатов на основе бисфенолов I, III и ДФС.

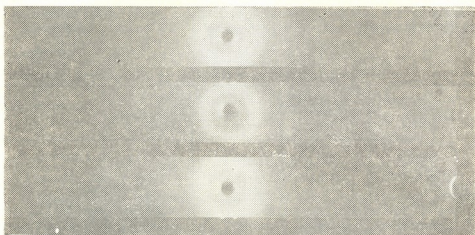


Рис. 2 Рентгенограммы поликарбонатов на основе 1,1-ди(4-окси, 3-хлорфенил)фенилэтана, полученных при мольном соотношении фосген: ДХМФК = 1—100:0, 2—80:20, 3—0:100

Выходы для непереосажденных полимеров и сополимеров в основном были высокими. После обработки сополимеров метанолом выходы уменьшались и колебались в интервале 35—73% (табл. 1—4). Для со-

Таблица 3

Свойства и состав полизирокарбонатов на основе 1,1-(4-окси, 3,5-дихлорфенил) фенилэтана

Мольное соотношение фосген: ДХМФК	$\eta$ пр. дл/г для переосажденного	Выход полимера, %		$T_{\text{пл.}}$ в капилляре, °C
		непереосажденного	переосажденного	
100:0	0,08	80	60	210—225
80:20	0,02	81	60	205—218
60:40	0,04	70	46	200—208
0:100	—	35	—	—

полимеров определены вязкости. Они колеблются в пределах 0,02—1,4 дл/г. Из таблиц 1—4 видно, что введение атомов хлора и серы в состав сополимеров понижает молекулярный вес последних. Увеличение вводимого количества атомов хлора в состав сополимеров вызывает резкое уменьшение их молекулярного веса (табл. 2, 3).

Исследование температурных характеристик показало, что температуры плавления смешанных полизирокарбонатов (табл. 1—4), а также температуры текучести для сополимеров на основе бисфенола II



в зависимости от исходного состава смеси хлорангидридов изменяются аддитивно и лежат между температурами плавления соответствующих гомополикарбонатов. Это указывает на изоморфное замещение звеньев. Таким образом, введение атомов хлора и серы в состав сополимеров не разрушает изоморфизм звеньев в полиэфирокарбонатах. Из таблиц также видно, что и в нашем случае введение атомов хлора и, осо-

Таблица 4

Свойства и состав полиэфирокарбонатов на основе 4,4'-диоксидифенилсульфона

Мольное соотношение фосгени: ДХМФК	$\eta_{sp}$ , дЛ/г для переосажденного	Выход полимера, %		T <sub>пл.</sub> в капилляре, °C
		непереосажденного	переосажденного	
100:0	0,04	44	35	265—270
90:10	0,04	65	47	258—260
80:20	0,04	78	53	215—225
60:40	—	96	—	—
0:100	—	78	—	—

бенно, серы повышает температурные характеристики полимеров. В случае сополимеров на основе 1,1-ди(4-окси,3,5-дихлорфенил)фенилэтана температуры плавления полиэфирокарбонатов почти не изменяются в зависимости от исходного состава.

Рентгенофазовый анализ полиэфирокарбонатов на основе 1,1-ди(4-окси, 3-хлорфенил)фенилэтана, полученных при мольных соотношениях фосгени:ДХМФК = 100:0, 80:20, 0:100, показал аморфную структуру последних.

Синтезированные фосфорсодержащие полиэфирокарбонаты не горючи.

Тбилисский государственный университет

Поступило 8.IX.1976

В. СААБИЕВА, А. ЗАХИДАШВИЛИ, Г. АДЕРГИНАДЗЕШВИЛИ, О. ЗЕМЦОВА

ЗОЛОТОДЕЛЬНЫЙ, ЗОЛОТЫЙ И АЗОТНЫЙ ЦЕНТРЫ  
ЗОЛОТОСТАНОВЫХ КОМПЛЕКСОВ  
СОВЕТИСТВА

### Литература

1. Синтез и свойства полиэфирокарбонатов на основе 4,4'-диоксидифенилсульфона. Вестник ТГУ. № 1. Тбилиси, 1976.

2. Синтез и свойства полиэфирокарбонатов на основе 4,4'-диоксидифенилсульфона. Вестник ТГУ. № 2. Тбилиси, 1976.



ს ადასტურებს პოლიმერის ჯევში რგოლების იზომორფულ ჩანაცვლების გამორჩის, განსაკუთრებით კი გოგირდის, ატომების შეყვანა მაკრომოლექსულ ჯევში იწვევს პოლიმერის ტემპერატურული მახასიათებლების გაზრდას.

1,1-დი (4-ოქსი-3-ქლორფუნილ) ფენილეთანის ბაზზე მიღებული პოლი-ეთეროკარბონატების რენტგნოგრაფიულმა ანალიზმა გვიჩვენა, რომ მათ გა-მინიათ ამორფული სტრუქტურა.

სინთეზირებული ფოსფორშემცველი პოლიეთეროკარბონატები არ იწვიან.

SH. A. SAMSONIA, M. G. ZHAMBERASHVILI, G. G. ANDRONIKASHVILI  
I. M. GVERDTSITELI

## SYNTHESIS OF SOME SULPHUR-, CHLORINE- AND PHOSPHORUS CONTAINING POLYESTERCARBONATES

### Summary

Polyestercarbonates were synthesized on the base of phosgene, dichloroaldehyde of methyl-phosphinic acid and sulphur- and phosphorus containing bisphenols of different structure. Mixed polymers of different composition were obtained. Some properties of the synthesized polyestercarbonates were studied. It was shown that introduction of chlorine and sulphur atoms into the composition of copolymer causes a decrease of the latter molecular weight, the molecular weight is sharply decreased with an increase of the introduced amount of chlorine atoms. Studies of temperature characteristics showed that the melting temperatures of mixed polyestercarbonates change additively depending on the initial composition of chloroaldehydes and are between the melting temperatures of the corresponding homopolycarbonates. That shows isomorphous displacement of links. Introduction of chlorine atoms and especially those of sulphur into macromolecule chains increases temperature characteristics of polymers. Roentgenographic analysis of polyestercarbonates on the base of 1,1-di(4-oxy, 3-chlorophenyl) phenylethane, obtained at the molar ratios—phosgene:DCHMPHA—100:0, 80:20, 0:100, showed the amorphous structure of the latter. Synthesized phosphorus containing polyestercarbonates are not combustible.

### ლიტერატურა — REFERENCES

1. Колесников Г. С., Смирнова О. В., Микитаев А. К., Кузина С. И. Высокомолекулярные соединения, А 10, 2 (1961).
2. Смирнова О. В., Самсония Ш. А., Колесников Г. С. Высокомолекулярные соединения, Б 12, 5 (1970).
3. Колесников Г. С., Смирнова О. В., Самсония Ш. А. Сообщения АН ГССР, 61, 2 (1971).
4. Гефтер Е. Л. Фосфорсодержащие мономеры и полимеры, Изд. АН. СССР, 1060.
5. Смирнова О. В., Эль Сайд Ани Хасан, Лосев И. М., Колесников Г. С. Высокомолекулярные соединения, 7, 3 (1965).
6. Колесников Г. С., Смирнова О. В., Самсония Ш. А. Высокомолекулярные соединения, Б 9, 1 (1967).
7. Беллами А. Инфракрасные спектры сложных молекул, Изд. ИЛ, 1963.

УДК 547.677

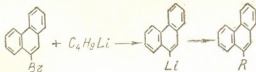
Н. И. ТАБАШИДЗЕ, Л. Д. МЕЛИКАДЗЕ, Ш. Ш. БАРАБАДЗЕ,  
Л. Д. ЦАМАЛАШВИЛИ, М. М. МАЧАБЕЛИ

## СИНТЕЗ НЕКОТОРЫХ 9-ИЗО- и 9,10-ДИИЗОАЛКИЛПРОИЗВОДНЫХ ФЕНАНТРЕНА

В наших ранних исследованиях [1, 2] было рассмотрено действие разных н-алкилиодидов на 9-литий- и 9-алкил-10-литийфенантрена для получения соответствующих 9-алкил- и 9,10-диалкилфенантренов.

Настоящая работа посвящена синтезу некоторых 9-изо- и 9,10-диизоалкилпроизводных фенантрена, которые представляют большой научно-практический интерес как модельные углеводороды для изучения вещественного состава нефти. В литературе нами не найдены данные относительно изоалкилпроизводных фенантрена за исключением 9-изопропилфенантрена, который был синтезирован косвенным путем с весьма малыми выходами и является кристаллическим веществом с температурой плавления 42° [3].

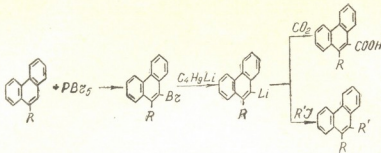
Синтез 9-изоалкилпроизводных фенантрена проводился с помощью метода Б. М. Михайлова [4] по схеме:



где R = изо-C<sub>3</sub>H<sub>7</sub>, изо-C<sub>4</sub>H<sub>9</sub>, изо-C<sub>5</sub>H<sub>11</sub>

Следует отметить, что если в случае н-иодалкилов реакция легко протекает в желаемом направлении и выходы составляют 97—98%, то при действии изо-алкилиодидов реакция идет труднее, и выход целевых продуктов уменьшается. Для 9-изопропил-, 9-изобутил- и 9-изоамилфенантрена выхода соответственно равны 31, 70 и 91%.

Исходные 9-изоалкил-10-бромпроизводные фенантрена синтезировали с помощью взаимодействия 9-изоалкилфенантрена с пятибромистым фосфором. Затем на основе 9-изоалкил-10-бромпроизводного фенантрена и н-бутиллития синтезировали 9-изоалкил-10-литийфенантрены, которые в дальнейшем использовались для получения соответствующих 9,10-диизоалкилпроизводных и 9-изоалкил-10-карбоновых кислот фенантрена, согласно приведенной схеме:



где  $R = \text{изо}-C_4H_9$ ,  $R' = CH_3$  (V);  $R = R' = \text{изо}-C_5H_{11}$  (IX)

Следует отметить, что при синтезе 9,10-диизобутилфенантрена из 9-изобутил-10-литийфенантрена целевой продукт получить не удалось. В результате реакции образовывалась смесь, которая состояла из 9-изобутилфенантрена и отчасти не вошедшего в реакцию 9-изобутил-10-бромфенантрена. Это положение, по-видимому, можно объяснить тем, что радикал изобутила в положении 9 имеет такое пространственное расположение, которое экранирует положение 10 в фенантрене и мешает присоединению второго объемистого радикала изобутила. Этот вывод подтверждается тем, что при замене второго радикала изобутила на меньшие по объему радикалы — водородный, метильный и карбоксильный, были получены соответствующие производные фенантрена-9-изобутил-, 9-изобутил-10-метилфенантрена и 9-изобутил-10-карбоновая кислота фенантрена, причем экранирующий эффект снижается с увеличением н-цепи у изорадикала, как это наблюдается в случае 9,10-дизоамилфенантрена.

Синтезированные новые производные фенантрена характеризовались элементным анализом, температурой кипения и плавления, а строение устанавливалось по ультрафиолетовым и инфракрасным спектрам поглощения.

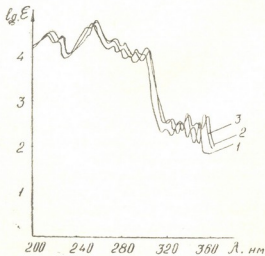


Рис. 1. УФ-спектры поглощения в гексане: 1) 9-изопропилфенантрен,  
2) 9-изобутил-10-метилфенантрена, 3) 9,10-дизоамилфенантрен

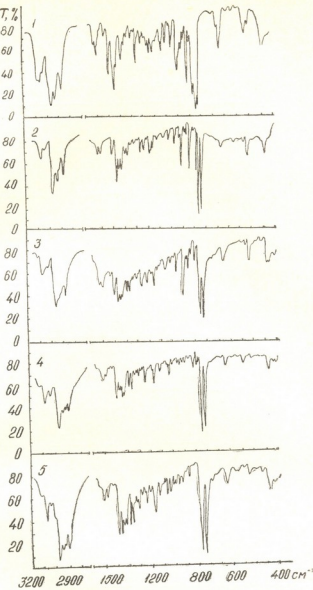


Рис. 2. ИК-спектры: 1) 9-изопропилфенантрен, 2) 9-изобутилфенантрен, 3) 9-изоамилфенантрен, 4) 9-изобутил-10-метилфенантрен, 5) 9,10-дизоамилфенантрен

В таблице 1 приведены некоторые физико-химические характеристики указанных соединений. Из таблицы видно, что синтезированный нами 9-изопропилфенантрен является жидкостью в противоположность кристаллическому продукту, описанному в работе [3], а остальные производные — белые кристаллические вещества.

На рис. 1 и 2 приведены ультрафиолетовые и инфракрасные спектры поглощения некоторых моно- и диизоалкилфенантренов.

УФ-спектры поглощения моноизоалкилфенантренов характерны для фенантреновых углеводородов, имеющих замещение в положении 9. Интенсивность поглощения в области 200—300 нм растет от 9-изопропил- к 9-изоамилфенантрену.

Таблица 1

## Характеристические данные синтезированных соединений

R'	R	Выход, %	Т.пл. или Т. кип. в °C (р. в мм)	Найдено (%)			Формула	Вычислено (%)			Мол. масса	
				C	H	Br		C	H	Br	Найдено	Вычис- лено
H	изо-C <sub>6</sub> H <sub>5</sub>	31	185—187* (3 мм)	92,43	7,32		C <sub>12</sub> H <sub>16</sub>	92,72	7,27		229	220
H	изо-C <sub>6</sub> H <sub>5</sub>	70	95—96	92,43	7,59		C <sub>18</sub> H <sub>16</sub>	92,30	7,69		230	234
Br	изо-C <sub>6</sub> H <sub>5</sub>	71	98—99	68,82	5,50	25,30	C <sub>18</sub> H <sub>12</sub> Br	69,009	5,43	25,53	306	313
COOH	изо-C <sub>6</sub> H <sub>5</sub>	89	130—132	81,92	6,54		C <sub>18</sub> H <sub>10</sub> O <sub>2</sub>	82,01	6,37		280	278
CH <sub>3</sub>	изо-C <sub>6</sub> H <sub>5</sub>	90	95—96	92,21	8,00		C <sub>19</sub> H <sub>18</sub>	91,93	8,06		248	253
H	изо-C <sub>6</sub> H <sub>11</sub>	91	57—58	92,03	8,10		C <sub>19</sub> H <sub>20</sub>	91,93	8,06		250	248
Br	изо-C <sub>6</sub> H <sub>11</sub>	78	85—86	69,80	6,05	24,25	C <sub>19</sub> H <sub>19</sub> Br	69,72	5,81	24,46	325	327
COOH	изо-C <sub>6</sub> H <sub>11</sub>	90	203—204	82,54	7,01		C <sub>20</sub> H <sub>19</sub> O <sub>2</sub>	82,19	6,85		293	292
изо-C <sub>6</sub> H <sub>11</sub>	изо-C <sub>6</sub> H <sub>11</sub>	88	107—108	90,40	9,43		C <sub>24</sub> H <sub>20</sub>	90,56	9,43		320	318

Примечание: \* $\eta_{D}^{20} = 1.1039$ ;  $n_D^{20} = 1.665$ ;  $MR_D = 74.3$ ;  $MR_D$  (выс.) = 74.00



УФ-спектры динозамещенных фенантрена также характерны для изоалкилов фенантреновых производных с заместителями в положение 9 и 10, причем в спектре 9,10-дизоамилфенантрена полосы поглощения в области 200—310 нм имеют батохромный сдвиг по сравнению с полосами 9-изобутил-10-метилфенантрена.

В ИК-спектрах поглощения наблюдаются полосы, характерные для фенантреновых углеводородов с заместителем в положении 9 и соответственно в положениях 9 и 10, а изо-строение алкильных заместителей подтверждается полосами 1170, 1365 и 1385 см<sup>-1</sup> ( $\delta$ —C—(CH<sub>3</sub>)<sub>2</sub>).

## ЭКСПЕРИМЕНТАЛЬНАЯ ЧАСТЬ

**9-изоалкилпроизводные фенантрена.** К фенантиллитию из 16,2 г бутилхлорида, 3, 3 г Li и 25 г 9-бромфенантрена прибавили 60 г эфирного раствора иодалкилов (алкил=изо—C<sub>3</sub>H<sub>7</sub>, изо—C<sub>4</sub>H<sub>9</sub>, изо—C<sub>5</sub>H<sub>11</sub>). Энергичная реакция сопровождалась разогреванием и растворением металлорганического соединения, после чего реакционную смесь нагревали с обратным холодильником 3 часа на водяной бане при 50—60°; затем реакционную смесь промывали водой и растворитель отгоняли. Остаток хроматографировали на Al<sub>2</sub>O<sub>3</sub> в растворе петролейного эфира и кристаллизовали из спирта.

**9-изоалкил-10-бромпроизводные фенантрена.** Смесь 0,092 г-мол. 9-изоалкилфенантрена (изоалкил=изо—C<sub>4</sub>H<sub>9</sub>, изо—C<sub>5</sub>H<sub>11</sub>), 215 мл безводного бензола и 0,092 г-мол мелко растертого пятибромистого фосфора оставляли на 48 часов при комнатной температуре. В течение этого времени весь пятибромистый фосфор переходил в раствор. Бензольный раствор промывали водой, 10% водным раствором соды и снова водой до нейтральной реакции. Бензол отгоняли, и остаток хроматографировали на окиси алюминия в петролейном эфире. Полученные 9-изоалкил-10-бромпроизводные кристаллизовались из спирта.

**9-изоалкил-10-карбоновые кислоты фенантрена.** К эфирному раствору н-бутиллития, который был получен из 2,16 г н-бутилхлорида и 0,4 лития в 30 мл абсолютного эфира, прибавляли 1 г 9-изоалкил-10-бромфенантрена. После 10-минутного встряхивания полученное литийорганическое соединение выливали на размельченную твердую углеводородную кислоту, затем прибавляли воду и эфир. При подкислении водного раствора соляной кислотой выпадали бесцветные кристаллы, которые кристаллизовали из ледяной уксусной кислоты.

**9,10-диалкилфенантрены.** К 9-изоалкил-10-литий фенантрену, прибавляли 44 г эфирного раствора иодизоалкилов (алкил=CH<sub>3</sub>, изо—C<sub>5</sub>H<sub>11</sub>). Энергичная реакция сопровождалась разогреванием и исчезновением металлорганического соединения, после чего смесь выдерживали 3 часа при 50°. Реакционную смесь промывали водой и растворитель отгоняли. Остаток хроматографировали на Al<sub>2</sub>O<sub>3</sub> в растворе петролейного эфира и кристаллизовали из этилового спирта.

УФ-спектры поглощения растворенных в гексане продуктов изучались на спектрофотометрах СФ-4 и «Specord UV VIS». Концентрация растворов 2·10<sup>-3</sup> мол/л. ИК-спектры сняты на спектрофотометре UR-20.

Институт физической и органической  
химии им. П. Г. Меликишивили  
АН ГССР

Поступило 24.IX.1976



### რეზიუმე

განხილულია ფენანტრენის ზოგიერთი 9-იზო- და 9,10-დიიზოალკილური-  
 მოქმედულების სინთეზი.

9-იზოალკილურმოქმედულების სინთეზი ჩატარებულია ბ. მიხაილოვის მე-  
 თოლით — 9-ლითოუმფენანტრენზე იზოალკილობდიდების მოქმედებით.

გამოსავალ პროცესებს — ფენანტრენის 9-იზოალკილ-10-ბრომფარმო-  
 ებულებს ვლებულობდით 9-იზოალკილურმოქმედულებზე ხუთ ბრომიანი ფოს-  
 ფორის მოქმედებით. შემდეგ 9-იზოალკილ-10-ბრომ-ფენანტრენზე ნ-ბუთილ-  
 ლითოუმის მოქმედებით ვლებულობდით ფენანტრენის 9-იზოალკილ-10-ლი-  
 თიუმფარმოქმედულებს, რომლებიც გამოიყენებოდა ფენანტრენის შესაბამისი  
 9,10-დიიზოალკილ- და 9-იზოალკილ-10-კარბონმჟავა — წარმოებულის მისაღებად.

შემჩნეული იყო, რომ 9,10-დიიზობუთილის სინთეზის დროს 9-იზობუ-  
 თილ-10-ლითოუმფენანტრენიდან მიზნობრივი პროცესი არ მიღებოდა. ეს  
 ფაქტი ასხსნება იმით, რომ იზობუთილის რადიკალს 9 მდგომარეობაში აქვს  
 სიეთი სივრცობრივი განლაგება, რომელიც ახდენს ფენანტრენში 10 მდგომა-  
 რეობის ექანირებას და ხელს უშლის მეორე მოცულობით დაიდი იზობუთი-  
 ლის რადიკალის მიერთებას. ეს დასკვნა მტკიცდება იმითაც, რომ მეორე იზო-  
 ბუთილის რადიკალის შეცვლით მცირე მოცულობის მჭონე რადიკალებით —  
 წყალბადით, მეთილით და კარბოქსილით, მიღებული იქნა შესაბამისი ფენან-  
 ტრენის წარმოებულები — 9-იზობუთილ-, 9-იზობუთილ-10-მეთილ- და 9-იზო-  
 ბუთილ-10-კარბონმჟავა ფენანტრენი.

ცკრანირების ეფექტი მცირდება ნ — გატვის გაზრდით იზორადიკალში, რაც შეიმჩნეულია 9,10-დიიზომილის მიღების შემთხვევაში.

შედებული ფენანტრენის ახალი წარმოებულები დანასიათებულია ელემენ-  
 ტური ანალიზით, დუღილისა და ლორბის ტემპერატურებით, მოლექულური  
 წონით, ხოლო აგებულება დადგენილი იყო ულტრაიისფერი და ინფრაწითე-  
 ლი შთანთქმის სპექტრებით.

N. I. TABASHIDZE, L. D. MELIKADZE, L. D. TSAMALASHVILI,  
 M. M. MACHABELI, BARABADZE SH. SH.

### SYNTHESIS OF SOME 9-ISO AND 9,10-DIISOALKYL DERIVATIVES OF PHENANTHRENE

#### Summary

This paper deals with synthesis of some 9-iso- and 9,10-diisoalkyl derivatives of phenanthrene.

Synthesis of 9-isoalkyl derivatives of phenanthrene was made using the method of B. M. Mikhailov, i. e. by acting of isoalkyl iodides on 9-lithiumphenanthrene.

Initial 9-isoalkyl-10-bromo derivatives of phenanthrene were synthesized by interaction of isoalkylphenanthrene with pentabrominated phospho-



rus. Then 9-isoalkyl-10-lithiumphenanthrenes were synthesized on the basis of 9-isoalkyl-10-bromo derivative phenanthrene. The synthesized products were used for the further production of corresponding 9,10-diisoalkyl derivatives and 9-isocalkil-10-carboxylic acids of phenanthrene.

It was noted that at the synthesis of 9,10-diisobutyl phenanthrene from 9-isobutyl-10-lithium phenanthrene the desired product is not obtained. That is explained by isobutyl radical having such spatial position 9 which screens position 10 in phenanthrene and prevents addition of the second bulky isobutyl radical. This conclusion is also confirmed by the fact that when the second isobutyl radical is replaced by smaller by volume radicals:—hydrogen, methyl and carboxyl radicals, the corresponding derivatives of phenanthrene were obtained—9-isobutyl-, 9-isobutyl-10-methylphenanthrene and 9-isobutyl-10-carboxylic acid of phenanthrene. The effect of screening is decreased with increasing n-chain of isoradical, as it is observed in case of 9,10-diisooamylphenanthrene.

Synthesized new derivatives of phenanthrene were characterized by element analysis, boiling temperature and melting temperature, the structure was determined by UV- and IR-spectra.

#### ЛІТЕРАТУРА — REFERENCES

1. Ногайдели А. И., Табашидзе Н. И., Абхазава И. И. Ж. орг. х., 4, 104 (1968).
  2. Ногайдели А. И., Табашидзе Н. И. Ж. орг. х., 5, 732 (1969).
  3. Bradtscher C. K., Amode S. T. J. Am. Chem. Soc., 63, 493 (1941).
  4. Михайлов Б. М., Чернова Н. Г. ЖОХ. 21, 1517 (1951).
-



УДК 546.1

А. И. КАХИШВИЛИ, Л. И. ДЖИБЛАДЗЕ

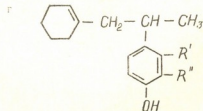
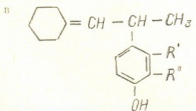
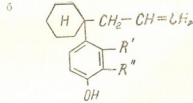
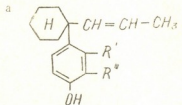
## ВЗАИМОДЕЙСТВИЕ 1-АЛЛИЛЦИКЛОГЕКСАНОЛА-1 С ФЕНОЛАМИ В ПРИСУТСТВИИ ФОСФОРНОЙ КИСЛОТЫ

Нами впервые изучены реакции конденсации третичных аллилкарбинолов с фенолами в присутствии фосфорной кислоты [1, 2]. Установлено, что в случае диметил- и метилэтилаллилкарбинолов происходит легкодегидратация исходного спирта, и к полученному диеновому углеводороду фенолы присоединяются в разных положениях. В результате получаются смеси алкилфенолов.

Интересно было выяснить, какое влияние окажет на ход реакции замена ациклического радикала на циклический. С этой целью были изучены реакции взаимодействия 1-аллилциклогексанола-1 с фенолом, орто- и мета-крезолами. В результате реакции, помимо моноалкилфенолов в случае фенола и мета-крезола, получены продукты циклизации орто-изомеров.

Методом тонкослойной хроматографии установлено наличие в монозамещенных фенолах орто- и пара-изомеров.  $R_f$  орто-продуктов — 0,55, а пара-продуктов — 0,30. Во всех случаях ортоизомеры присутствуют в виде следов. Препаративной хроматографией на тонком слое оксида алюминия выделены соответствующие пара-замещенные алкилфенолы.

Таким образом, в результате реакции могли бы образоваться следующие пара-замещенные изомеры:



При рассмотрении ПМР-спектров этих соединений видно, что при двойной связи находится один протон, что указывает на отсутствие изо-



меров типа (а) и (б). Отсутствие изомеров типа (б) подтверждено также и тем, что в ПМР-спектрах не присутствуют сигналы протонов концевой винильной группы в области 4,5 м. д., а в ИК-спектрах не наблюдаются полосы поглощения в области 3090, 990, 910 см<sup>-1</sup>.

В ПМР-спектрах наблюдаются характерные сигналы протонов фенильного ядра ( $\delta=6,6$  м. д.); —CH<sub>3</sub> ( $\delta=2,09$  м. д.); протонов радикала циклогексана ( $\delta=1,25-1,95$ ); —CH<sub>2</sub>—CH— и CH<sub>3</sub>—CH—групп ( $\delta=0,8$  и 1,09 м. р.) (рис. 1).

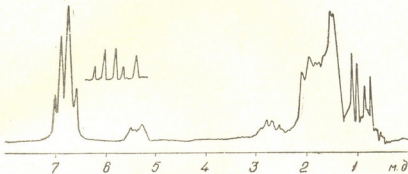
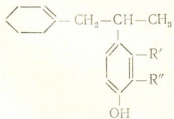


Рис. 1. ПМР-спектры продуктов взаимодействия I-аллилциклогексанола-I с фенолом

Следует отметить, что в ПМР-спектрах не наблюдаются характерные сигналы протонов метиновой группы, одновременно связанной с ароматическим ядром и двойной связью в области 3,5 м. д., что указывает на отсутствие в конденсатах изомеров типа (в) (рис. 1).

В ПМР-спектрах отчетливо выявляется сигнал протона метиновой группы, связанной с ароматическим кольцом в области 2,7 м. д.

Эти факты убедительно говорят о том, что во всех случаях алкилирования фенолов I-аллилциклогексанолом-1, выделенные алкилфенолы являются веществами следующего строения:



К такому же выводу привело нас ИК-спектроскопическое исследование. В ИК-спектрах пара-замещенной ароматической системе соответствуют полосы поглощения в области 3050, 3030, 1615, 1510, 1460, 810 см<sup>-1</sup>, а в области 3080, 990, 910 см<sup>-1</sup> отсутствуют полосы поглощения концевой винильной группы.

Результаты ИК- и ПМР-спектроскопических исследований еще раз подтверждены химическими превращениями. Наличие одной двойной связи доказано гидрированием, а строение боковой цепи — окислением метиловых эфиров пара-алкилфенолов. В результате окисления выделены адипиновая кислота и соответствующие пара-метоксибензойные кислоты.

Из нейтральной части в случае фенола выделен 4-метил-2-циклогексилиден хроман, а в случае м-крезола — 4,7-диметил-2-циклогексилиден хроман:



Строение полученных веществ доказано ИК- и ПМР-спектроскопическими исследованиями. В ИК-спектрах отсутствуют полосы поглощения гидроксильной группы в области  $2300\text{--}3600\text{ см}^{-1}$ , а в ПМР-спектрах — сигнал протонов при двойной связи (5,5 м. д.). Метинному протону, связанному с ароматическим ядром, принадлежит сложный мультиплет в области 2,7 м. д., а в области 1,3, 2,1, 1,1 м. д. наблюдаются сигналы от протонов циклогексильного и метильного радикалов (рис. 2).

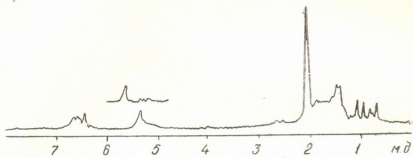


Рис. 2. ПМР-спектры продуктов взаимодействия 1-аллилциклогексанола-1 с о-крезолом

**Взаимодействие 1-аллилциклогексанола-1 с фенолами.** Реагирующие вещества были взяты в молярных соотношениях 1:1, фосфорная кислота — в количестве 150 % от исходного фенола. Реакция проводилась в условиях, описанных ранее [1, 2]. В результате из кислых продуктов реакции была выделена смесь о- и п-изомеров соответствующих фенолов. Выход продуктов реакции в случае фенола — 43,5 %, для о-крезола — 40,1 %, для м-крезола — 58,8 %. Хроматографированием на тонком слое окиси алюминия выделены соответствующие пара-замещенные алкилфенолы (I, V, VIII).

Из нейтральной части в случае фенола и м-крезола после отгонки эфира выделены продукты циклизации (II, IX). Выход для фенола — 10,2 %, в случае м-крезола — 8,2 %.

**Гидрирование пара-продуктов (I), (V), (VIII).** 2 г вещества (I) растворялось в 30 мл спирта, добавлялся катализатор (никель Ренея), поглощалось требуемое количество водорода. После отгонки спирта продукт перегонялся в вакууме. Получалось 1,8 г (72 %) предельного производного (III).

Аналогично было проведено гидрирование продуктов (V) и (VIII). В случае о-крезола выделен алкилфенол (VI) (выход 75 %), а в случае м-крезола с выходом 73,3 % выделен соответствующий предельный продукт (X).

Таблица 1

## Характеристика полученных соединений

№ сочд.	Соединения	выход, %	т. кип. (Р. мм)	$d_{4}^{10}$	$1^{\text{H}}\text{D}$	MR <sub>D</sub>		найдено, %		Формула	Элементный анализ, %
						найд.	вычис.	C	H		
I	2-(4-оксифенил)-3-(α-циклогексен)-пропан	22,3	157—159 (3)	1,0149	1,5400	66,76	66,85	82,73 83,61	9,73 10,10	$\text{C}_{19}\text{H}_{22}\text{O}$	83,3 9,2
II	4-метил-2-циклогексенилidenхроман	10,7	134—136 (2)	1,0168	1,5290	65,53	65,52	83,56 83,71	9,41 9,93	$\text{C}_{19}\text{H}_{20}\text{O}$	83,3 9,2
III	2-(4-оксифенил)-3-циклогексилпропан	81,1	147—148 (2)	1,0103	1,5280	66,81	67,32	83,17 82,94	10,13 10,42	$\text{C}_{20}\text{H}_{22}\text{O}$	82,5 10,69
IV	2-(4-метоксифенил)-3-(α-циклогексен)-пропан	74,02	137—138 (1,5)	0,9846	1,5250	72,04	71,75	84,75 84,83	9,90 9,43	$\text{C}_{18}\text{H}_{20}\text{O}$	81,4 9,5
V	2-(3-метил-4-оксифенил)-3-(α-циклогексен)пропан	35,0	155—156 (2)	1,0216	1,5300	71,49	70,8	83,15 82,72	9,60 9,80	$\text{C}_{19}\text{H}_{22}\text{O}$	83,47 9,5
VI	2-(3-метил-4-оксифенил)-3-циклогексилпропан	75,0	154 (3)	1,0128	1,5330	71,48	71,24	82,74 82,83	10,89 10,30	$\text{C}_{19}\text{H}_{24}\text{O}$	82,76 10,34
VII	2-(3-метил-4-метоксифенил)-(α-циклогексен)пропан	68,6	150—151 (2,5)	1,0013	1,5332	75,65	75,70	84,33 84,28	10,21 10,48	$\text{C}_{19}\text{H}_{24}\text{O}$	83,6 9,84
VIII	2-(2-метил-4-оксифенил)-3-(α-циклогексен)пропан	42,5	146—147 (1)	1,0149	1,6472	71,49	70,84	83,79 83,53	9,49 9,64	$\text{C}_{19}\text{H}_{22}\text{O}$	83,47 9,5
IX	4,7-диметил-2-циклогексалиденхроман	9,1	134—135 (2)	1,0108	1,5300	70,76	70,60	83,80 83,50	9,81 9,75	$\text{C}_{20}\text{H}_{22}\text{O}$	83,47 9,5
X	2-(2-метил-4-оксифенил)-3-циклогексилпропан	73,3	138 (1)	1,0029	1,5145	71,15	71,24	82,54 82,49	10,41 10,38	$\text{C}_{20}\text{H}_{22}\text{O}$	82,76 10,34
XI	2-(2-метил-4-метоксифенил)-3-(α-циклогексен)пропан	66,9	130—131 (1)	0,9905	1,5385	75,43	75,70	84,32 84,17	9,40 9,58	$\text{C}_{21}\text{H}_{24}\text{O}$	83,6 9,84

ХИМИЧЕСКИЕ  
СВОЙСТВА  
ПРОДУКТОВ

Метилирование пара-продуктов (I), (V), (VIII). Метилирование проводили в аналогичных условиях [1, 2]. Получены соответствующие метиловые эфиры (IV, VII, XI).

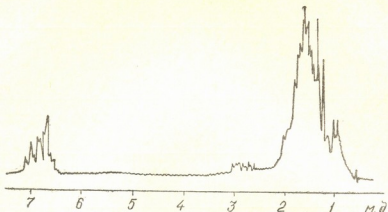


Рис. 3. ПМР-спектр 4-метил-2-циклогексенилденхромана

**Окисление метиловых эфиров (IV), (VII), (XI) перманганатом калия.** Реакция проводилась в ранее описанных условиях [1, 2]. В результате анализа продуктов окисления обнаружены адипиновая кислота с т. пл. 151—153° (проба смешения с известным образцом депрессии температуры плавления не дала) и соответствующие метоксибензойные кислоты: п-метоксибензойная кислота с т. пл. 181—182° — в случае фенола, 3-метил-4-метоксибензойная кислота с т. пл. 181—182° — в случае о-крезола, 2-метил-4-метоксибензойная кислота с т. пл. 180—182° — в случае м-крезола.

После осаждения кристаллических кислот фильтрат перегоняли, но в дистилляте не обнаружены ни муравьиная [3], ни уксусная [4] кислоты.

Тбилисский государственный  
университет

Поступило 1.VI.1976

Л. А. АБДУЛАЕВИ, Л. ЗИДЛЯДО

1-ალილციკლოპენზ-1-ის ურთიერთქმედება ფენოლ-  
თან, მ- და მ-კრეზოლებთან ფოსფორმეტას თანდასწრებით. დადგენილია, რომ რეაქციის ძირითად პროცესტს წარმოადგენს პარა-ალკილფენოლი. თხელ-  
ფენოვანი ქრომატოგრაფიის შეთვიდით დადგენილია, რომ ორთო-იზომერი წარმოდგენილია კვალის სახით, ორთო-პროდუქტების  $R_f$  — 0,55, პარა-პრო-  
დუქტებისა — 0,30 (ალუმინის უანგზე, სისტემა ბენზოლი: მეთანოლი — 9:1). თხელფენოვანი ქრომატოგრაფიით გამოყოფილია შესაბამისი პარა-ჩინაცვლე-  
ბული ალკილ-ფენოლები.

რეზიუმე

შესწავლილია 1-ალილციკლოპენზ-1-ის ურთიერთქმედება ფენოლ-  
თან, მ- და მ-კრეზოლებთან ფოსფორმეტას თანდასწრებით. დადგენილია, რომ რეაქციის ძირითად პროცესტს წარმოადგენს პარა-ალკილფენოლი. თხელ-  
ფენოვანი ქრომატოგრაფიის შეთვიდით დადგენილია, რომ ორთო-იზომერი წარმოდგენილია კვალის სახით, ორთო-პროდუქტების  $R_f$  — 0,55, პარა-პრო-  
დუქტებისა — 0,30 (ალუმინის უანგზე, სისტემა ბენზოლი: მეთანოლი — 9:1). თხელფენოვანი ქრომატოგრაფიით გამოყოფილია შესაბამისი პარა-ჩინაცვლე-  
ბული ალკილ-ფენოლები.

იზ-და პმრ-ს ცექტრებით დადგენილია, რომ მიღებული პარა-ალკინული ფენოლები არიან ინდივიდუალური ნივთიერებები, კერძოდ, ფენოლის პრეცენტული კენაში — 2(4-ოქსიფენილ 3-( $\alpha$ -ციკლოპენესენ)-პროპანი, ო-კრეზოლის ნახატ-მია — 2(3-მეთილ-4-ოქსიფენილ)-3-( $\alpha$ -ციკლოპენესენ)-პროპანი, ხოლო მ-კრე-ზოლისა — 2(2-მეთილ-4-ოქსიფენილ)-3-( $\alpha$ -ციკლოპენესენ)-პროპანი.

ჩატარებულია პარა-ალკინულფენოლების გარდაქმნები.

კატალიზიური ჰიდრირებით შთანთქა ერთი მოლი წყალბადი, რაც მიგვი-თითქმს ნაერთში ერთი ორმაგი გმის არსებობაზე. რეაქციის შედეგად წარმო-იქნა შესაბამისი ნაჯერი ალკინულფენოლები. დიმეთილსულფატით შეთილორე-ბის შედეგად გამოყოფილია შესაბამისი მეთილის ეთერები, რომელთა დაუან-გვის შედეგად გამოყოფილი ნაერთების იდენტიფიკაციით კიდევ ერთხელ დად-გინდა პარა-ალკინულფენოლების აგებულება.

A. I. KAKHNIA SHVILI, L. I. JIBLADZE

## INTERACTION BETWEEN 1-ALLYLCYCLOHEXANOL AND PHENOLS IN THE PRESENCE OF PHOSPHORIC ACID

### Summary

Interaction of 1-allylcyclohexanol with phenol o- and m-cresols in the presence of phosphoric acid was studied. It was established that the main product of the reaction is paraalkylphenol. It was found using the method of thin layer chromatography that o-isomer is present in the form of traces. There are R, o-products-0,55 and p-products-0,30 (on alumina oxide, the system benzene:methanol 9:1). The corresponding para-substituted alkylphenols were isolated by thin layer chromatography.

IR- and PMR spectra showed that the obtained para-alkylphenols are individual substances, namely, in the case of phenol-2(4-oxyphenyl)-3-(cyclohexane)-propane, the derivative of o-creozol-2(3-methyl-4-oxyphenyl)-3-( $\alpha$ -cyclohexane)-propane and of m-creozol-2(2-methyl-4-oxyphenyl)-3( $\alpha$ -cyclohexane)-propane.

Transformations of para-alkylphenols were made.

At the catalytic hydrogenation 1 mole of hydrogen was absorbed indicating the presence of one double bond in the product. As a result the corresponding saturated alkylphenols were obtained. The corresponding methyl ethers were isolated by methylation, at their oxidation substances were isolated and their identification once more proved the structure of p-alkylphenols.

### ლიტერატურა — ЛИТЕРАТУРА — REFERENCES

1. ქახნიაშვილი ა. ი., ჯიბლაძე ლ. ი., იორამაშვილ დ. შ. ცე-ია. ა. ნ. სსრ, 61, 65 (1971).
2. ქახნიაშვილი ა. ი., ჯიბლაძე ლ. ი., იორამაშვილ დ. შ. ჯორგ. ხI, 2247 (1971).
3. ფაიგლ ფ. კალъный анализ органических веществ. М., 301 (1962).
4. ბაუერ კ. Анализ органических соединений. М., 240 (1957).

## ФИЗИЧЕСКАЯ ХИМИЯ

УДК 661.183.6:543.544

Г. В. ЦИЦИШВИЛИ, Н. А. ОСИПОВА, Т. Г. АНДРОНИКАШВИЛИ,  
Ш. Д. САБЕЛАШВИЛИ

### ХРОМАТОГРАФИЧЕСКИЕ СВОЙСТВА СИНТЕТИЧЕСКОГО ЭРИОНИТА, ОБОГАЩЕННОГО КАТИОНАМИ ЩЕЛОЧНО- ЗЕМЕЛЬНЫХ МЕТАЛЛОВ

Эрионит относится к высококремнистым цеолитам, ибо отношение двуокиси кремния к окиси алюминия в эрионите выше 5 [1]. Катионный состав ячейки природного эрионита меняется в значительном диапазоне, встречаются образцы, богатые кальцием, натрием или калием [2]. Синтетический эрионит впервые был изучен Бреком и Акара [3]. Эберили путем адсорбционных исследований определил, что эффективный диаметр входных окон природного эрионита равен 4,5—6,4 Å [4]. Показано, что катионообменная модификация эрионита позволяет в значительной степени изменять его молекулярно-ситовые свойства [5]. Однако в литературе практически нет работ по исследованию влияния природы катионов, входящих в состав эрионита, на его хроматографические свойства.

В настоящей работе исследованы хроматографические свойства синтетического эрионита, модифицированного катиочами магния, кальция, стронция, бария и кадмия. Исходным образцом служила калий-натриевая форма синтетического эрионита производства Горьковского опытного завода ВНИИНП. Эта форма обогащалась вышеуказанными катионами путем реакций ионного обмена (шестикратной обработкой 1 н растворами соответствующих хлоридов). Ионный обмен проводился при комнатной температуре. Для загрузки хроматографической колонки из исходной формы эрионита, а также модифицированных образцов, без добавки связующего, изготавливались прессованием гранулы зернем 0,5—1 мм.

После предварительной термической активации при 500° в течение двух-трех часов образцы загружались в U-образную колонку (длина 100 см, диаметр 0,3 см) хроматографа марки «Цвет-3».

В качестве модельной смеси применялась смесь, состоящая из окиси углерода, углеводородных газов C<sub>1</sub>—C<sub>4</sub>, т. е. таких соединений молекулы, которых по своим геометрическим размерам могут проникнуть в полости эрионита. Газом-носителем служил гелий (скорость—50 мл/мин).

На основании полученного экспериментального материала были определены удерживаемые объемы индивидуальных соединений, входящих в состав модельных смесей (таблица 1).

Как видно из данных, приведенных в таблице 1, природа катиона, входящего в состав цеолита, оказывает значительное влияние на величины удерживаемых объемов исследованных соединений. В некоторых случаях имеет место заметное возрастание величин удерживаемых объемов ряда соединений по сравнению с исходными образцами. Одна-



ко катионы эрионита проявляют определенную специфичность и в ряде, адренозина при этом, адренозина по отношению к предельным углеводородам, в основном, увеличивается

Таблица 1  
Удельные удерживаемые объемы CO и углеводородных газов C<sub>1</sub>—C<sub>4</sub>

Соединения	Температура колонки, °C	NaЭ	MgЭ	CaЭ	SrЭ	BaЭ	CdЭ
Метан	40	30,5	31,8	59,6	50,6	105,3	60,9
	60	15,6	19,2	27,7	29,8	50,3	27,6
Этан	100	130,8	157,4	246,6	179,2	500,0	304,4
	120	83,8	83,2	92,5	131,3	253,0	151,8
Пропан	180	45,3	55,2	96,0	127,2	232,6	103,6
	200	20,6	31,6	55,8	77,2	138,1	—
Бутан	260	32,8	23,9	50,0	51,2	75,8	55,3
	280	20,2	14,3	29,0	29,9	39,6	34,4
Окись углерода	40	11,3	490,0	226,2	85,1	102,8	977,0
	60	5,8	187,4	105,7	35,3	44,4	309,0
Этилен	180	39,1	—	47,4	121,8	202,6	—
	200	19,5	89,6	30,7	66,2	129,7	—
Пропилен	240	59,3	151,9	35,7	93,8	303,2	—
	200	34,8	55,9	44,1	85,3	151,6	—

с утяжелением катиона: Mg < Ca < Sr < Cd < Ba. При этом вышеуказанная последовательность в ряде не зависит от температуры нагрева хроматографической колонки. Это вполне объяснимо, так как адсорбционные взаимодействия предельных углеводородов с катионированной «поверхностью» цеолита в основном вызваны дисперсионными и поляризационными силами, которые не зависят от температуры и растут по мере утяжеления катиона.

Нами была предпринята попытка построить такие ряды селективности и для окиси углерода и ненасыщенных углеводородов. Однако последовательность расположения этих соединений в рядах селективности носит весьма приближенный характер и зависит от многих факторов. Во-первых, от температуры нагрева колонки. Известно, что взаимодействие непредельных углеводородов, а также окиси углерода, характеризующихся наличием в молекуле π-связей и постоянного dipольного момента, с катионированной «поверхностью» цеолита, обусловлено не только дисперсионными и поляризационными силами, но и электростатическими. Последние усиливаются с уменьшением радиуса катиона, но в значительной мере ослабевают с ростом температуры нагрева колонки. Поэтому при высоких температурах нагрева колонки роль электростатических взаимодействий уменьшается и доминирующее влияние на характер взаимодействия оказывают дисперсионные и поляризационные силы, которые наиболее сильно проявляются у «тяжелых» катионов. Нами были составлены такие ряды селективности для CO при температуре ниже 100°C:



и для этилена и пропилена при сравнительно высоких температурах нагрева колонки соответственно при 160° и 200°





Во-вторых, следует отметить, что времена удерживания этих ~~веществ~~  
нений, которые в конечном итоге определяют их селективность, зависят в значительной мере от числа вводимых проб отдельного соединения. Так, если в хроматографическую колонку, заполненную

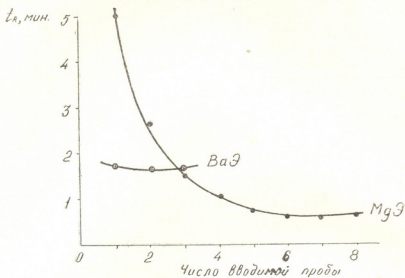


Рис. 1. Зависимость времен удерживания окиси углерода от числа вводимых проб на магний- и барийсодержащем эрионите. Скорость газа-носителя — 50 мл/мин

эрионитом, содержащим катионы магния, кальция, стронция, кадмия, и нагретую при определенной температуре, последовательно вводить от-

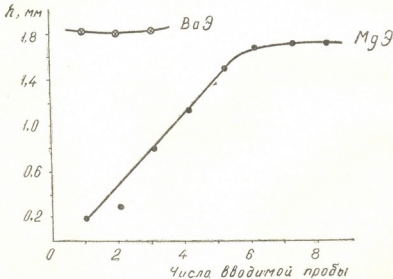


Рис. 2. Зависимость высоты пика окиси углерода на хроматограмме от числа вводимых проб. Эрионит-, магний- и барийзамещенные формы. Скорость газа-носителя — 50 мл/мин

дельные пробы окиси углерода или непредельных углеводородов, то время их удерживания постепенно будет уменьшаться, пока не достигнет определенного стабильного значения. После повторной терми-



ческой активации эрионита в потоке газа-носителя замечено явление вновь повторяется. Это свойство в значительной мере определяется природой катиона. Так, стабилизация времен удерживаний на магнийсодержащем эрионите наступает после многократного введения пробы, в то время как замеченное явление практически отсутствует для образцов, обогащенных катионами бария, а также для исходной калий-натриевой формы. На рис. 1 приведена зависимость времен удерживания окиси углерода от числа вводимых проб на  $Mg^{2+}$ - и  $Ba^{2+}$ -содержащих эрионитах.

Такое поведение следует, по-видимому, связать с тем фактом, что  $Mg^{2+}$ -,  $Ca^{2+}$ -,  $Sr^{2+}$ -,  $Cd^{2+}$ -содержащих эрионитах в начале эксперимента происходит частичное необратимое поглощение соединений, о чем свидетельствуют низкие высоты соответствующих пиков на хромато-

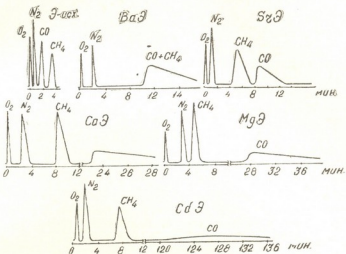


Рис. 3. Хроматограммы разделения бинарной смеси «метан — окись углерода» на исходной форме эрионита и на образцах, соответственно обогащенных катионами бария, стронция, кальция, магния и кадмия.

Температура колонки — 40°. Скорость газа - носителя — 50 мл/мин

граммах. После введения определенного числа проб высота пика возрастает и достигает постоянной величины (рис. 2). Для исходной формы эрионита, а также для образцов, модифицированных катионами бария, последовательность элюирования отдельных компонентов исследованной модельной смеси не зависит от температуры нагрева колонки и от количества вводимой пробы, что не свойственно кальций-, магний-, кадмий- и стронций-замещенным модификациям. На исходной форме эрионита имеет место разделение бинарной смеси «окись углерода—метан» с указанной последовательностью элюирования компонентов. Это, по-видимому, следует связать с тем фактом, что исходная форма в своем составе содержит, в основном, катионы калия. Последние же проявляют большую селективность к метану [6]. На образцах, модифицированных катионами магния, кальция, стронция, кадмия, также происходит разделение вышеуказанной смеси, но только с обратной последовательностью элюирования компонентов (рис. 3). Это вызвано тем, что для этих катионов характерна большая специфичность к соединениям, которым свойственно наличие π-связей и дипольных моментов. Критерий селективности этой бинарной смеси умень-



шается с утяжелением катионов элементов, входящих в состав <sup>14</sup>Ca, <sup>15</sup>Ca, <sup>16</sup>Ca, <sup>17</sup>Ca, <sup>18</sup>Ca, <sup>19</sup>Ca, <sup>20</sup>Ca подгруппы второй группы периодической системы (табл. 2).

Большое значение  $K_c$  на кадмийзамещенной форме эрионита, по-видимому, следует объяснять способностью катиона кадмия входить в сильные специфические взаимодействия с окисью углерода [7]. На ба-

Таблица  
Критерий селективности ( $K_c$ ) бинарной смеси метан-окись углерода на молибденированных флюмах эриопита. Температура колонки—40°C

KNaЭ	MgЭ	CaЭ	SrЭ	BaЭ	CdЭ
0,46	0,88	0,58	0,25	0,01	0,88

рийзамещенной форме фактически не имеет место разделение этой смеси (рис. 3), однако, на этой форме компоненты смеси вымываются в обратной последовательности, т. е. сначала элюируется окись углерода, а затем — метан. Это вообще нехарактерно для барийсодержащих форм цеолитов типа X и Y. По всей вероятности, как и в случае эрионита, обогащенного катионами калия, и на барийзамещенной форме возрастает доля влияния дисперсионных и поляризационных взаимодействий, приводящих к возрастанию удерживаемых объемов метана. Конечно, определенную роль играет не только природа катиона бария, но и его расположение в решетке цеолита, а также своеобразие структуры эрионита.

Из приведенных данных следует, что структура эрионита, а также природа катионов, входящих в состав элементарной ячейки цеолита, оказывают влияние на хроматографические свойства эрионита и делают их отличными от других типов цеолитов.

Институт физической и органической  
химии им. П. Г. Меликишвили  
АН ГССР

Поступило 23.IX.1975

3. ՀԱՅՈՒԹՅՈՒՆ, 6. ՄԻԱՅՐԵԱ, 7. ՎԵՏՐԵՐԵՎԱՅՅՈՒՆ, 8. ՎԻՇՎԱՅՅՈՒՆ

**କେତେବେଳେ ପାରାଲ୍‌ଗାନ୍ ପାଠିବାରେ ଯଦୀକୁ କାହାରେବେଳେ କାହାରେବେଳେ କାହାରେବେଳେ**

၄၁၈

შესაწევლილია მაღალსილიციუმიანი ცეკლიტის — სინთეზური ერთობის მაგნიტის, კალციუმის, სტრონციუმის, ბარიუმის და კადმიუმის კათონებით მოდიფიცირებული ფორმების ქრომატოგრაფული თვალისებები. მოდელურ ნახევად გამოყენებულია ნახშირენგვისა და C<sub>1</sub>—C<sub>4</sub> ნახშირწყალბალების ნარჩევი.

ქრომატოგრაფიული სცეტის სიგრძე 100 სმ, დიამეტრი — 0,3 სმ, ცენტრის გრანულების ზომა — 0,5—1,0 მმ. აქტივაციის რეაქტორის ცენტრით განვითარება 500-ზე 2—3 საათის განმავლობაში. აირ-მატარებელი — ჰელიუმი (სიჩქარე — 50 მლ/წთ.).

ବାହୀନ୍ଦ୍ରଙ୍କିତ ଏବଂ ପରିବାରଙ୍କିତ ମହାଶ୍ଵର ପାଦରେ ଉପରେ ବାହୀନ୍ଦ୍ରଙ୍କିତ ଏବଂ ପରିବାରଙ୍କିତ ମହାଶ୍ଵର ପାଦରେ ଉପରେ



(Mg < Ca < Sr < Cd < Ba). მიღებული სელექტურობის მუკრივი არ არის დამზადებული ქრომატოგრაფიული სეტის გახურების ტეპერატურაზე.

CO და უგერი ნახშირწყალბადებისათვის შედგენილი სელექტურობის მუკრივები გამოიჩინებიან ერთგვარი მიახლოებითობით და დამოკიდებული არიან მრავალ ფატორზე, როგორიცაა სეტის გახურების ტეპერატურა, ცალკეული ნივთებრებების შეყვანილი სინგების რიცხვი. გამოკიდეულია, რომ ნახშირწყალის, ეთილენისა და პროპილენის შესაბამისი პიკების სიმაღლე ქრომატოგრამაზე და მათი შეკავებითი დრო მაგნიუმის, კალციუმის, სტრინციუმის და კადმიუმის კათიონების შემცველ ერთონიტზე მნიშვნელოვნად არის დამოკიდებული აღნიშნული კომპონენტების შეყვანილი სინგების რიცხვზე. ეს უკანასკნელი არ შეიძინება ბარიუმით გამდიდრებულ ცეოლითის ფორმაზე. ერთონიტში შემავალი კათიონის ბუნება დიდ გავლენას ახდენს აგრძელებულ ნარევის „მეთანი-ნახშირწყანგის“ ელუირების თანმიმდევრობაზე. აღნიშნული თანმიმდევრობით ისინი ქრომატოგრაფიული სვერტიან ელუირებიან მაგნიუმის, კალციუმის, სტრინციუმისა და კადმიუმის შემცველ ერთონიტზე.

ერთონიტის საწყისი ფორმისა (გამდიდრებული K-ის კათიონებით) და ბარიუმის კათიონების შემცველ ფორმისათვის ვვაქვს აღნიშნული კომპონენტების ელუირების შეგრუნებული მუკრივი.

G. V. TSITSISHVILI, N. A. OSIPOVA, T. G. ANDRONIKASHVILI,  
SH. D. SABELASHVILI

## CHROMATOGRAPHIC PROPERTIES OF SYNTHETIC ERIONITE ENRICHED WITH CATIONS ALKALI EARTH MATALS

### Summary

Chromatographic properties of high siliceous zeolite, synthetic erionite modified, with cations of magnesium, calcium, strontium, barium and cadmium, have been studied.

A mixture of hydrocarbon gases  $C_1 - C_4$  and carbon monoxide was used as a model one. The chromatographic column was 100cm long, its diameter 0,3 cm, gramine sizes 0,5 to 1 mm. The regime of activation was calcination of zeolites at 500°C for two—three hours. The gas carrier was helium (the rate was 50 ml/min).

It was shown that selectivity of erionite with respect to saturated hydrocarbons is in the main, increased with the cation becoming in the following row Mg, Ca, Sr, Cd, Ba.

The above mentioned sequence does not depend on the temperature of chromatographic column heating.

The rows of selectivity for carbon monoxide and unsaturated hydrocarbons are of a very approximate character and depend on many factors (temperature of column heating, number of put in samples).

It was found that retention times of carbon monoxide, ethylene, propylene on samples containing magnesium, calcium, strontium and cadmium



depend on the number of put in samples of the mentioned components.<sup>22</sup> Such a phenomenon is not characteristic of barium substituted form.<sup>23</sup>

The nature of the cation entering the zeolite composition greatly affects the sequence of binary mixsture  $\text{CH}_4$ —CO elution. In the above mentioned sequence they are eluted on samples containing Mg, Ca, Sr and Cd. The inverse sequence of elution of these components is observed on the initial (potassium) form of erionite and on the sample containing barium.

#### ლიტერატუՐა — REFERENCES

1. Ваггег В. М. Berichte der Bunsengesellschaft, Bd. 69, № 9/10, 788 (1965).
  2. Сендеров Э. Э., Хитаров Н. И. Цеолиты, их синтез и условия образования в природе. Изд. «Наука», М., 1970, 67.
  3. Breck D. W., Asaga N. A. Pat U. S. N 2950952. 30/VIII 1960.
  4. Eberly P. E., Jr. Amer. Mineralogist, v. 49, № 2—2, 30 (1964).
  5. Николина В. Я., Кныш Л. И., Соколова Н. А. Изв. АН БССР, Сер. хим. наук, I, 65 (1966).
  6. Andronikashvili T. G., Tsitsishvili G. V., Sabelashvili Sh. D. J. Chromatog. 58, 47 (1971).
  7. Tsitsishvili G. V., Andronikashvili T. G. J. Chromatog. 58, 39 (1971).
-

УДК 541.18:532.584:622.24

Г. М. ЧИХЛАДЗЕ, М. Е. ШИШНИАШВИЛИ

## НОВЫЙ СТАБИЛИЗАТОР ДЛЯ СОЛЕУСТОЙЧИВЫХ БУРОВЫХ СУСПЕНЗИЙ АСКАНГЕЛЯ

Изыскание реагентов-стабилизаторов промывочных жидкостей, устойчивости к воздействию солей, поступающих в раствор при разбуривании солевых отложений и с пластовыми водами, является одной из основных проблем современной химии буровых растворов [1—4].

Исследовано влияние полученного нами нового стабилизатора — хелата железа из продуктов деструкции торфа (ХТ) на физико-химические и структурно-механические свойства местных грубодисперсных [5] и бентонитовых глин Грузии [6].

В настоящей статье излагаются результаты исследований структурной вязкости и физико-химических свойств супензий бентонитовых глин, стабилизированных новым стабилизатором при добавлении солей  $\text{NaCl}$  и  $\text{CaCl}_2$ .

7 %-ные водные супензии бентонита — естественного аскангеля обрабатывались разными количествами стабилизатора в виде порошка (1 г стабилизатора содержит 0,0476 г железа, рН=8,8).

Супензии готовились растиранием глин в ступке по методу Цуринова-Квирикашвили [7], оставлялись на 24 часа, после чего изучались физико-химические свойства и структурная вязкость. Полученные данные приведены в таблице 1.

Таблица 1  
Влияние стабилизатора ХТ на свойства супензии естественного аскангеля

ХТ, г от твердой фазы		рН	Стабильность, г/см <sup>3</sup>	Вязкость, сек	Водоотдача, за 30 мин., мл	Корка, мм	Отстой, %
%	по железу, %						
—	—	8,7	0,04	16,25	26,5	1	2
1	0,034	8,5	0,03	17,5	21,6	1	2
2	0,0676	8,5	0,028	17,5	21,5	1	1,5
5	0,169	8,3	0,024	17,5	19,3	1	1,5
10	0,338	7,8	0,015	17,5	19,0	1,5	1
15	0,507	7,5	0,015	17,5	19,0	1,5	1
20	0,676	7,7	0,007	18,5	16,8	1,5	1

Как видно из приведенных данных, введение нового стабилизатора способствует улучшению свойств супензии естественного аскангеля. С увеличением концентрации стабилизатора улучшается стабиль-

ность системы, уменьшается скорость фильтрации (рис. 1), а вязкость почти не изменяется.

Для выявления солеустойчивости суспензий, стабилизованных ХТ, они подвергались действию солей —  $\text{NaCl}$  и  $\text{CaCl}_2$ . Из данных, при-

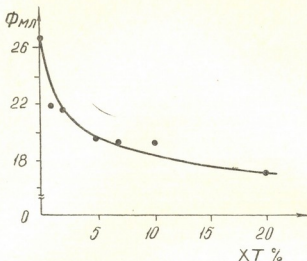


Рис. 1. Изменение скорости фильтрации (мл) суспензии естественного аскангеля в зависимости от концентрации ХТ, %

веденных в таблицах 2 и 3, следует, что стабилизированные суспензии характеризуются высокой солеустойчивостью даже при добавлении больших концентраций  $\text{NaCl}$  (20%) и  $\text{CaCl}_2$  (1—2%), а не стабилизированные суспензии теряют рабочие свойства либо коагулируют под действием малых концентраций электролитов.

Таблица 2

Влияние  $\text{NaCl}$  на свойства суспензии естественного аскангеля, стабилизированного ХТ (на 7% суспензии добавлено ХТ по железу 0,058 г—20% от твердой фазы)

NaCl, %	Вязкость, сек	Водоотдача за 30 мин, мл	Корка, мм	Отстой, %
5	20	40,8	5	4,5
10	—	Коагуляция за 30 мин.	—	
20	—	за 15 мин.	—	
—	18,5	16,8	1,5	1
5	17,5	20	2	1
10	17,5	20,4	2	1
20	17,5	20,4	1,5	1,5

По-видимому, стабилизатор ХТ, адсорбируясь на поверхности частиц суспензии естественного аскангеля, создает прочную хемосорбционную структуру, изменяющую свойства частиц и предохраняющую их от воздействия электролитов.



Для сравнения стабилизирующей способности нового стабилизатора с известным солеустойчивым стабилизатором — карбоксиметилцеллюлозой (КМЦ), было изучено действие солей  $\text{NaCl}$  и  $\text{CaCl}_2$  на

Таблица 3

Влияние  $\text{CaCl}_2$  на свойства суспензии естественного аскангеля, стабилизированного ХТ (на 7% суспензии добавлено ХТ по железу 0,058 г—20% от твердой фазы)

$\text{CaCl}_2$ , %	Вязкость, сек	Водоотдача за 30 мин., мл	Корка, мм	Отстой, %
—	16,25	26,5	1	2
2	—	Коагуляция за 15 мин	—	—
—	18,5	16,8	1,5	1,5
1	17,5	18	1,5	2
1,5	17,5	17	2	2
2	17,5	13,2	2	2

свойства суспензии естественного аскангеля, стабилизированного КМЦ. Так как предварительно было установлено, что обработка суспензии малыми количествами КМЦ не дает желаемого эффекта, пришлось обработать суспензии КМЦ с концентрацией 5% и выше по отношению к

Таблица 4

Влияние  $\text{NaCl}$  и  $\text{CaCl}_2$  на свойства суспензий естественного аскангеля, стабилизированных КМЦ

КМЦ, % от твердой фазы	$\text{NaCl}$ , %	$\text{CaCl}_2$ , %	pH	Стабильность, г/см <sup>3</sup>	Вязкость, сек	Водоотдача за 30 мин., мл	Корка, мм	Отстой, %
5	20	—	8,7	0,35	100	Коагуляция	—	—
5	—	2	8,55	0,017	200	8,4	1	0
10	—	—	8,8	0	85	7,2	0,5	0
10	10	—	8,3	0	142,5	2	0,3	0
10	20	—	8,4	0	120	2,5	0,1	0
10	—	2	8,2	0	200	5	0,3	0

твердой фазе. Полученные данные приведены в таблице 4, из которой видно, что суспензии, обработанные карбоксиметилцеллюлозой, как и суспензии, стабилизированные новым стабилизатором ХТ, проявляют высокую солеустойчивость. Исключение составляют суспензии, обработанные 5% КМЦ, которые теряют стабильность при добавлении 20%  $\text{NaCl}$  и в кратчайшее время коагулируют. Однако обработка суспензии КМЦ увеличивает структурную вязкость дисперсных систем, которая возрастает и под действием солей.

Таким образом, на основании проведенных исследований можно заключить, что новый стабилизатор ХТ характеризуется высокой ус-



стойчивостью против действия солей коагуляторов  $\text{NaCl}$  и  $\text{CaCl}_2$ , и, следовательно, то, что для приготовления стабилизатора используется дешевое и широкодоступное сырье — торф, можно полагать, что применение его для приготовления высококачественных, солеустойчивых буровых суспензий даст определенный экономический эффект.

Институт физической и органической химии им. П. Г. Меликшвили АН ГССР

Поступило 15.VII.1976

8. ჩიხლაძე, მ. შიშნიაშვილი

ახალი სტაბილუზატორი ასკანგელის საბურღი სუსპენზიების მარილებადაღობისათვის

რეზიუმე

მოწოდებულია მარილმდგრადი საბურღი სუსპენზიების მისაღებად ახალი რეაგენტის სტაბილიზატორი XT (რეზიუმე სელატი ტროფის დესტრუქციის პროცესში გამოყენების მიზანისათვის).

შესწავლილია მისი გავლენა ბუნებრივი ასკანგელის წყალ-სუსპენზიების კოლოიდ-ქიმიურ და სტრუქტურულ თვისებებშე.

ნაჩენებია, რომ სტაბილიზატორი აუმჯობესებს ბუნებრივი ასკანგელის სუსპენზიების თვისებებს. მისი მოქმედების შედეგად სისტემის მდგრადობა იზრდება, ფილტრაციის სიჩქარე მცირდება, სიბლანტი კი არ იცვლება, რაც ახალი სტაბილიზატორის დადგით თვისებებშე მეტყველებს.

მარილმდგრადი საბურღი სუსპენზიების მიღების მიზნით შესწავლილია XT-თი სტაბილიზებულ სუსპენზიებზე აგრესიული მარილების  $\text{NaCl}$ -ისა და  $\text{CaCl}_2$ -ის მოქმედება.

ნაჩენებია, რომ სტაბილიზებული სუსპენზიები ხასიათდებიან მაღალი მდგრადობით ონიშული ელექტროლიტების საკმაოდ დიდი კონცენტრაციების მოქმედებისას ( $\text{NaCl} - 10 - 20\%$ ,  $\text{CaCl}_2 - 1 - 2\%$ ).

შედარებისათვის შესწავლილი ცნობილი მარილმდგრადი სტაბილიზატორი KMЦ-თი (კრბოქსიმეთილუროლზა) დამუშავებულ სუსპენზიების თვისებებზე  $\text{NaCl}$ -ისა და  $\text{CaCl}_2$ -ის მოქმედება.

ნაჩენებია, რომ სტაბილიზატორი KMЦ, ანიჭებს რა სუსპენზიებს მდგრადობას ელექტროლიტების მიმართ, იწვევს მათი სტრუქტურული სიბლანტის მკვეთრ ზრდას.

დადგენილია, რომ სტაბილიზატორი XT, ისე, როგორც KMЦ, აუმჯობესებს საბურღი სუსპენზიების თვისებებს, ანიჭებს მათ მაღალ მდგრადობას ელექტროლიტების ( $\text{NaCl}$ -ისა და  $\text{CaCl}_2$ -ის) სსნარის მიმართ, მაგრამ განსხვავებით KMЦ-საგან სტაბილიზატორს XT ის უპირატესობა აქვს, რომ მისი შეშვეობით სტაბილიზებულ სუსპენზიებზე მაღალი კონცენტრაციის ელექტროლიტების მოქმედების შემთხვევაშიც კი სუსპენზიების სტრუქტურული სიბლანტე არ იზრდება.

G. M. CHIKHLADZE, M. E. SHISHNIASHVILI

## NEW STABILIZER FOR SALT RESISTANCE BORING SUSPENSIONS OF ASCANGEL

Summary

To get salt resistance boring suspensions a new reagent-stabilizer CT (iron chelate from the product of turf destruction) is proposed.

The effect of the new stabilizer — CT on colloidal-chemical properties of aqueous suspensions of natural ascangel was studied.

It was shown that the stabilizer CT promotes the improvement of properties of natural ascangel suspensions, increases the system stability, decreases filtration rate and almost does not change viscosity, showing positive properties of the new stabilizer.

To establish salt resistance properties of CT the stabilized aqueous suspensions of natural ascangel were acted upon by salts — NaCl and CaCl<sub>2</sub>.

It was shown that stabilized suspensions show salt resistance with respect to electrolytes, added in a rather high concentration (NaCl 10—20%, CaCl<sub>2</sub> 1—2%).

The influence of electrolytes — NaCl and CaCl<sub>2</sub> on the properties of the aqueous solution of natural ascangel, stabilized by a known salt resistance stabilizer—CMC (carboxymethyl cellulose) was also studied. CMC makes suspension salt resistance against electrolytes, but sharply increases their viscosity.

It was established that the proposed stabilizer CT, as well as CMC, increases the quality of boring suspensions, makes them highly salt resistance against electrolytes NaCl and CaCl<sub>2</sub>, but in difference from CMC does not cause viscosity increase.

#### ЛІТЕРАТУРА — REFERENCES

1. Овчаренко Ф. Д., Круглицкий Н. Н., Ничипоренко Ф. П., Агабальянц Э. Г., Третиник В. Ю., Булатов А. И. Термосолеустойчивые промывочные жидкости на основе палигорскита. Изд. «Недра», М., 1970.
2. I-ая Украинская научно-техническая конференция по термо- и солеустойчивым промывочным жидкостям и тампонажным растворам. Тезисы. К., 1968.
3. Термосолеустойчивость дисперсных систем. Материалы II Украинской научно-технической конференции. Изд. «Наукова думка», К., 1971.
4. Мискарели А. К. Доклады АН Азерб. ССР, т. VIII, 4 (1952).
5. Чихладзе Г. М., Кобахидзе Е. И. Новые модификации аскангеля для применения в народном хозяйстве. Изд. «Мецниреба», Тб., 1975.
6. Чихладзе Г. М., Кобахидзе Е. И. Сообщения АН ГССР, 85, 1 (1977).
7. Квирикашвили В. Л., Цурилов А. И. Сб. Новое о глинах, Гостехиздат 1940.

## ТЕХНОЛОГИЯ

УДК 622.775,669.743

П. Н. ДЖАПАРИДЗЕ, Л. А. ДРАКИН, Л. А. ДАНЕЛИЯ

### ОБОГАЩЕНИЕ ОКИСНЫХ И СМЕШАННЫХ МАРГАНЦЕВЫХ РУД И ШЛАМОВ ЧИАТУРСКОГО МЕСТОРОЖДЕНИЯ

Для извлечения марганца из бедных марганцевых руд и шламов предложено много различных способов. Некоторые из этих способов получили промышленное применение и могут конкурировать с выплавкой ферромарганца обычным способом из руд высокого качества [1].

Химические методы обогащения марганцевых руд применяются уже давно, однако промышленного распространения они еще не получили. Наиболее известными процессами химической обработки марганцевых руд являются: обработка двуокисью серы, серной кислотой, сульфатом аммония или азотной кислотой. При осуществлении этих процессов в большинстве случаев требуется производить весьма трудную операцию высокотемпературного восстановительного обжига руды.

Проведенные нами исследования показали, что операция высокотемпературного восстановительного обжига руды может быть исключена из технологического процесса, если выщелачивание марганца осуществлять в присутствии отработанного сульфитного щелока целлюлозного производства или барды, остающейся после переработки этого щелока на спирт или кормовые дрожжи [2].

Сульфитный щелок получается при взаимодействии древесины с раствором бисульфита кальция (или другого металла), насыщенного сернистым газом. В результате такого взаимодействия при определенных условиях происходит делегнификация древесины, и все ее основные компоненты, кроме целлюлозы, переходят в раствор. Последний и представляет собой отработанный сульфитный щелок.

Основным компонентом сульфитного щелока является лигносульфоновая кислота. Кроме лигносульфоновой кислоты в щелоке содержатся сахара, органические кислоты, альдегиды и другие органические вещества. Свежий отработанный щелок наряду с органическими веществами содержит свободную сернистую кислоту. Ион кальция или другого металла в сульфитном щелоке находится в растворе как продукт диссоциации высокомолекулярной лигносульфоновой кислоты.

Сульфитная барда получается путем нейтрализации щелока и сбраживания содержащихся в нем сахаров, на спирт или переработки их на кормовые дрожжи. После отделения спирта или кормовых дрожжей остается сульфитная барда. В табл. 1 приведен химический состав отработанного сульфитного щелока и барды Ингурского целлюлозно-бумажного завода, которые использовались при выщелачивании марганца.

Исследования проводились на бедной руде Чиатурского месторождения и флотационном шламе, получаемом при обогащении чиатурских руд. Химический состав руды и шлама приведен в табл. 2.

Выщелачивание проводилось в лабораторных условиях в плоскодонной колбе емкостью 250 мл, снабженной мешалкой. Условия выщелачивания и полученные результаты приведены в табл. 3.



Присутствие сульфитного щелока или барды при выщелачивании высших окислов марганца разбавленными растворами минеральных кислот (серной или азотной) обусловливает, очевидно, захват ими окислов марганца как акцепторных агентов по кислороду. Это позволяет минеральным кислотам вступать во взаимодействие с окислами марганца, связанными с органическим комплексом и переводить их в раствор, оставляя кислород с легко окисляемой частью сульфитного щелока. Хорошо, например, известно, что сульфитный щелок легко подвергается анодному окислению с образованием ряда соединений [3].

Таблица 1  
Химический состав отработанного сульфитного щелока и барды

Наименование щелока	Удельный вес	Сухие вещества, %	Зола, %	Сера, %	Состав сухой части, %			
					Органические вещества	Зола	Сера	Основания
Сульфитный щелок	1,04	8,00	1,36	1,44	83,00	17,0	17,5	6,90
Барда	1,04	9,34	1,31	—	86,00	14,0	—	—

В растворении высших окислов марганца известную роль может играть и свободная  $\text{SO}_2$ , однако, при открытом и длительном хранении щелока она переходит обычно в ион  $\text{SO}_4^{2-}$  и выпадает в осадок с ионом кальция.

Таблица 2  
Химический состав марганцевой руды и шлама

Наименование руды	Химический состав, %								
	$\text{SiO}_2$	$\text{Al}_2\text{O}_3$	$\text{Fe}_2\text{O}_3$	$\text{CaO}$	$\text{MgO}$	$\text{P}_2\text{O}_5$	$\text{SO}_3$	$\text{MnO}_2$	Mn
Руда № 2	40,1	4,64	3,66	2,67	1,22	0,66	0,42	22,0	25,3
Шлам флотационный	52,2	6,30	4,48	2,58	1,05	0,43	0,83	11,7	12,3

Взаимодействие двуокиси марганца, связанной с кальциевой солью лигносульфоновой кислоты, может быть представлено в следующем виде:



Присутствие в сульфитном щелоке сахара также способствует взаимодействию высших окислов марганца с разбавленными растворами минеральных кислот. Однако барда, в которой сахар практически отсутствует, так же как и сульфитный щелок приводит к растворению высших окислов марганца в разбавленных растворах минеральных кислот.

Таким образом, теоретические основы рассматриваемого процесса пока что нельзя считать полностью выясненными и, по-видимому, в этом направлении потребуется проведение систематических исследований.

Результаты же экспериментальных исследований, приведенные в табл. 3, показывают, что при выщелачивании бедных окисльных и смешанных марганцевых руд и шламов Чистурского месторождения разбавленными растворами серной и азотной кислот в присутствии отработанного сульфитного щелока или барды, без применения предва-

Таблица 3

Условия и результаты выщелачивания марганца серной и азотной кислотами в присутствии отработанного сульфитного щелока и барата

Наименование руды или шлама	Количество и характеристика материалов, взятых для выщелачивания					Условия выщелачивания		Количество марганца, перешедшего в раствор	
	Руда		Кислота			Сульфитный щелок—с щ или барда—б из	Температура, °C	Продолжительность, час	г
	Навеска, г	Количество марганца в навеске, г	Концентрация, г/л	Объем, мл	бара—б из				
<b>Серная кислота</b>									
Руда № 2	20	5,06	477,3	30,1	с.щ 20	83	6	4,41	87,15
Руда № 2	20	5,06	477,3	30,1	б 20	83	6	4,29	84,78
Шлам флотационный	40	4,92	204,9	88,3	с.щ 20	83	6	4,31	87,60
Шлам флотационный	40	4,92	204,9	88,3	б 20	83	6	4,30	87,40
<b>Азотная кислота</b>									
Руда № 2	20	5,06	580,9	31,0	с.щ 20	80	6	4,42	87,35
Руда № 2	20	5,06	580,9	31,0	б 20	80	6	4,37	86,36
Шлам флотационный	40	4,92	264,0	87,0	с.щ 20	80	6	4,77	96,95
Шлам флотационный	40	4,92	264,0	87,0	б 20	80	6	4,78	97,15

рительного высокотемпературного восстановительного обжига руды в раствор переходит 85—97% марганца.

Для получения малоfosфористого концентрата растворы сульфата и нитрата марганца предварительно нейтрализовались известью или аммиаком до pH 4,5, а затем после фильтрации упаривались и подвергались термическому разложению. Сульфат марганца разлагался при температуре 850—950°C, а нитрат марганца — при 200—250°C.

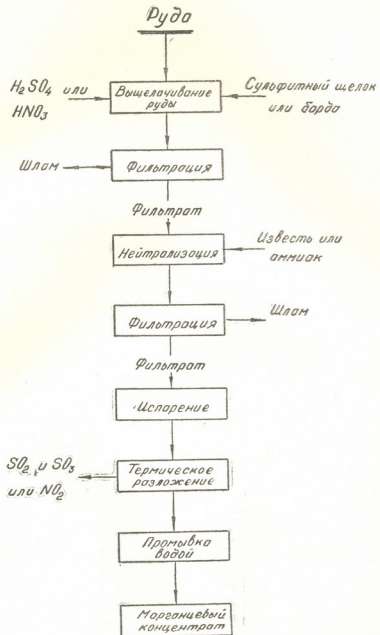


Рис. 1. Схема обогащения

Наличие в растворах сульфата и нитрата марганца органических веществ, вводимых с отработанным сульфитным щелоком или бардой

при выщелачивании, позволяет сократить расход тепла на их разложение.

В результате термического разложения сульфата и нитрата марганца был получен малоfosфористый концентрат с содержанием 59—48% марганца и соответственно  $\text{SO}_2$ ,  $\text{SO}_3$  и  $\text{NO}_2$ , которые могут быть снова использованы в технологическом процессе. Состав полученных концентратов приведен в табл. 4.

#### Химический состав концентратов

Таблица 4

Наименование концентратов	Химический состав, %			
	Mn	Si	P	Отношение P:Mn
Концентрат, полученный из руды № 2 выщелачиванием серной кислотой	59,07	0,13	0,03	меньше 0,0045
Концентрат, полученный из флотационного шлама выщелачиванием серной кислотой	56,10	0,08	0,03	меньше 0,0045
Концентрат, полученный из руды № 2 выщелачиванием азотной кислотой	51,45	0,12	0,03	меньше 0,0045
Концентрат, полученный из флотационного шлама выщелачиванием азотной кислотой	47,67	0,15	0,03	меньше 0,0045

При выщелачивании руды или шлама серной кислотой малофосфористый концентрат может быть получен и без нейтрализации раствора сульфата, если полученный концентрат подвергнуть промыванию разбавленным раствором серной кислоты. Раствор сульфата марганца может быть использован непосредственно для получения металлического марганца методом электролиза. Однако в этом случае раствор сульфата марганца должен быть подвергнут предварительной очистке от органических примесей.

На основании проведенных исследований предложена схема обогащения окисных и смешанных марганцевых руд и шламов Чнатурского месторождения, представленная на рис. 1.

## Институт неорганической химии и электрохимии АН ГССР

Поступило 26.V.1976

卷之三

ବୀରମାନଙ୍କ ଶବ୍ଦରେ ଏହା ପାଇଁ ଆଜିର କାହାର କାହାର କାହାର କାହାର କାହାର କାହାର କାହାର କାହାର କାହାର

၁၂၈

ჭიათურის ღარიბი უანგეული და შერეული მანგანუმის მანდებილან და შელატებილან გოგირდმევას ან აზორმევას განსავებული ხსნარებით მანგანუ-  
მის გამორტვისას (სულფიტური თუქქის ან თხლის თანაობისას, წინასწარი  
ალფაგნითი გომოწვის გარეშე) ხსნარში გადადის 85—97% Mn. ხსნარის განე-  
რირალების (pH 4,5-მდე), ფილტრატის შემდგომი აორთქლებისა და მანგანუ-  
მის გამოსავავისას გარეშე გადადის 85—97% Mn. ხსნარის განე-  
რირალების (pH 4,5-მდე), ფილტრატის შემდგომი აორთქლებისა და მანგანუ-  
მის გამოსავავისას გარეშე გადადის 85—97% Mn. ხსნარის განე-  
რირალების (pH 4,5-მდე), ფილტრატის შემდგომი აორთქლებისა და მანგანუ-



მის სულფატის ან ნიტრატის თერმული დაშლის გზით მიღება შემდეგი შემცირებული კონცენტრატი: 47,67—59,07% Mn; 0,03% Si და 0,03% P.

მაღალის ან შლამის გოგირდმექავით გმირუტებისას მცირევისფორიანი კონცენტრატი შეიძლება მიღიღოთ სულფატური ხსნარის ნეიტრალიზაციის გარეშეც, კონცენტრატის შემდგომი გარეცხვით გაწავებული გოგირდმექავას ხსნარით.

ჩატარებული კვლევებისა და მიღებული შედეგების საფუძველზე შოცუმულია ჭიათურის მანგანუმის საბადოს უანგეული და შერეული მაღნებისა და შლამების გამდიდრების სქემა.

P. N. JAPARIDZE, L. A. DRAKIN, L. A. DANELIA

## CONCENTRATION OF OXIDE AND MIXED MANGANESE ORES AND SLAGS OF CHIATURI DEPOSIT

### Summary

At manganese leaching from poor oxide and mixed ores and slags of Chiaturi deposit by diluted solutions of sulphuric or nitric acids in the presence of used sulphite-cellulose liquor or grains without the preliminary reducing roasting 85—97% of manganese pass into the solution. By neutralization of the solution to pH 4,5 with the following filtrate concentration by evaporation and thermal decomposition of manganese sulphate or nitrate little phosphorous concentrate can be obtained with the content of manganese 47,67—59,07, silicon 0,15—0,08 and phosphorus 0,03%.

At leaching of the ore or slag with sulphuric acid little phosphorous concentrate can be obtained without sulphate solution neutralization as well, with the following washing of the concentrate with diluted solution of sulphuric acid.

Scheme of concentration of oxide and mixed manganese ores and slags of Chiaturi deposit was suggested on the basis of the studies and obtained results.

### ЛІТЕРАТУРА — REFERENCES

- Салли А. Марганец, М., Металлургиздат, 1959, стр. 88.
- Джапаридзе П. Н., Дракин Л. А., Данелия Л. А. Способ выщелачивания марганца. Авт. ср. свидетельство, Кл. С 22а 47/00 № 389730.
- Джапаридзе П. Н., Дракин Л. А. Электрохимическое разложение отработанного щелока сульфит-целлюлозного производства и его комплексное использование. Сообщения АН ГССР, т. XI, № 9, 547 (1959).



УДК 665.71:613.2

Э. П. ГВЕНЦАДЗЕ, П. П. БУСЕЛ

## К ИССЛЕДОВАНИЮ НЕФТЕЙ МЕСТОРОЖДЕНИЙ ГРУЗИИ

За последние годы в Грузинской ССР значительно возросла добыча нефти, открыты новые месторождения в восточных районах республики. Следствием этого появилась необходимость детального изучения потенциальных возможностей нефтей Грузии, а также товарных нефтепродуктов, получаемых из них.

На Батумском нефтеперерабатывающем заводе (НПЗ) проведены исследования физико-химических и товарных свойств некоторых продуктов, полученных из нефтей месторождений Сацхениси, Норио, Мирзаани и Таребани.

Пробы вышеперечисленных нефтей были отобраны на промыслах из сборных резервуаров 10 и 11 августа 1976 года и доставлены в центральную заводскую лабораторию (ЦЗЛ) Батумского НПЗ.

Исследование нефтей месторождений Грузии проводилось по следующим этапам:

1. Физико-химическое исследование нефтей методами, предусмотренными ГОСТ или методиками Научно-исследовательского института нефтяной промышленности (ВНИИ НП) [1].

По методикам ВНИИ НП определялось содержание парафина, силикагелевых смол и асфальтенов.

Так как геологические, промысловые и другие организации обычно руководствуются данными, полученными при разгонке нефтей по ГОСТ 2177—66, в работе приведены результаты исследований по этому методу [2].

Перегонка нефтей с целью:

- получения и характеристики нефтепродуктов и их компонентов (бензинов, керосинов, реактивных и дизельных топлив, мазутов);
- получения данных для построения кривых разгонок и свойств отдельных фракций.

Перегонку нефтей производили согласно ГОСТ 11011—64 на аппарате АРН-2, имеющем колонку с погоноразделяющей способностью, эквивалентной 20 теоретическим тарелкам при полном возврате орошения.

Исследовано установлено, что нефти грузинских месторождений Сацхениси, Норио, Мирзаани, Таребани по содержанию светлых дистиллятов делятся на две группы.

К первой группе относятся легкие нефти с низкой плотностью (0,826—0,838) и высоким содержанием светлых дистиллятов, выкипающих до 350°C (—81,0%). Это нефть месторождения Сацхениси.

Ко второй группе относятся тяжелые нефти месторождений Норио, Мирзаани, Таребани с плотностью 0,8660—0,900 и содержанием светлых дистиллятов, выкипающих до 350°C (40,9—53,9%).

Таблица 1

Физико-химическая характеристика грузинских нефей

Месторождение нефти	$d_4^{15}$	$V_{corr}^{20}$	50 сст	Температу- ра, °C		Составление пар- фины, %	Содержание, %			Кислотность, %	Зольность, %	Выход фракции, вес. %			
				Бензин в элп. тиге	Застывание		сера	смол и сернисто- никотиновых	смол син- тетических	асфальте- на					
Сацхенис	0,8380	7,3	3,0	-16	-80	0,5	0,20	8	6,88	0,15	0,00	0,008	0,45	51,4	81,45
Норю	0,9001	19,0	7,4	15	-50	0,82	0,23	24	8,58	1,22	3,93	0,032	1,60	17,74	53,65
Мирзаани	0,8767	20,6	8,3	—	-11	2,91	0,26	36	10,68	4,13	4,78	0,010	0,68	20,81	45,24
Таребани	0,8668	44,30	9,2	—	+ 8	8,28	0,38	34	8,67	5,16	3,95	0,014	0,28	15,04	46,27



Физико-химическая характеристика нефтей приведена в таблицах 1 и 2 и на рис. 1, из которых следует, что все грузинские нефти мало-сернистые (содержание серы 0,20—0,42%), высокосмолистые (содержание силикагелевых смол 6,10—14,4%). По содержанию парафина делятся на две группы:

Разгонка нефтей по ГОСТ 2177—66

Таблица 2

Месторождение нефти	Н. К. °С	Отгоняется (в %) до температуры, °С									
		100	120	150	160	180	200	220	240	260	300
Сацхениси	62	6	20	33	37	46	50	57	61	64	68
Норио	118			6	12	18	22	56	31	35	42
Мирзаани	96	0,5	5	12	14	17	21	25	29	34	36
Тарифани	124			6	8	12	18	22	26	30	38
											42

- а) малопарафинистые, с содержанием парафина 0,5—3,1% (нефти Сацхенисская, Норийская, Мирзаанская);  
 б) высокопарафинистые, с содержанием парафина 8,2% (нефть Тарифанская).

По содержанию асфальтенов делятся на две группы: а) с низким содержанием асфальтенов (0,15—0,44%) — нефть Сацхенисская, б) с высоким содержанием асфальтенов (1,22—5,16) — нефти Норийская, Мирзаанская, Тарифанская.

#### II. Физико-химическое исследование нефтепродуктов.

Физико-химические характеристики светлых дистиллятов, выкипающих до 350°C, и остатка приведены в таблицах 3—6.

По результатам исследования светлых дистиллятов, выкипающих до 350°C, и остатка установлено следующее.

Характеристика бензиновых дистиллятов

Таблица 3

Месторождение нефти	d <sub>20</sub>	Фракционный состав, °С						Октановое число	Содержание серы, %	Выход на нефть, % (вес.)
		НК	10%	50%	90%	КК	ОВ			
Сацхениси	0,7290	55	75	105	136	155	98	65,7	0,0083	25,0
Норио	0,7215	83	92	103	119	126	98	69,2	0,011	3,64
Мирзаани	0,7263	70	87	104	123	136	98	57,0	0,007	7,76
Тарифани	0,7339	93	100	109	126	146	98	55,4	0,023	3,37

Нефть Сацхенинского месторождения содержит наибольшее количество светлых дистиллятов, выкипающих до 350°C — 81,45%, в том числе: бензина — 25,0%, б) легкого керосина — 31,28%, в) дизельного дистиллята — 25,17%.

Бензин по всем показателям соответствует нормам бензина прямой перегонки с высоким октановым числом (65,7).



Характеристика легких керосиновых фракций

Месторождение нефти	$d_{40}$	Фракционный состав, °C						Кислотность мг КОН на 100 мл. тойлина	$V_{20}^{20}$ сст	Испытания отбора в закрыт. тигле, °C	Т. начала кристаллизации, °C	Содержание серы		Высота плавк- шего плавления	Термическая стабильность % 100 мл тойлина	Выход из нефти, %
		НК	10 %	50 %	90 %	98 %						общее, %	меркаптанов			
Сацхениси	0,8070	142	148	168	218	232	2,17	1,31	34	-62	0,023	0,0008	25	2,20	31,28	
Норио	0,8035	150	157	178	212	225	3,53	1,435	37	-73	0,010	0,00012	24	3,6	20,00	
Мирзаани	0,7852	150	159	177	207	230	4,84	1,311	34	-64	0,015	0,00012	28	5,2	16,35	
Тарифаны	0,7768	150	158	173	196	213	1,23	1,284	35	-62	0,013	0,0002	28	3,6	13,77	

Таблица 5

Характеристика дизельных дистиллятов

Месторождение нефти	Т-ра отбора °C	Дизельный индекс	Фракционный состав				$d_4$ 20	$v_{20}^{20}$ сст	Температура °C			Кислотность в мг КОН на 100 мл тойлина	Содержание се- ры, %	Выход из нефти, %
			10%	50%	90%	98%			засты- вление	помут- нение	аспо- шков			
Сацхениси	230—350		267	278	310	328	0,858	7,21	-25	-15	117	20,02	0,101	25,17
Норио	230—350	34,07	256	280	322	340	0,8903	7,21	-36	-30	78	125,6	0,10	29,41
Мирзаани	230—260	57,06	250	280	316	331	0,8409	5,38	-21	-11	106	50,35	0,04	24,38
Тарифаны	230—350	67,93	253	275	312	327	0,8238	4,41	-12	-6	110	4,71	0,27	29,13



Легкий керосин удовлетворяет требованиям к топливу ТС-1, имея низкую термическую стабильность (2,2 мг на 100 мл топлива) против нормы не более 10 мг на 100 мл топлива.

Дизельный дистиллят с плотностью при 20°C — 0,8580 против нормы не более — 0,845 г/см<sup>3</sup>; вязкость кинематическая при 20°C, в ост — 7,21 против нормы не более 6,0 сст, имеет низкую температуру застывания ( $-25^{\circ}\text{C}$ ) и температуру помутнения ( $-15^{\circ}\text{C}$ ), против нормы соответственно не выше  $-10$  и  $-5^{\circ}\text{C}$ .

Таблица 6

Характеристика остатка (мазута) после отгона от нефти светлых дистиллятов

Месторождение нефти	$d_4^{20}$	ВУ <sub>80</sub>	Температура °C			Содержание серы, %	Выход на нефть, вес. %
			вспышка, определяемая в открытом тигле	вспышка, определяемая в закрытом тигле	застывания		
Сацхениси	0,9548	5,19	206	192	+16	0,29	17,55
Норио	0,9791	15,10	218	206	+ 5	0,28	45,95
Мирзаани	0,936	9,21	212	200	+27	0,45	50,51
Тарбани	0,9216	7,36	200	186	+30	0,51	52,73

Остаток (мазут) имеет низкую температуру застывания ( $+16^{\circ}\text{C}$ ), что характеризует его как хороший компонент для выработки товарного топочного мазута марок «40» и «20».

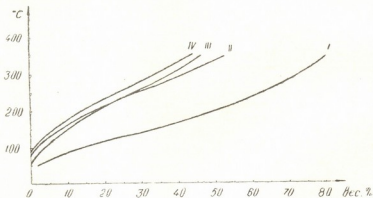


Рис. 1. Кривые разгонки нефтей. I — Сацхениси, II — Норио, III — Мирзаани, IV — Тарбани

Нефть месторождения Норио содержит 53,0% светлых дистиллятов, выкипающих до 350°C, в том числе: а) бензина — 3,6%, б) легкого керосина — 20,0%, в) дизельного дистиллята — 29,4%.

Бензин по 10%-ной точке — 92°C, против нормы не выше 75°C — не соответствует требованиям стандартов, однако имеет высокое октановое число (69,2).

Легкий керосин удовлетворяет требованиям норм на топливо ТС-1; имеет очень низкое содержание общей серы — 0,01%, меркаптановой

серы — 0,00012, температуру начала кристаллизации — 73°C, против нормы не выше — 60°C.

Дизельный дистиллят имеет высокую плотность 0,890 (при 20°C), против нормы не выше 0,845 г/см<sup>3</sup>; кинематическая вязкость при 20°C в сст — 7,21 против нормы не выше — 6,0%, температура застывания — 36,0°C; температура помутнения — 30°C, что позволяет вводить его в более легкие дизельные дистилляты для снижения температуры застывания и температуры помутнения.

Остаток (мазут) имеет низкую температуру застывания (+5°C) и низкое содержание серы (0,28%), может быть использован в качестве сырья для выработки топочного мазута марок «40» и «20».

Нефть месторождения Мирзаани содержит 40,9—45,0% светлых дистиллятов, выкипающих до 350°C.

Бензин (в пределах 5,0—7,7%) не соответствует требованию стандарта по 10%-ной точке 87°C, против нормы не выше 75°C; при этом октановое число находится в пределах 57,6—63.

Легкий керосин (12,6—16,2%) удовлетворяет требованиям ТУ 38001162—73.

Нефть месторождения Тарифани содержит 46,27% светлых дистиллятов, выкипающих до 350°C, в том числе: а) бензин — 3,37%, б) легкий керосин — 13,77%, в) дизельный дистиллят — 29,13%.

Бензин в нефти содержится в небольшом количестве, и в то же время 10%-ная точка 100°C против требования стандарта не выше 75°C.

Легкий керосин удовлетворяет требованиям стандарта на топливо ТС-1.

Дизельный дистиллят соответствует требованиям ТУ 38001162-73, за исключением содержания серы (0,27% против нормы не выше — 0,15—0,20%) [3].

III. С целью проверки возможности получения дорожных битумов из грузинской нефтесмеси был проведен опытно-промышленный пробег на установке № 41 Батумского НПЗ.

Физико-химические свойства смеси исследуемых нефтей Грузии и полученного из нее гудрона приведены в таблицах 7 и 8.

Начальная температура окисления поддерживалась около 230°C, расход воздуха — 1188 м<sup>3</sup>/час. Через час после начала окисления отобранная проба по качеству соответствовала дорожному битуму марки БН-III ГОСТ 1544—52.

При достижении температуры в окислительном кубе, равной 245°C, расход воздуха увеличен до 1729 м<sup>3</sup>/час. Через 4 часа после начала окисления отобранная проба соответствовала по качеству битуму дорожному вязкому, улучшенной марки БНД 40/60 со знаком качества.

Окисление продолжалось для получения строительных марок битума. После девяти часов с начала окисления при температуре 258°C и расходе воздуха 1729 м<sup>3</sup>/час отобранная проба не соответствовала марке БН-IV по показателю проникновения иглы при 25°C (18 против нормы 21—40). Окисление продолжалось для получения битума строительного марки БН-V. Температура окисления 254—264°C, расход воздуха был снижен с 1729 м<sup>3</sup>/час до 1405 м<sup>3</sup>/час. Через 15 часов с начала окисления отобранная проба соответствовала битуму строительно-му марки БН-V (ГОСТ 6617—56).

Далее окисление продолжалось для получения битума нефтяного специального для заливочных аккумуляторных мастик, который был получен через 18 часов с начала окисления при 264°C и расходе воздуха 1296 м<sup>3</sup>/час. Отобранная проба по всем показателям качества

Таблица 7  
Физико-химические свойства смеси нефтей Грузии

Наименование показателей	Фактические данные
Плотность при 20 °С, г/см³	0,8280
Фракционный состав:	
Температура начала перегонки, °С	70
До температуры 100 °С перегоняется, %	8
" 120 °C "	11
" 150 °C "	22
" 160 °C "	26
" 180 °C "	32
" 200 °C "	34
" 220 °C "	36
" 240 °C "	38
" 260 °C "	42
" 280 °C "	44
" 300 °C "	56
Содержание серы, % вес.	0,20
Химический состав:	
а) содержание асфальтенов, %	0,46
б) содержание силикагелевых смол, %	6,50
в) содержание парафинов, %	4,90

соответствовала битуму специальному ТУ 38101462—75 (см. таблицу 9) [4, 5].

В результате исследований установлено, что грузинские нефти межсторождений Сацхениси, Норио, Мирзаани, Таребани могут быть использованы в качестве сырья для выработки следующих продуктов:

Таблица 8

Физико-химические свойства гудрона, полученного из смеси грузинских нефтей

Наименование показателей	Фактические данные
Температура размягчения по кольцу и шару, °С	44
Температура вспышки, определяемая в открытом тигле, °С	326
Фракционный состав (по Богданову):	
Температура начала перегонки, °С	320
До температуры 350 °С перегоняется, %	1
" 375 °C "	2
" 400 °C "	2,5
" 425 °C "	4
" 450 °C "	6
" 475 °C "	8
" 500 °C "	10,5
Химический состав:	
а) содержание асфальтенов, %	4,27
б) содержание силикагелевых смол, %	53,81
в) содержание масел, %	29,24
г) содержание парафинов, %	12,68



Таблица 9

ЭМПРОССИ

## Результаты исследования битумов

Наименование показателей	Количество исходного сырья-гудрона от грузинской нефти	Показатели качества полученных битумов				
		битумы дорожные		битумы строительные		Спецбитум для запасочных аккумуляторных масел ТУ 38101462-75.
		БН-III ГОСТ 1544-52	БНД 40-60 ГОСТ 5.1721-72	БН-IV ГОСТ 6617-72	БН-V ГОСТ 6617-56	
Глубина проникания иглы при 25°C	—	53	41	18	13	12
Глубина проникания иглы при 0°C	—	—	13	—	—	—
Растяжимость при 25°C в см	—	100	100	3,2	2	1,0
Температура размягчения, °C	44	48	52	71	91	105,5
Растворимость в бензоле (в %)	—	99	—	99	99	99
Потери в весе при 160 °C за 5 ч (в %)	—	0,7	—	0,18	0,18	0,20
Глубина проникания иглы в остаток после определения потери в весе (в % от первоначальной величины)	—	88	—	91	81	—
Температура вспышки °C	326	320	320	322	318	318
Содержание водорастворимых кислот и щелочей	—	отс.	отс.	—	—	—
Содержание воды на месте производства	—	отс.	—	отс.	отс.	отс.
Температура хрупкости (в °C)	—	—	—15	—	—	—
Испытание на сцепление с цианиром	—	—	полное покрытие	—	—	—
Увеличение температуры размягчения прогрева в слое 4 мм при 160 °C в течение 5 ч (в °C)	—	—	2,0	—	—	—
Содержание водорастворимых соединений	—	0,2	0,2	0,19	0,22	0,2 +4,2
Индекс проницаемости	—	—	—	—	—	—



1. Бензинового дистиллята, удовлетворяющего требованиям: а) товарного бензина прямой перегонки, экспортного, б) компонента автомобильных автомобильных бензинов, в) сырья для каталитического риформинга.

2. Товарного реактивного топлива марки ТС-1.

3. Дизельного топлива ДЛЭ-58.

4. Топочного мазута марок «40» и «20».

В связи с высоким содержанием смолистых веществ и асфальтенов смесь нефти Грузии является приемлемым сырьем для получения нефтьбитума улучшенного, дорожного марок БНД 130/200, БНД 40/60, марки БН-У и специального битума для заливочных аккумуляторных масел по ГОСТ 11954—66, что подтверждено опытным пробегом на установке 41 БНЗ.

Результаты исследований опровергают выводы, сделанные в [6], авторы которой не рекомендуют грузинскую нефть для получения нефтьбитумов.

Батумский нефтеперерабатывающий завод

О. ГВЕНЦАДЗЕ, З. БУСЕЛ

САКАРАНОВАНИЕ НА ЗАПОВАДНЫХ ГАЗОВЫХ СТАНОВ

#### Н Е Ч И С Т І Й

Шესწავლითа საცხენისის, ნორიოს, მირზაანისა და ტარიბანის ნავთობების ფიზიკურ-ქიმიური მახასიათებლები და მათგან მიღებული სხვადასხვა პროდუქტებს თვისებები, კვლევისათვეს მისათვის მოწოდებული მეთოდები. მიღებული კვლევის შონაცემების განვითარებით დაღვენილია, რომ აღნიშნული ნავთობები, მცირე გოგირდოვან ნავთობებს მიეკუთვნებიან და მსუბუქი ფრაქციების შემცველობით ორ გვუფად იყოფიან: მსუბუქი (საცხენისის) და შედარებით მძიმე ნავთობები (ნორიო, მირზაანი, ტარიბანი).

მათგან მიღებულ ნავთბროდუქტების შესწავლით ნაჩვენებია, რომ საცხენისისა და ნორიოს ბენზინები უფრო ხარისხიანია მირზაანისაზე, მაგრამ სადლეისოლ მოთხოვნილების შესაბამისად ყველას მათ გაკეთილშობილება ესაჭიროებათ. აღნიშნული ნავთობების ერთსინის ფრაქციები აქმაყოფილებენ რეაქტორულ საწვევზე ასებებულ მოთხოვნილებას, ხოლო დიზელის ფრაქციები გამოხდის ზღვრების შერჩევას მოითხოვენ. ნაჩენი მაზუთიღან შეიძლება სხვადასხვა დანიშნულების საქვაბე საწვევის მიღება. ნაჩენი გუდრინების შესწავლით დადგენილია მათგან სხვადასხვა მარკის საგზაო ბითუმების მიღების შესაძლებლობა.

E. F. GVENTSADZE, P. P. BUSEL

#### STUDIES OF OILS OF GEORGIAN FIELDS

##### Summary

Physico-chemical properties of oils from Satskhenisi, Norio, Mirzaani and Taribani oils were studied as well commercial properties of oil products obtained from them.



According to the results obtained, Georgian oils are characterized by a small content of sulphur compounds and they are divided, according to the contents of light fraction, into two groups: light oils (Satskhenisi) and relatively heavy ones (Norio, Mirzaani, Taribani).

All these oils in a mixture are good for production of: 1. petrol distillate satisfying the requirements for commercial petrol of straight-run distillation, component of commercial motor petrols, raw material for catalytic reforming. 2. Commercial jet fuel. 3. Diesel oil. 4. Fuel mazut. 5. Road bitumens for special purposes.

#### ლ050608765 — ЛИТЕРАТУРА — REFERENCES

1. ГОСТ 11011—64. Нефтепродукты. Методы испытаний, часть I. Изд. Комитета стандартов, мер и измерительных приборов при Совете Министров СССР, М., 1967.
2. Методика определения потенциального содержания светлых дистиллятов, в нефтях (временная) М., 1976.
3. Методы испытания нефти и нефтепродуктов. Министерство нефтяной и нефтеперерабатывающей промышленности СССР, Всесоюзный научно-исследовательский институт по нефтепереработке, М., Гостоптехиздат, 1976.
4. Советские нефти. Справочник «Химия», М., 1967.
5. Рыбак Б. М. Анализ нефти и нефтепродуктов. Гостоптехиздат, 1962.
6. Терешина И. В., Дриацкая З. В. Химия и технология топлив и масел, I, 12 (1977).

УДК 621.315.592.3

М. Г. ქეკუა, С. Р. БАХЧИЕВА, Ф. Н. ТАВАДЗЕ

## О СВОИСТВАХ ЛЕГИРОВАННОГО АЛЮМИНИЕМ СПЛАВА КРЕМНИЙ-ГЕРМАНИЙ

В литературе имеется ряд работ по исследованию сплавов кремний-германий р-типа, легированных примесями элементов III группы: бором [1—3], галлием [4]. О сплавах кремний-германий, легированных алюминием, сведения отсутствуют.

В настоящей работе представлены результаты исследования микроструктуры, концентрации носителей тока, электропроводности и подвижности сплавов кремний-германий с содержанием кремния 80 ат.%, легированных алюминием в пределах 0,15—29,5 ат.%.\*

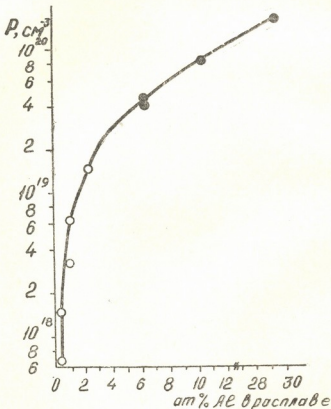


Рис. 1. Зависимость концентрации дырок от содержания алюминия в исходном расплаве  
○ — однофазные образцы ● — двухфазные образцы

\* Содержание алюминия дано по исходному расплаву.



Экспериментальные образцы, полученные методом вытягивания большого объема расплава [5] в среде гелия под давлением 1,5 атмосфер, имели крупнокристаллическую структуру. Содержание кремния в образцах контролировалось химическим анализом и рентгеновским мицранализатором фирмы «КАМЕКА».

Образцы исследовались без дальнейшей термической обработки, поэтому полученные данные следует отнести к температуре, близкой к температуре кристаллизации сплава взятого состава.

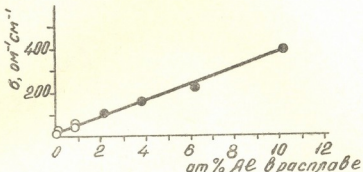


Рис. 2. Зависимость электропроводности от содержания алюминия в исходном расплаве  
 ○ — однофазные образцы ● — двухфазные образцы

Концентрация дырок определялась из измерений эффекта Холла. Измерения эффекта Холла и электропроводности проводились обычным компенсационным методом.

На рис. 1 представлена зависимость изменения концентрации дырок от содержания алюминия.

Как видно из приведенного графика, концентрация дырок растет с увеличением присадки алюминия в исходный сплав.

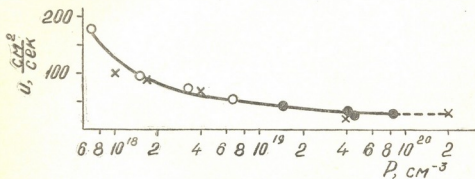


Рис. 3. Концентрационная зависимость подвижности дырок сплавов кремний-германий, легированных алюминием  
 бором — ×

Следует отметить, что значительный рост концентрации дырок наблюдается до содержания алюминия  $\sim 2$  ат %. При этой же концентрации в экспериментальных образцах выявлены следы второй фазы. Несмотря на это, с дальнейшим увеличением присадки алюминия концентрация дырок в образцах сплава продолжает увеличиваться, но с мень-



шей скоростью, чем до выделения новой фазы. При этом максимальная концентрация дырок достигает  $10^{20}$  см $^{-3}$ .

Изменение электропроводности в зависимости от содержания алюминия представлено на рис. 2. Важно отметить, что данные для двухфазных образцов не отклоняются от общей закономерности изменения электропроводности.



Рис. 4. Микроструктура легированного алюминием сплава кремний—германий  
а) характерное распределение новой фазы,  $\times 70$  б) структура новой фазы,  $\times 1000$

Результаты исследования холловской подвижности в зависимости от концентрации дырок приведены на рис. 3. Для сравнения здесь же приведена подвижность сплава кремний—германий, легированного бо-



ром [2]. Как видно из приведенного графика, экспериментальные данные как для одно-, так и двухфазных образцов, а также для легированных бором [2], хорошо укладываются на общую кривую.

Следовательно, подвижность легированных алюминиями образцов подчиняется общей закономерности концентрационного изменения для исследованных сплавов системы кремний-германий р-типа.

Известно, что начало выделения второй фазы из твердого раствора означает достижение предела растворимости легирующего элемента в растворителе.

Следовательно, с дальнейшим увеличением легирующей присадки электрические свойства больше не должны изменяться. Однако, как показывают приведенные экспериментальные данные, в двухфазных образцах сплава по мере увеличения присадки алюминия растет как концентрация дырок, так и электропроводность.

Наблюдаемое изменение концентрации дырок и электропроводности можно было бы объяснить присутствием включений металлической фазы [6].

Однако оценка приращения электропроводности, полученная согласно работе [6], показывает, что расчетное увеличение электропроводности намного меньше экспериментально наблюдаемого.

Микроструктурным анализом установлено, что обнаруженная фаза эвтитического характера (рис. 4) и, по данным локального рентгеноспектрального анализа, содержит на основе алюминия 8 вес% германия. Заметим, что объем выделенной фазы проявляет концентрационную зависимость — увеличивается с увеличением присадки алюминия.

Так как источником атомов германия, входящих во вторую фазу, может являться только матрица сплава, возможно, что повышение концентрации носителей тока в сплаве после выделения второй фазы в какой-то мере обусловлено замещением освободившихся узлов решетки матрицы избыточными атомами алюминия.

Институт metallurgии им. 50-летия  
СССР АН ГССР

Поступило 28.VI.1976

Б. АБДУЛ, Б. АБДУЛОВА, Ч. ТАРАЗОВ

Академик А. Абдуллаев. Научно-исследовательский институт по проблемам физики и технологии сплавов

Б. АБДУЛЛАЕВ

Задача состояла в том, чтобы определить концентрацию германия в сплавах на основе алюминия, содержащих германий в количестве 8% (важно, чтобы германий находился в виде эвтитической фазы). Для этого были выбраны сплавы с различной концентрацией германия (от 0 до 10%), а также сплавы с различной концентрацией алюминия (от 0 до 10%).

Методом термического анализа было установлено, что сплавы с концентрацией германия выше 8% становятся двухфазными. Для определения концентрации германия в сплавах с концентрацией германия выше 8% было использовано метод термического анализа. Для определения концентрации германия в сплавах с концентрацией германия ниже 8% было использовано метод термического анализа.

Для определения концентрации германия в сплавах с концентрацией германия выше 8% было использовано метод термического анализа. Для определения концентрации германия в сплавах с концентрацией германия ниже 8% было использовано метод термического анализа.



გამოთქმულია ვარაუდი, რომ ორფაზიანი შენაღნობის კრისტალებში ასაკული  
ნის მატარებელთა დამატებითი კონცენტრაციის ერთ-ერთი წყარო შესძლებე  
ლია იყოს ვარბი ალუმინის ატომების ის ნაწილი, რომელიც ჩეცნაცვლება შე-  
ნაღნობის გისოსს ახალ ფაზაში გადასულ გვრმანიუმის ატომების მავიერ.

M. G. KEKUA, S. R. BAKHCHEVA, F. N. TAVADZE

## ON SOME PROPERTIES OF THE ALLOY SILICON-GERMANIUM DOPED WITH ALUMINIUM

### Summary

Microstructure, concentration of current carriers, electric conductivity and Hall mobility of doped with aluminium (in the wide range of concentrations) silicon-germanium alloy with the content of silicon 80 at% were studied. Samples (large crystalline ones) were drawn from a large volume of the melt.

As a result of studies it was established that a new phase in the alloy crystal appears at the content of ~2 at% aluminium in the initial melt. With the further increase of aluminium addition the volume of the new phase is increased and the concentration of the current carriers and the specific electric conductivity of the alloy continue to grow. The new phase has an eutectic character and has (weight) 8% of germanium on the aluminium base.

An assumption is made that one of the sources of the additional current carriers in two-phase alloys are aluminium atoms substituting germanium atoms in the alloy lattice, the latter passed into the second phase.

### ლიტერატურა — REFERENCES

1. Абрекосов Н. Х., Земсков В. С., Иорданишвили Е. К., Петров А. В., Рождественская В. В. ФТП, 2, вып. 12, 1762 (1958).
2. Голикова О. А., Иорданишвили Е. К., Петров А. В. ФТП, 8, в. 2, 500 (1965).
3. J. P. Dismukes, L. Ekstrom, E. F. Steigmeier, L. I. Kudman, Beers D. S., J. Appl. Phys. 35, 2899 (1964).
4. Кекуа М. Г., Тавадзе Ф. Н., Кобахидзе Л. Л. Сообщения АН ГССР, 58, 2, 32 (1970).
5. Leverton W. F., J. Appl. Phys., 8, 1241 (1958).
6. Воронков В. В., Воронкова Г. И., Иглицишвили М. И. ФТП, 4, в. 12, 2263, (1970).

УДК 577.17.049:664.8

УДК 547.587.52

Н. А. УГУЛАВА, А. Н. НИЖАРАДЗЕ, И. Ф. ГРИБОВСКАЯ

**СОДЕРЖАНИЕ МИКРОЭЛЕМЕНТОВ И НЕКОТОРЫХ  
 БИОЛОГИЧЕСКИ АКТИВНЫХ ВЕЩЕСТВ В ЯГОДАХ ЧЕРНИКИ  
 И В НАТУРАЛЬНОМ СОКЕ**

Черника (*Vaccinium myrtillus L.*) — небольшой многолетний кустарник из семейства вересковых растет в темнохвойных еловых лесах. В горных районах Кавказа встречается разновидность обыкновенной черники — черника кавказская (*Vaccinium arctostaphylos*). Черника распространена почти во всех районах Грузии, особенно много ее в западных районах: в Аджарии, Имеретии, Сванетии, в Рача-Лечхумской зоне [1, 2]. Однако, несмотря на полезные свойства этой ягоды, литературные данные о ней весьма отрывочны и посвящены, главным образом, фенольным соединениям и витаминам [3, 4].

Таблица 1

Содержание некоторых полифенолов, аскорбиновой кислоты и сухих веществ в ягодах черники и черничном натуральном соке (Западная Грузия)

Место сбора проб	Сухие вещества, %	Витамин С, мг/100 г	Катехины, мг/100 г	Антоцианы, мг/100 г
Ягоды черники				
Батуми	10,45	50	140	не определяли
Батуми	11,24	65	168	
Батуми	10,20	55	154	
Кутаиси	12,06	64	148	
Черничный натуральный сок				
Батуми	9,93	25	115	108
Батуми	10,63	30	147	107
Батуми	9,84	44	135	100
Кутаиси	11,87	28	106	104

Нами исследованы ягоды и натуральный сок раннеспелой мелкоплодной черники обыкновенной, собранной в районах городов Батуми и Кутаиси. Анализу подвергались представительные пробы из 5—6 мест сбора. Сухие вещества, растворимые в воде, определены рефрактометрическим методом [5], витамин С — титрованием с 2,6 дихлорфеноллин-лифенолом [6], антоцианы — методом бумажной хроматографии и фотометрическим методом [7], катехины — методом бумажной хроматографии с ванилиновым реагентом [8] (хроматограмма нисходящая, растворитель бутиловый спирт : уксусная кислота : вода = 4:1:5; разгонка однократная, бумага ленинградская, медленная) и фотометрическим методом с

ванillinовым реагентом в модификации Л. И. Вигорова [9]. Микроэлементы в ягодах и соках определены методом количественного эмиссионно-спектрального анализа [10].

Таблица 2

Содержание микроэлементов в ягодах черники и черничном  
натуральном соке, мг/100 г (Западная Грузия)

Элемент	Ягоды	Сок
Медь	26,9 ± 10,30	22,90 ± 10,8
Никель	29,3 ± 1,530	22,40 ± 2,55
Марганец	1659 ± 436,0	1305 ± 476
Молибден	1,13 ± 0,290	0,880 ± 0,16
Хром	23,1 ± 3,340	14,90 ± 2,10
Барий	172 ± 34,20	108,7 ± 24,5
Ванадий	39,4 ± 1,590	32,60 ± 1,78
Кобальт	1,18 ± 0,086	0,830 ± 0,09
Стронций	79,5 ± 13,20	49,30 ± 11,4
Титан	49,8 ± 10,30	38,70 ± 3,16
Железо	2020 ± 68,00	1201 ± 268

Проведенные исследования (табл. 1) показали, что ягоды черники содержат большое количество аскорбиновой кислоты (50—65 мг/100 г) катехинов (140—168 мг/100 г).

В натуральном соке из ягод черники обнаружено меньшее количество катехинов и пониженное содержание аскорбиновой кислоты, чем в ягодах (табл. 1). Количество антицианов в соке колеблется в пределах 100—108 мг/100 г. Антицианы представлены в виде монозидов цианидина, пеларгонидина, мальвидина,peonидина и петунидина. Катехины представлены в виде эпикатехина и галлокатехина [3, 4].

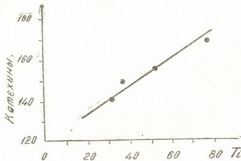


Рис. 1. Корреляция количества катехинов (мг/100 г) в ягодах черники с содержанием в них титана (мкг/100 г)

Ягоды черники и натуральный сок из них богаты не только витаминами и фенольными соединениями, но и являются ценным источником микроэлементов, в частности, кобальта, молибдена, хрома, марганца и железа (табл. 2), недостаток которых в пище приводит к серьезным нарушениям важнейших физиологических функций организма. Особенно богата черника марганцем и железом. При сравнении полученных данных с результатами анализа ягод черники, собранных в Белоруссии [11], было установлено, что ягоды черники из Западной Грузии содержат меньше железа и кобальта, больше никеля и одинаковое или несколько меньшее количество меди.

Если представить содержание микроэлементов в ягодах и в соке исследованной нами черники в ряд по убывающим величинам (табл. 2),

то обнаруживаются некоторые интересные особенности распределения микроэлементов.

В ягодах:  $\text{Fe} > \text{Mn} > \text{Ba} > \text{Sr} > \text{Ti} > \text{V} > \text{Ni} > \text{Cu} > \text{Cr} > \text{Co} > \text{Mo}$ .

В соке:  $\text{Mn} > \text{Fe} > \text{Ba} > \text{Sr} > \text{Ti} > \text{V} > \text{Cu} > \text{Ni} > \text{Cr} > \text{Mo} > \text{Co}$ .

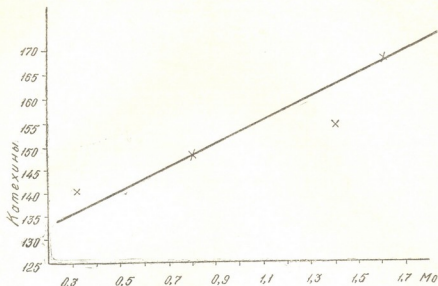


Рис. 2. Корреляция количества катехинов (мг/100 г) в ягодах черники с содержанием в них молибдена (мкг/100 г)

Ранее нами была установлена прямая зависимость между накоплением катехинов в ежевичном соке и содержанием в нем меди, ванадия и титана [12]. В ягодах черники такая зависимость прослеживается для титана в связи с местом произрастания (рис. 1). Наряду с титаном корреляция с катехинами впервые отмечена для молибдена, обладающего в условиях кислой среды высокой подвижностью (рис. 2).

Грузинский научно-исследовательский  
институт пищевой промышленности

Поступило 8.VI.1976

Б. Чачуашвили, А. Гогуашвили, О. Григорашвили

Институт химии Академии наук Грузии  
София, 310000, Грузия

#### Литература

Гамкрелидзе Улла А. Титан в ягодах и соках ягод. Сб. научн. тр. Груз. гос. ун-та. Тбилиси, 1973, № 10, с. 10—13.

Гамкрелидзе Улла А. Титан в ягодах и соках ягод. Сб. научн. тр. Груз. гос. ун-та. Тбилиси, 1973, с. 10—13.

Дадебегян Г. Г. Молибден в ягодах и соках ягод. Сб. научн. тр. Груз. гос. ун-та. Тбилиси, 1973, с. 10—13.

Молибден в ягодах и соках ягод. Сб. научн. тр. Груз. гос. ун-та. Тбилиси, 1973, с. 10—13.

როს, რომელთა ნაკლებობა საკუებ-პროდუქტში იწვევს ორგანიზმის უმნიშვილის ცარისციული განაკვეთის და რეალურების. მოცვე განსაკუთრებით მდიდარია მანგანუმითა და რკინით. დადგინდია პირდაპირი დამოკიდებულება მოცვეში კატექინების შემცველობასა, ტიტანისა და მოლიბდენის რაოდენობათა შორის.

N. A. UGULAVA, A. N. NIZHARADZE, I. F. GRIBOVSKAYA

## ABUNDANCES OF TRACE ELEMENTS AND OF SOME BIOLOGICALLY ACTIVE SUBSTANCES IN BILBERRIES AND IN NATURAL JUICE PREPARED FROM THEM

### Summary

Berries and natural juice of early usual small bilberries (*Vaccinium arcostaphylos*), the former picked in the vicinity of Batumi and Kutaisi towns, were studied. Average samples from 5–6 places of picking were analysed.

Anthocyanins, catechins, vitamin C and trace elements were defined.

It was established that bilberries have a large amount of vitamin C (50–65 mg/100 g) as well as of catechins (140–148 mg/100 g). In the natural juice prepared from bilberries smaller amounts of catechins were found and a decreased content of ascorbic acid. Bilberries and their natural juice are rich not only in vitamins, but they are also important sources of trace elements, in particular, of cobalt, molybdenum, chromium, manganese and iron, a deficiency of these trace elements in food leads to serious disturbances of most important physiological functions of the organism. Bilberries are especially rich in manganese and iron.

The direct dependence between accumulation of catechins and amounts of titanium and molybdenum in bilberries is established.

### ლიტერატურა — REFERENCES

- Гроссгейм А. А., Растительные ресурсы Кавказа, Изд. АН Аз. ССР, Баку (1945).
- Кечховели Н. Н. Растительный покров Грузии, Изд. АН Груз. ССР, Тбилиси (1950).
- Мжаванадзе В. В., Таргамадзе И. Л., Дранник Л. И. Сообщения АН ГССР, 68, 1, 205–207 (1972).
- Мжаванадзе В. В., Таргамадзе И. Л., Дранник Л. И. Сообщения АН ГССР, 66, 2, 449–452 (1972).
- Рекомендация по стандартизации СЭВ. Продукты переработки плодов и овощей. Методы испытания качества, определения сухих веществ. Будапешт, II, (1972).
- Государственная фармакопея. Изд. «Медицина», М., 816 (1968).
- Hillis W. E., Svein T., Sci. Food Agric., v. 10, January, p. 63, (1959).
- Запротиков М. Н. Биохимия катехинов, Изд. «Наука», М., 1964.
- Методика государственного сортоспытания сельскохозяйственных культур. Изд. «Колос», М., вып. 7, 124 (1970).
- Грибовская И. Ф. Агрономия, 12, 112, (1971).
- Фан Юнг, Кузнецова Н. А. Известия высших учебных заведений. Пищевая промышленность, 6, 82 (1973).
- Грибовская И. Ф., Угулава Н. А. Агрономия, 6, 102 (1975).

## КРАТКИЕ СООБЩЕНИЯ

УДК 543—544

Г. В. ЦИЦИШВИЛИ, Т. Г. АНДРОНИКАШВИЛИ, Л. Я. ЛАПЕРАШВИЛИ,  
О. С. БАНАХ

### ОПРЕДЕЛЕНИЕ ОТНОСИТЕЛЬНОЙ ПОЛЯРНОСТИ КАТИОНООБМЕННЫХ ФОРМ ЦЕОЛИТОВ ТИПА У МЕТОДОМ РОРШНАЙДЕРА

Успешные исследования, проводимые в области изучения физико-химических свойств различных форм цеолитов, открывают широкие возможности использования этих сорбентов в практике газовой хроматографии.

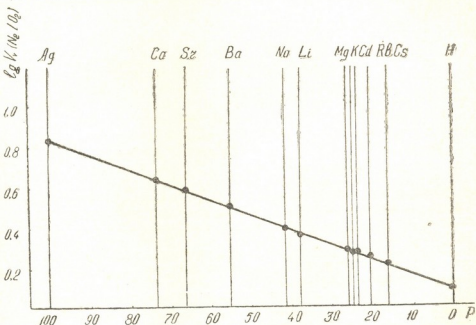


Рис. 1. Графический метод определения полярности ионообменных форм цеолитов

В настоящее время для характеристики неподвижных жидкостей, применяемых в газовой хроматографии, используется метод Роршнайдера, позволяющий определить их относительную полярность по зависи-



сности условной хроматографической полярности ( $P$ ) от логарифма отношения удерживаемых объемов двух веществ с различной тройной структурой молекул ( $\log V_1/V_2$ ), в частности, бутадиена — 1,3 и бутана [1]. Полярность оксидипропионитрила и сквалана условно была принята соответственно за 100 и 0.

Формальный метод Роршайдера был также использован для определения относительной полярности макропористых адсорбентов, применяемых в практике газо-адсорбционной хроматографии [2].

В данной работе на основе изучения хроматографических свойств различных катионообменных форм цеолитов типа Y [3, 4] показана возможность классификации цеолитов по их относительной полярности, определенной по методу, предложенному Роршайдером.

Исследовались хроматографические свойства цеолитов с высоким содержанием катионов щелочных и щелочноземельных металлов (70—100%).

Таблица 1

Удельные удерживаемые объемы ( $V_v$ ) газов и относительная полярность ( $P$ ) ионообменных форм цеолитов

Формы цеолита	Степень замещения $\text{Na}^+$ на обменные катионы в цеолите (%)	Полярность ( $P$ )	Удерживаемые объемы газов ( $V_v$ )	
			$\text{O}_2$	$\text{N}_2$
AgY	100	100	5,4	37,3
CaY	79,0	73	4,5	19,3
SrY	71,0	66	4,9	19,0
BaY	76,0	55	4,0	12,6
NaY	0,00	42	4,0	9,8
LiY	86,3	37	3,8	7,7
MgY	81,0	27	3,1	6,0
KY	98,0	26	5,1	9,6
CdY	80,0	24	2,9	5,1
RbY	82,0	21	5,9	10,2
CsY	73,0	16	5,7	9,1
HY	76,0	0	0,5	0,6

Однако в отличие от Роршайдера [5] вместо логарифма отношения удерживаемых объемов бутадиена к бутану в нашем случае был использован логарифм отношения удерживаемых объемов азота к кислороду.

Это было вызвано тем, что почти для всех типов цеолитов свойственно хроматографическое разделение бинарной смеси, состоящей из вышеуказанных соединений.

Для кислорода и азота специфична различная электронная структура молекул. Молекула азота в отличие от молекулы кислорода характеризуется наличием значительного квадрупольного момента [6].

Относительная полярность серебряной формы цеолита условно была принята за 100, а водородной формы — за 0.

По этой зависимости был построен график и определена условная полярность цеолитов (рис. 1).

Относительная полярность цеолитов была определена также по формуле:

$$P_x = 100 \frac{q_x - q_2}{q_1 - q_2}, \quad (1)$$

где,  $P_x$  — относительная полярность цеолитов,  
 $q_x$  — логарифм отношения объемов удерживания азота и кислорода на испытуемом образце цеолита,  
 $q_1$  — логарифм аналогичного отношения для серебряной формы цеолита,  
 $q_2$  — логарифм аналогичного отношения для водородной формы цеолита.

Исследования проводились на хроматографах ХТ-7 и «Цвет-4» с детектором по измерению теплопроводности. Длина колонки 2 м, диаметр 4 мм, зернение гранул цеолита 0,5—1,0 мм. Перед загрузкой в колонку образцы нагревались при температуре 450° в течение 5—6 часов. После загрузки в колонку цеолиты подвергались активации при температуре 500° в течение 10—12 часов в потоке газа-носителя гелия со скоростью потока 50 мл/мин.

В таблице I приведены значения удельных удерживаемых объемов азота и кислорода для цеолитов с высоким содержанием обменных катионов и значения относительной полярности ( $P$ ) цеолитов при температуре нагрева колонки 40°.

Институт физической и  
органической химии  
им. П. Г. Меликишвили АН ГССР

Поступило 17.1.1977

გ. თბილისი, თ. აღმაშენიშვილი, ლ. ლაპერაშვილი, თ. ბანახი

У მისი კათიონებადაცვლებული ცემოლიტების ფარავანის კონსალტანა როჩენაიდების მითიდი

### რეზუმე

У ტბის სხვადასხვა კათიონებაცვლებული ფორმის ცემოლიტებისათვის როჩენაიდების მეთოდით განსაზღვრულია ცემოლიტების ფარავანის ქრონოგრაფიული პოლარობა. პირველიდ მიღებულია, რომ ვერცხლის ფორმის ცემოლიტის პოლარობა არის 100, ხოლო წყალბადის ფორმის ცემოლიტისა — 0.

პოლარობა გამოვლილა აზოტისა და ჟანგბადის შეკვებითი მოცულების შეფარდების ლოგარითმის მეშვეობით.

G. V. TSITSISHVILI, T. G. ANDRONIKASHVILI, L. YA. LAPERASHVILI,  
O. S. BANAKH

### DETERMINATION OF RELATIVE POLARITY OF CATION EXCHANGE FORMS OF TYPE Y ZEOLITES BY RORSCHNEIDER'S METHOD

#### Summary

Relative chromatographic polarity was calculated for different cation exchange forms of type Y zeolites using Rorschneider's method. The polarity of the silver form of type Y zeolite is conditionally taken as 100, of the hydrogen form as 0.

At calculations the logarithm of the ratio of the retention volumes of nitrogen to oxygen was used.



ლიტერატუՐა — ЛИТЕРАТУРА — REFERENCES

1. Вяжиров Д. А., Шушунова А. Ф. Руководство по газовой хроматографии. М., «Высшая школа», 1975, 112.
  2. Никитин Ю. С. Тезисы докладов. Физико-химическое и препаративное применение хроматографии. Рига, изд. «Знание», 7, 1976.
  3. Andronikashvili T. G., Tsitsishvili G. V., Laperashvili L. Ya. Chromatographia, 8, 223, (1975).
  4. Андроникашвили Т. Г., Банах О. С., Цицишвили Г. В. Изв. АН ГССР, сер. хим., 1, 161 (1975).
  5. Rorschneider L. Z. Analyt. Chem., 170, 256 (1959).
  6. Neddenriep R. I. J. Colloid Interface Sci., 28, 302, (1968).
-

УДК 546.541.49:661.871

Т. К. ДЖАШИASHVILI, Ю. П. СМОЛЬНИКОВ, Г. В. ЦИНЦАДЗЕ,  
Э. И. АБАШИДЗЕ

## КООРДИНАЦИОННЫЕ СОЕДИНЕНИЯ ХЛОРИСТОГО МАРГАНЦА (II) С 4,4'-ДИАМИНОДИФЕНИЛМЕТАНОМ И 3,3',4,4'-ТЕТРААМИНОДИФЕНИЛОКСИДОМ

Комплексные соединения марганца с ароматическими аминами представляют определенный интерес и сравнительно хорошо изучены [1—4]. Однако в литературе практически отсутствуют данные о комплексах марганца с ди- и тетрааминами, в которых два фенильных радикала связаны между собой различными группами. Амины подобного типа используются в качестве исходных продуктов для получения термостойких полимеров [5].

Данная работа посвящена синтезу и изучению некоторых физико-химических свойств хлористых комплексов марганца с 4,4'-диаминодифенилметаном (ДАДМ)\* и 3,3',4,4'-тетрааминодифенилоксидом (ТАДО)\*\*.

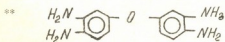
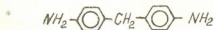
Комплексные соединения получались в результате взаимодействия этанольных растворов  $MnCl_2 \cdot 4H_2O$  и свежеперекристаллизованных лигандов (L). ДАДМ перекристаллизовывался из этанола, а ТАДО — из обескислороженной воды в среде инертного газа.

Процесс комплексообразования изучался при комнатной температуре и при различных соотношениях исходных компонентов  $Mn:L = 1:1, 1:2, 2:1$ . Вышавшие кристаллы комплексов отфильтровывались, промывались этанолом и сушились в вакуум-пистолете.

Согласно данным элементного анализа, вещества, образующиеся при всех взятых соотношениях исходной соли и лиганда, в каждом отдельном случае идентичны и отвечают формулам —  $MnCl_2 \cdot 2\text{ДАДМ} \cdot 2H_2O$  (I),  $MnCl_2 \cdot \text{ТАДО}$  (II) (табл. 1).

Таблица 1  
Данные элементного анализа комплексных соединений

Соединения	Найдено, %					Вычислено, %				
	Mn	Cl	C	H	N	Mn	Cl	C	H	N
$MnCl_2 \cdot 2\text{ДАДМ} \cdot 2H_2O$	9,67	12,20	55,31	5,40	10,29	9,83	12,68	55,87	5,78	10,02
$MnCl_2 \cdot \text{ТАДО}$	15,38	20,56	41,01	4,37	15,19	15,41	19,99	40,47	3,96	15,73





Индивидуальность синтезированных соединений подтверждена кристаллооптическим и рентгенографическим методами.

Кристаллы комплекса I под микроскопом имеют вид крупных рудных пластинок с показателями преломления  $\text{Ng} = 1.730$ ,  $\text{Nr} = 1.606$ ,  $\text{Nm} = 1.694$ , а исходный ДАДМ представляет собой скучки агрегатов с показателями преломления  $\text{Ng} > 1.754$ ,  $\text{Nr} < 1.737$ .

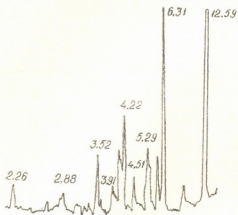


Рис. 1. Дифрактограмма  $\text{MnCl}_2 \cdot 2\text{ДАДМ} \cdot 2\text{H}_2\text{O}$

Комплекс II имеет форму тонких пластинок с показателями преломления  $\text{Ng} = 1.698$ ,  $\text{Nr} = 1.734$ , а исходный ТАДО представляет собой удлиненные палочки с показателями преломления  $\text{Ng} = 1.658$ ,  $\text{Nr} = 1.615$ .

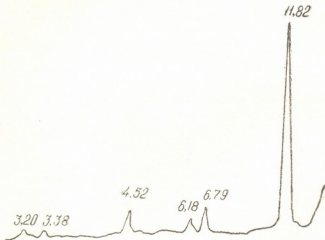


Рис. 2. Дифрактограмма  $\text{MnCl}_2 \cdot \text{TADO}$

Кристаллооптические исследования показали, что синтезированные соединения отличаются от исходных лигандов и соли ( $\text{MnCl}_2 \cdot 4\text{H}_2\text{O}$ — $\text{Ng} = 1.607$ ,  $\text{Nr} = 1.555$ ) как по форме кристаллов, так и по показателям преломления [6].

Сопоставление дифрактограмм исходных компонентов с дифрактограммами изучаемых комплексов позволило сделать вывод о том, что полученные комплексные соединения являются кристаллическими веществами с интенсивными дифракционными максимумами, свободными от наложения со стороны дифракционных максимумов исходных компонентов (рис. 1, 2) [7].



Таким образом, полученные данные позволяют судить об образо-  
вании новых индивидуальных комплексов в изученных нами условиях.

Институт неорганической химии и  
электрохимии АН ГССР  
Грузинский политехнический институт  
им. В. И. Ленина

Поступило 9.V.1976

თ. ვაკებიაშვილი, ი. სმოლიაშვილი, გ. ცინტაძე, ე. აბაშიძე

ასენაციურებულიდეს (II) პოლიამინდიფენილოქსიდთან 4,4'-დიამინოფენილო-  
ვინათან და 3,3', 4,4'-ტეტრაამინოდიფენილოქსიდთან 4,4'-დიამინოფენილო-  
ვინათან და 3,3', 4,4'-ტეტრაამინოდიფენილოქსიდთან

### რეზუმე

შესწავლით  $MnCl_2 \cdot 4H_2O$  ურთიერთქმედების რეაქცია 4,4'-დიამინოფენი-  
ლო-ტენანთან და 3,3', 4,4'-ტეტრაამინოდიფენილოქსიდთან ეთანოლის არეში გა-  
მოსავალი კომპონენტების სხვადასხვა შეფრთვით.

მიღებულია შემდევ შეფენილობის კომპლექსები:  $MnCl_2 \cdot 2\text{ДАДМ} \cdot 2H_2O$ ,  
 $MnCl_2 \cdot \text{TADO}$ . შესწავლით მათი ფიზიკურ-ქიმიური თვისებები.

T. K. JASHIASHVILI, YU. P. SMOL'NIKOV, G. V. TSINTSADZE, E. I. ABASHIDZE

### COORDINATION COMPOUNDS OF MANGANESE CHLORIDE (II) WITH 4,4'-DIAMINODIPHENYLMETHANE AND 3,3', 4,4'-TETRAAMI- NODIPHENYLOXIDE

#### Summary

The reaction of interaction of  $MnCl_2 \cdot 4H_2O$  with 4,4'-diaminodiphenylmethane and 3,3', 4,4'-tetraaminodiphenyloxide was studied in the medium of ethanol at different ratios of the initial components.

The following complexes were isolated:  $MnCl_2 \cdot 2\text{DADM} \cdot 2H_2O$  and  $MnCl_2 \cdot \text{TADO}$ .

Some of their physico-chemical properties were determined.

#### ლიტერატურა — REFERENCES

- Prasad S., Peddy V. J. Indian Chem. Soc., **35**, 10, 722 (1958).
- Ahuja I. S., Brawn D. U., Nuttal R. V., Sharp D. W. A. J. Inorg. Nucleic Chem., **27**, 7, 1625 (1965).
- Пирцхалава Н. И., Харитонов Ю. Н., Брегадзе М. В. ЖХХ, **20**, 1825 (1975).
- Пирцхалава Н. И., Харитонов Ю. Я., Брегадзе М. В. Коорд. химия, **I**, 1573 (1975).
- Изынцев А. А., Тепляков М. М., Сасонова В. Г., Максимова А. Д. Успехи химии, **12**, **36**, 2090 (1967).
- Винчелл А. Н., Винчелл Г. В. Оптические свойства искусственных минералов. М., 1967.
- Миркин Л. И. Справочник по рентгеноструктурному анализу поликристаллов, М., 1967.



საქართველოს ცენტრალური კვლევითი აკადემია  
ИЗВЕСТИЯ АКАДЕМИИ НАУК ГРУЗИНСКОЙ ССР

200000 სახლი

1978, т. 4, № 1

СЕРИЯ ХИМИЧЕСКАЯ

## ХРОНИКА

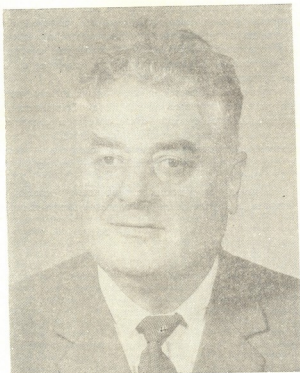
### Х ВСЕСОЮЗНАЯ ШКОЛА ПО ТЕОРЕТИЧЕСКОЙ И НЕОРГАНИЧЕСКОЙ ХИМИИ

С 19 по 30 сентября 1977 г. в г. Батуми состоялась X Всесоюзная школа по теоретической и неорганической химии, организованная Отделением физико-химии и технологии неорганических материалов АН СССР, Секцией строения неорганических соединений Научного совета по неорганической химии АН СССР, Институтом общей и неорганической химии им. Н. С. Курнакова АН СССР, Отделением химии и химической технологии АН ГССР, Институтом неорганической химии и электрохимии АН ГССР, Грузинским политехническим институтом им. В. И. Ленина, Тбилисским государственным университетом, Грузинским республиканским управлением ВХО им. Д. И. Менделеева и Аджарским Домом техники и Советом НТО.

В работе школы приняли участие свыше 120 слушателей из 30 высших учебных заведений и научно-исследовательских институтов 22 городов Советского Союза.

Программа школы была обширной. Зачитаны были лекции по неорганической квантовой химии, ИК- и КР-спектрам неорганических соединений, магнетохимии координационных соединений, радиационно-химическим и электрохимическим методам получения неорганических соединений. Также были рассмотрены новые данные по исследованию координационных соединений методами ядерного и электронного магнитного резонанса. В работу школы впервые были включены лекции по некоторым аспектам бионеогранитической химии, в частности, вопросы бионеогранитической кристаллохимии. Всего было заслушано 23 лекции 13 лекторов, приглашенных из Институтов общей и неорганической химии им. Н. С. Курнакова, Московского физико-технического института, Института новых химических проблем АН СССР, Института неорганической химии и электрохимии АН ГССР, Грузинского политехнического института им. В. И. Ленина и др.

X Всесоюзная школа решила созвать XI Всесоюзную школу по теоретической и неорганической химии в г. Сыктывкаре (Коми АССР) в 1979 году.



#### СВЕТЛОЙ ПАМЯТИ ПРЕЗИДЕНТА АН ГССР, АКАДЕМИКА И. Н. ВЕКУА

Советская наука понесла тяжелую утрату. 2 декабря 1977 года после продолжительной болезни ушел от нас один из выдающихся ученых нашего времени — президент Академии наук Грузинской ССР, академик АН СССР Илья Несторович Векуа.

Депутат Верховного Совета СССР, член ЦК КП Грузии, член Президиума Академии наук СССР, Герой Социалистического Труда, лауреат Ленинской и Государственной премий Илья Несторович Векуа всю свою сознательную жизнь, большой талант и искрящуюся энергию отдал служению отечественной науке и высшему образованию.

И. Н. Векуа родился 23 апреля 1907 года в селе Шешелети Грузинской ССР в семье крестьянина. После окончания Тбилисского государственного университета первые научные исследования проведены им на физико-математическом факультете этого университета. За годы своей плодотворной деятельности И. Н. Векуа создал ряд новых научных направлений по теории уравнений в частных производных, геометрии и теории упругости. Мировой славой пользуются его исследования по аналитической теории, сингулярным интегральным уравнениям и обобщенным аналитическим функциям.



Свою кипучую научную деятельность И. Н. Векуа творчески совмещал с большой педагогической и организаторской работой. Он вел курс лекций в таких крупных <sup>вузах</sup> ~~вузах~~ <sup>и научных институтах</sup> странах как Тбилисский государственный университет, Московский государственный университет, Московский физико-технический институт, Новосибирский государственный университет. Крупный вклад внес И. Н. Векуа в создание Сибирского отделения АН СССР и Новосибирского государственного университета. За период своей плодотворной научно-педагогической деятельности И. Н. Векуа возглавил два таких крупных высших учебных заведения, как Новосибирский и Тбилисский государственные университеты.

В 1972 г. И. Н. Векуа был избран Президентом АН Грузинской ССР, где под его научно-организационным руководством осуществлялся широкий фронт исследований и активное участие науки в развитии промышленности и сельского хозяйства республики. В своей повседневной деятельности все институты, входящие в систему АН ГССР, постоянно чувствовали дружескую заботу и внимание со стороны руководителя Академии, ее президента академика И. Н. Векуа.

Коммунистическая партия и Советское правительство высоко оценили заслуги И. Н. Векуа. Он был удостоен высокого звания Героя Социалистического Труда, награжден пятью орденами Ленина, орденом «Знак почета» и медалями.

Замечательные душевые качества, беззатетная преданность делу, завидное трудолюбие и целеустремленность, сердечность и простота общения — вот далеко не полный перечень всех тех свойств, которыми так щедро был одарен президент АН ГССР академик И. Н. Векуа.

Светлая память о выдающемся ученом современности, большом организаторе науки, верном сыне Партии и народа Илье Несторовиче Векуа навечно сохранится в наших сердцах.

ବ୍ୟାକିଳା ପାତା

1. კურნალუ კა საცაროთელოს სსრ მცირებათა ავადგენის შპრინტ, ჭიმისის სერია ბიჭვე-ბრინჯის ლური წერილია, რისლებმა სასულა ესპერიმენტული და ზორისული კრეატიუ- ლური სამართლებრივი ქიმიკისა და ტექნიკური მიმიათა მიმიათა ულებესის შესეფერით და წერილია, ღვერდილ სახელმწიფო კრეატიული დაგაუმინით.

2. წერილის მოცულობა ქართლებით, ნახატებით (სამი სახატი უზოდღება ერთ გვერდს), ნახატების ქვემთ წარადგინებული დღისწესებულება ლისტის გვერდზე დანართული დანართული და ტელერაიაზ ას უნდა აღვეთ ატრაქტორულს ასამისობრულ საბეჭდ შპრენაზე იმართოს მდგრადი დაბეჭდით 12 გვერდს, 3-5 ს სიგანის მინიმუმით შარტენით კადური.

3. მუკურა სრილია მიკურა და იმურა ტერიტორიას წარსეთ არ უნდა დაცემულოვან სამუქად მიმდევარ დაცემულ 4 გამზღვა. წერილობა ილურტრინგშების ყოს 1—2 ხასტრით. შეს თან აუდი გარეონის სროლი რეზისით.

ର୍ହେନ୍‌ଦୁଇମ୍ବେଦି, ନେଗଲ୍‌ଲିସ୍‌ଟ ଓ ପ୍ରାଚୀତ୍ତବ୍ଲ ଏନାହେ, ଲୋର୍ରେନ୍‌କ୍ରିଷ୍ଟିନ୍‌ସ, ବ୍ରେସିଂ, ଡାସାତାର୍କ୍ରେପ୍‌ଶ୍ଲି

ცხრილები და ნაბატების კვემო წარწერების სრულდება ცალკე ფურცლებზე.

ଦେଶବିଲ୍ଲେରୁ ମନ୍ତ୍ରୀଙ୍କୁ ରୁଦ୍ଧିତି ଥିଲା । ସ୍ଵର୍ଗାତ୍ମକ ପାରିନ୍ଦ୍ରିୟରେ ଉଚ୍ଛବିତ ଦ୍ୱାରା ବ୍ୟାପକ ପରିବର୍ତ୍ତନ ହେଲା । ଶ୍ରୀରାମଙ୍କିଳ ଶ୍ରୀରାମଙ୍କିଳ ପରିବର୍ତ୍ତନ କୁର୍ଯ୍ୟରେ ଏକ ଅନ୍ତର୍ମଳେ ଶ୍ରୀରାମଙ୍କିଳ ଦ୍ୱାରା ଉପରେ ଗ୍ରହଣ ଅନ୍ତର୍ମଳେ ଉପରେ ହେଲା । ଶ୍ରୀରାମଙ୍କିଳ ପରିବର୍ତ୍ତନ କୁର୍ଯ୍ୟରେ ଏକ ଅନ୍ତର୍ମଳେ ଶ୍ରୀରାମଙ୍କିଳ ଦ୍ୱାରା ଉପରେ ଗ୍ରହଣ ଅନ୍ତର୍ମଳେ ଉପରେ ହେଲା ।

## К СВЕДЕНИЮ АВТОРОВ

1. В журнале «Известия АН Грузинской ССР, серия химическая» публикуются оригинальные статьи и краткие сообщения, содержащие результаты исследований теоретического и экспериментального характера по основным направлениям современной химии и технологии, а также обзорные статьи, написанные по заданию редакционной коллегии.

Периодически публикуется краткая хроника о конференциях, совещаниях, семинарах и других научно-организационных мероприятиях, проводимых в республике.

2. Объем статьи, включая таблицы, рисунки (3 рисунка приравниваются к одной странице), подписи к рисункам, список использованной литературы, резюме на грузинском и английском языках и реферат, не должен превышать 12 страниц машинописного текста, отпечатанного через два интервала. С левой стороны оставляются поля шириной 3—5 см.

3. Объем кратких сообщений не должен превышать 4 страницы машинописного текста (включая список использованной литературы и краткое резюме). Сообщения могут быть иллюстрированы 1—2 рисунками.

Резюме на английском и грузинском языках, список использованной литературы, таблицы и подписи к рисункам исполняются на отдельных листах.

4. Статьи (краткие сообщения) представляются в двух экземплярах с направлением учреждения, решением Ученого совета (кафедры, отдела лаборатории) об их публикации, с заключением экспертизы комиссии и авторскими справками.

В начале статьи (слева вверху) пишется индекс УДК, справа вверху указывается раздел журнала, в котором должна быть опубликована статья, затем следуют инициалы и фамилии авторов, заглавие и текст статьи. В конце текста с левой стороны указывается полное название учреждения, в котором выполнена работа. Статья должна быть подписана всеми авторами с указанием на отдельном листе их адресов и телефонов.

5. Изложению экспериментального материала должно предшествовать краткое введение, излагающее цель работы. Далее должно быть приведено описание и обсуждение полученных результатов и краткое заключение. Таблицы, приведенные в тексте статьи, следует озаглавливать.

6. Формулы и буквенные обозначения должны быть писаны четко и аккуратно от руки чернилами или тушью. Особое внимание следует обратить на тщательное изображение индексов и показателей степеней. Во избежание ошибок следует делать ясное различие между прописными и строчными буквами латинского алфавита: заглавные буквы подчеркнуть снизу двумя черточками, а строчные — сверху; греческие буквы обвести красным карандашом.

7. Рисунки должны быть исполнены на белой бумаге или на кальке тушью, с минимальным количеством обозначений. В тексте следует обязательно указать место для рисунков, вынося номер рисунка на поля. На обороте каждого рисунка карандашом должны быть написаны фамилии авторов, заглавие статьи, к которой относится рисунок. Рисунки и таблицы должны быть представлены в двух экземплярах (в надписанном конверте).

8. Цитируемая литература приводится на отдельной странице в конце статьи. Все ссылки даются в оригинальной транскрипции. Иностранные фамилии в статье даются в транскрипции основного текста.

Цитируемая литература приводится в следующем порядке:

а) для журнальных статей: фамилии и инициалы всех авторов, название журнала, том (подчеркнуть номер выпуска), страница, год (в скобках).

б) для книг: фамилии и инициалы авторов, точное название книги, место издания, издательство, год, том (подчеркнуть) и страница.

Ссылки на неопубликованные работы (кроме диссертаций) не допускаются.

Использованная литература должна быть расположена не в алфавитном порядке, а в последовательности цитирования.

9. К статье должен был приложен реферат в двух экземплярах, составленный по форме ВИНИТИ.

10. Рукописи, не отвечающие настоящим правилам, редакцией не принимаются.

11. В журнале статьи публикуются в порядке поступления в редакцию. В случае возвращения автору статьи для доработки текста датой представления считается день получения редакцией окончательного текста. В одном номере журнала может быть опубликована лишь одна статья автора.

12. Редакция посыпает автору одну корректуру статьи. В авторской корректуре исправлению подлежат только ошибки типографии, никакие дополнения или изменения первоначального текста не допускаются.

Редакция бесплатно выдает авторам 12 отдельных оттисков статьи.



ՀԱՅԱՍՏԱՆԻ  
Ազգային գրադարան

Աւելացում

76203